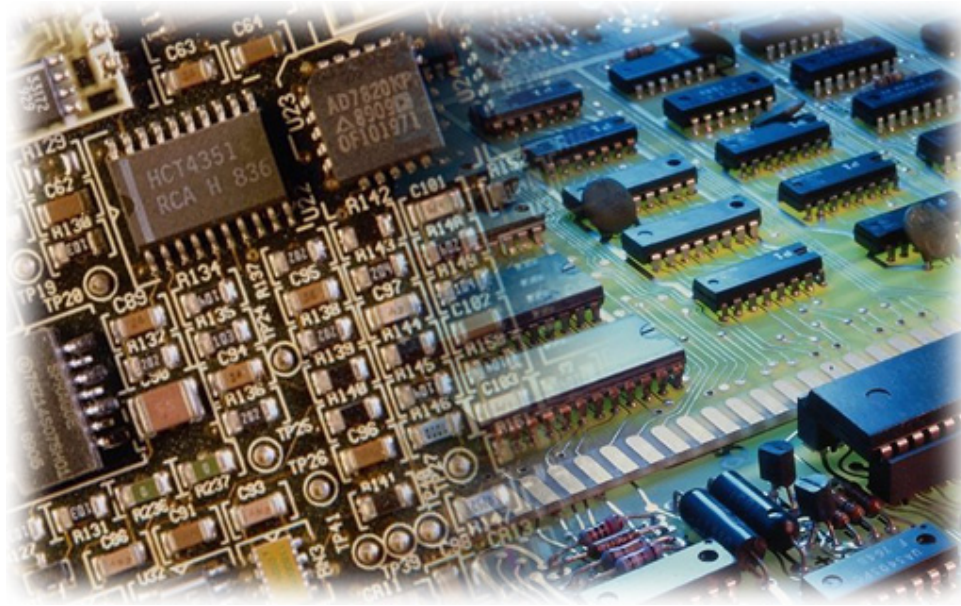




الكترونيات صناعية وتحكم

هندسة كهربائية - ٢

١٤١ إلك



الحمد لله وحده، والصلوة والسلام على من لا نبي بعده، محمد وعلى آله وصحبه، وبعد:

تسعى المؤسسة العامة للتعليم الفني والتدريب المهني لتأهيل الكوادر الوطنية المدربة القادرة على شغل الوظائف التقنية والفنية والمهنية المتوفرة في سوق العمل، ويأتي هذا الاهتمام نتيجة للتوجهات السديدة من لدن قادة هذا الوطن التي تصب في مجملها نحو إيجاد وطن متكامل يعتمد ذاتياً على موارده وعلى قوة شبابه المسلح بالعلم والإيمان من أجل الاستمرار قدماً في دفع عجلة التقدم التنموي، لتصل بعون الله تعالى لمصاف الدول المتقدمة صناعياً.

وقد خططت الإدارة العامة لتصميم وتطوير المناهج خطوة إيجابية تتفق مع التجارب الدولية المتقدمة في بناء البرامج التدريبية، وفق أساليب علمية حديثة تحاكي متطلبات سوق العمل بكافة تخصصاته لتلبى متطلباته ، وقد تمثلت هذه الخطوة في مشروع إعداد المعايير المهنية الوطنية الذي يمثل الركيزة الأساسية في بناء البرامج التدريبية، إذ تعتمد المعايير في بنائها على تشكيل لجان تخصصية تمثل سوق العمل والمؤسسة العامة للتعليم الفني والتدريب المهني بحيث تتوافق الرؤية العلمية مع الواقع العملي الذي تفرضه متطلبات سوق العمل، لخرج هذه اللجان في النهاية بنظرة متكاملة لبرنامج تدريسي أكثر التصاقاً بسوق العمل، وأكثر واقعية في تحقيق متطلباته الأساسية.

وتتناول هذه الحقيقة التدريبية " هندسة كهربائية - ٢ " لمتدربى قسم " الكترونيات صناعية وتحكم " للكليات التقنية موضوعات حيوية تتناول كيفية اكتساب المهارات اللازمة لهذا التخصص.

والإدارة العامة لتصميم وتطوير المناهج وهي تضع بين يديك هذه الحقيقة التدريبية تأمل من الله عز وجل أن تسهم بشكل مباشر في تأصيل المهارات الضرورية اللازمة، بأسلوب مبسط يخلو من التعقيد، وبالاستعانة بالتطبيقات والأسئلة التي تدعم عملية اكتساب هذه المهارات.

والله نسأل أن يوفق القائمين على إعدادها المستفيدين منها لما يحبه ويرضاه، إنه سميع مجيب الدعاء.

الإدارة العامة لتصميم وتطوير المناهج

الحمد لله رب العالمين والصلوة والسلام على نبينا محمد وعلى آله وصحبه وسلم، ... وبعد ، نتيجة للتطور الذي تشهده المملكة العربية السعودية في شتى مجالات التقنية المختلفة ، كان لزاماً تخرج كوادر وطنية قادرة على استيعاب هذه التقنيات بمهارة وإتقان . وانطلاقاً من حرص ولاة الأمر في هذا البلد وقناعتهم بالاستفادة من هذه التقنيات والأخذ بأسباب التقدم بما يتواافق مع شريعتنا الغراء ، فقد عهدت الدولة إلى المؤسسة العامة للتعليم الفني والتدريب المهني مهمة إعداد كوادر فنية مدربة قادرة على استيعاب وسائل التقنية الحديثة . وانطلاقاً من هذا الهدف النبيل قامت المؤسسة بجهد مشكور في هذا الميدان ، حيث قامت بعمل ورش مختلفة وذلك بغرض تحديد المواصفات المهنية لكل تخصص فني ، ومن ثم عهدت المؤسسة بتتكليف بعض الأقسام في الكليات التقنية المختلفة بتأليف وإعداد مناهج نظرية وعملية متوافقة مع مواصفات التخصصات الفنية المختلفة . ومن هنا كان منهج الهندسة الكهربائية - ٢- من ثمار هذا الجهد الرائع الذي قام به الإداره العامة لتصميم وتطوير المناهج بالمؤسسة .

وإننا إذ نقدم هذا المنهج لطلاب الكليات التقنية ، بما يتواافق مع احتياجات الطالب ومستواه الدراسي ، وبأسلوب مبسط خالٍ من التعقيد ، دون الإخلال بالمحوى العلمي . وختاماً ، نسأل المولى عز وجل أن يوفق القائمين على هذا المشروع بكل خير ، كما نسأله تعالى أن يوفق أبناءنا الطلاب لفهم هذا المنهج عملياً وأن يجعل أعمالنا خالصة لوجهه الكريم ، وآخر دعوانا أن الحمد لله رب العالمين .

وصلى الله على سيدنا محمد وعلى آله وصحبه وسلم ،

المؤلفون



هندسة كهربائية - ٢

تحويل الطاقة وتوليد الطاقة الكهربائية

تحويل الطاقة وتوليد الطاقة الكهربائية

١

الأهداف العامة للوحدة الأولى

بعد الانتهاء من دراسة هذه الوحدة، يكون الطالب قادرًا على:

- معرفة المصادر الابتدائية للطاقة الحفريّة والتلوّيّة والمتّجدة.
- معرفة كيفية توليد الطاقة الكهربائيّة من المحطّات المائيّة.
- معرفة كيفية توليد الطاقة الكهربائيّة من المحطّات الحراريّة والتلوّيّة.
- معرفة كيفية توليد الطاقة الكهربائيّة من المحطّات الغازية.
- معرفة كيفية توليد الطاقة الكهربائيّة من محطّات الديزل.
- معرفة كيفية توليد الطاقة الكهربائيّة من محطّات الطاقة المتّجدة.

١ - مقدمة

في بداية الحديث عن الطاقة الكهربائية نجد أن من المنطقي الحديث أولاً عن الطاقة بصورة عامة من حيث الصور المختلفة الموجودة في الطبيعة ومخزونها وكذلك الصور المختلفة لاستغلال هذه الطاقة أو تحويلها إلى صورة أخرى من صور الطاقة الأخرى ويلي ذلك الحديث عن طرق توليد الطاقة الكهربائية.

١-٢ تحويل الطاقة Energy Conversion

تقسم الطاقات إلى نوعين أساسيين:

١. طاقات ابتدائية: وهي الطاقات الموجودة في الطبيعة مثل الطاقة الشمسية وطاقة الرياح والطاقات الأحفورية (نفط وغاز وفحم).

٢. طاقات ثانوية: وهي الطاقات المحولة من أحد أنواع الطاقات الابتدائية إلى صورة أخرى للطاقة مثل الطاقة الحرارية والطاقة الميكانيكية والطاقة الكيميائية والطاقة الكهربائية.

وسوف نتحدث بإيجاز عن مصادر الطاقة الابتدائية.

١-٢-١ مصادر الطاقة الابتدائية Primary Energy Resources

عند البحث عن حقيقة أصل الطاقة الموجودة في الطبيعة نجد الشمس هي المصدر الحقيقي والوحيد للطاقة. وقد يتعجب البعض من هذه الحقيقة العلمية لأنه قد يقفز إلى الأذهان سريعاً الصور الأخرى الملهمة لمصادر الطاقة الطبيعية الأخرى ولكن دعنا الآن نسرد سريعاً عرضاً لأنواع الطاقة الموجودة في الطبيعة وتناقش كيفية تكوينها.

مصادر الطاقة الطبيعية:

تقسم مصادر الطاقة الطبيعية إلى ثلاثة أقسام وهي:

- (١) المصادر الأحفورية للطاقة (Fossil Energy Resources)
- (٢) مصادر الطاقة المتجدد (Renewable Energy sources)
- (٣) مصادر الطاقة النووية (Nuclear Energy sources)

وسوف نتكلم بإيجاز عن كل مصدر من هذه المصادر

١-٢-١-١ المصادر الأحفورية للطاقة Fossil Energy Sources

وهي مصادر تكونت بفعل الطبيعة حيث ساعدت الطبيعة على تحليل الكائنات الحية التي كانت موجودة على سطح الأرض وعلى مر العصور نتيجة التراكمات الجيولوجية المختلفة ونتيجة لاختلاف طبيعة المكان واختلاف درجة التراكمات الجيولوجية وكذلك نتيجة اختلاف تأثير الشمس من مكان

آخر أو من زمن لآخر فإن هذه التأثيرات الجوية على الكائنات الحية أدى إلى تكوينات مختلفة من حوامل الطاقة الأحفورية وهي:

(I) البترول (Petroleum Oil)

(II) الغاز الطبيعي (Natural Gas)

(III) الفحم (Coal)

ولو عدنا إلى حقيقة الأمر وأصل الطاقة الموجودة في هذه المصادر الأحفورية لوجدنا أنها في الواقع ما هي إلا طاقة مستمدّة من الطاقة الشمسية ومخزونة في هذه الأحفوريات بمعنى أن هذه المصادر الأحفورية الثلاثة للطاقة وما هي في الواقع إلا مخزن للطاقة تم تحويل الطاقة الشمسية فيه إلى طاقة كيميائية وقد احتزنت الطاقة فيه لحين استخراج هذه الحوامل من باطن الأرض وإعادة معاملة هذه الحوامل مرة أخرى المعاملة الكيميائية المناسبة يمكن إعادة استخراج الطاقة منها مرة أخرى.

وهذا النوع من مصادر الطاقة يتميز بأنه إلى حد كبير يمتاز بسهولة التعامل معه من حيث إنه إلى حد ما قديم ولها تاريخ وخبرة في استغلاله ومن حيث طرق استغلال هذه المصادر فإنه من المعروف أن الاستغلال الأمثل لمثل هذه الحوامل هو الاستغلال الحراري حيث يتم حرق البترول أو الغاز الطبيعي أو الفحم واستغلال الطاقة الحرارية الناتجة إما استغلالاً مباشر للحرارة أو بإعادة تحويل الطاقة الحرارية إلى نوع آخر من أنواع أو صور الطاقة مثل الطاقة الميكانيكية مثلاً. ومنذ زمن بعيد وإلى يومنا هذا فإن نسبة الاعتماد على مصادر الطاقة الأحفورية هي نسبة عالية وغالبة ولكن أحد العيوب في الاعتماد على مصادر الطاقة الأحفورية هو أن هذه المصادر قابلة للنفاد أي أن هذه المصادر لها مخزون، وهذا المخزون قابل للنفاد وتحتفل كمية المخزون لكل مصدر عن الآخر وتحتفل كذلك الكمية المستهلكة من مصدر لآخر ولذلك فإن المخزون لكل مصدر من المصادر الأحفورية يمكن تقديره ليس فقط بالكمية ولكن أيضاً بالفترة الزمنية التي سوف ينفذ بعدها وتقديرها كالتالي:

المخزون (مقدراً بالسنوات)	المصدر الأحفوري
٤٠	البترول
٦٠	الغاز الطبيعي
٢٥٠	الفحم

جدول رقم (١) - (١) المخزون الاستراتيجي لمصادر الطاقة الأحفورية

ولهذا فقد بدأ الاتجاه في السنوات الأخيرة إلى البحث عن مصادر أخرى للطاقة يكون مخزونها أكبر من مصادر الطاقة الأحفورية وهذه فإن من المتوقع في المستقبل أن يكون الاتجاه لبدائل الطاقة الأحفورية وهي الطاقات النووية أو الطاقات المتجددة.

١- ٢- ١- ٢- الطاقة النووية Nuclear Energy

وقد تكونت مصادر الطاقة النووية (الذرية) أيضاً بفعل الطبيعة التي ساعدت على تخزين الطاقة بفعل التفاعلات الكيميائية والطبيعية لبعض المواد ذات الطابع الخاص والمسممة بالمواد المشعة أو النظائر المشعة (Radioactive Material). وهذه المواد ذات خواص هامة جداً منها قدرتها الفائقة على احتزان الطاقة حيث أن الطاقة المنطلقة من كمية ما منها تعادل ملايين أضعاف ما تخزن كمية مساوية من المصادر الأحفورية المعتادة. وعيوب الطاقة النووية لا تُخفى على أحد حيث أن التعامل البشري مع هذه الطاقة لابد أن يكون بحذر شديد وضمان للأمان التام حيث أن المواد المشعة يمكن أن تكون ذات خطر داهم على الإنسان ولذلك فإن التقنية الحديثة تتجه إلى تأمين العنصر البشري في استخدام الطاقة النووية. ومن مميزات الطاقة النووية أن مخزونها - قياساً بمخزون الطاقات الأحفورية - كبير جداً ويقدر بآلاف السنين.

وتختلف تقنية استغلال الطاقة النووية من الانشطار النووي (fission) إلى الاندماج النووي (Fusion) الذي يمتاز بزيادة الطاقة الناتجة عن الانشطار النووي والذي مازال في طور التطور والبحث عن الطرق المثلى للتوجيه والتحكم.

أما عن طرق الاستغلال السلمي فهي في اتجاه تحويل الطاقة الناتجة عنها إلى صورة أخرى من صور الطاقة (طاقة حرارية مثلاً) أو في اتجاه علاج بعض الأمراض (السرطان مثلاً) بتعرض المريض إلى قدر محسوب مبسط من الإشعاع، لكن للأسف هناك اتجاه غير سلمي وهو استخدام الطاقة النووية كسلاح فتاك مدمر ولا يخفى على أحد مخاطر هذا السلاح الخطير على البشرية وعلى جميع الكائنات الحية. ولذلك ازدادت في الفترة الأخيرة اتجاهات المعارضة ضد هذا النوع من الطاقة وازداد الاتجاه في نفس الوقت إلى نوع آخر من أنواع الطاقات وهو الطاقة المتجددة.

١- ٢- ١- ٣- الطاقة المتجددة Renewable Energy

كما ذكرنا سابقاً فإن الطاقة الشمسية هي المصدر الأصلي وال حقيقي لجميع أنواع الطاقات على الكورة الأرضية وكما ذكر فإنه قد تم تخزين الطاقة الشمسية بصورة طبيعية عن طريق بعض التفاعلات الكيميائية بفعل التراكمات الجيولوجية في الصور المختلفة للمصادر الأحفورية. ولكن في

الواقع أيضاً أن الطاقة الشمسية هي مصدر للعديد من الصور الأخرى للطاقة والتي نسميها بالطاقة المتجددة مثل:

- (I) الاستغلال المباشر للطاقة الشمسية بشقيها الحراري والضوئي.
- (II) بفعل الطاقة الشمسية تتكون الكتل الهوائية الساخنة والباردة التي باندفاعها تكون الرياح (Wind Energy) التي يمكن تحويلها إلى طاقة ميكانيكية ثم إلى صور أخرى (الطاقة الكهربائية مثلاً).
- (III) بفعل الرياح تجري الأنهر فتسبب المساقط المائية (Water falls) التي يمكن استغلالها أو تحويلها إلى طاقة ميكانيكية ثم إلى صور أخرى (الطاقة الكهربائية مثلاً).
- (IV) بفعل الرياح أيضاً تتحرك المياه مسببة موج البحر (Sea waves) التي هي ما تزال في مجال الأبحاث والتجارب لاستغلالها علمياً واقتصادياً.
- (V) بفعل حرارة الشمس تختزن الحرارة في باطن الأرض (Geophysics) وهي أيضاً في دور الأبحاث لكيفية الاستغلال الأمثل لها (الطاقة الجيوفيزية).
- (VI) في المحيطات تحتبس حرارة الشمس النافذة من الطبقات العليا للمحيط في طبقة متوسطة منه (Ocean Energy) حيث لا تستطيع اختراق الطبقات التالية ولا يمكنها الانعكاس للخارج مرة أخرى.
- (VII) بفعل حرارة الشمس أيضاً تختزن الحرارة في مياه البحيرات (Solar Lakes) (الاحتباس الحراري).
- (VIII) بفعل حرارة الشمس أيضاً تتحلل القماممة وتسبب انبعاث ما يسمى بالغاز الحيوي الذي يمكن استغلاله كوقود غازي (Bio gas).

وفي هذا الخصوص سنتعرض بوجه عام إلى الطاقة المتجددة وكما ذكرنا فإن من أهم المميزات التي تتصف بها الطاقة المتجددة هي أنها ليس لها مخزون قابل للنفاد بل إنها متجددة باستمرار، ولكن من أهم عيوبها أنها غير ثابتة القيمة أي أنها تتصف بالتدبب الزمني أي أنها غير مضمونة القيمة أو الاستمرارية مع الزمن، كمثال فالطاقة الشمسية متواجدة نهاراً وغير متواجدة ليلاً وتواجدها صيفاً أقوى من تواجدها شتاء وتحتفل شدتها باختلاف الموقع الجغرافي وهكذا بالمثل طاقة الرياح تختلف من وقت لآخر ومن موقع لآخر وكذلك الطاقة المائية وهكذا. ولهذا فإن استغلال الطاقة المتجددة يستلزم الاستعانة بوسيلة لتخزين الطاقة وقت توافرها ثم استعادتها وقت الحاجة إليها.

وللحديث عن نظريات التيار المتردد نجد أنه من المنطقي أن نسرد بتبسيط الخطوات التي تتبع كي تصل الطاقة الكهربائية لدينا في مكان الاستخدام وكيف يتم توليدها ونقلها وتوزيعها وكيف يتم أيضاً في بعض الأحيان تخزينها.

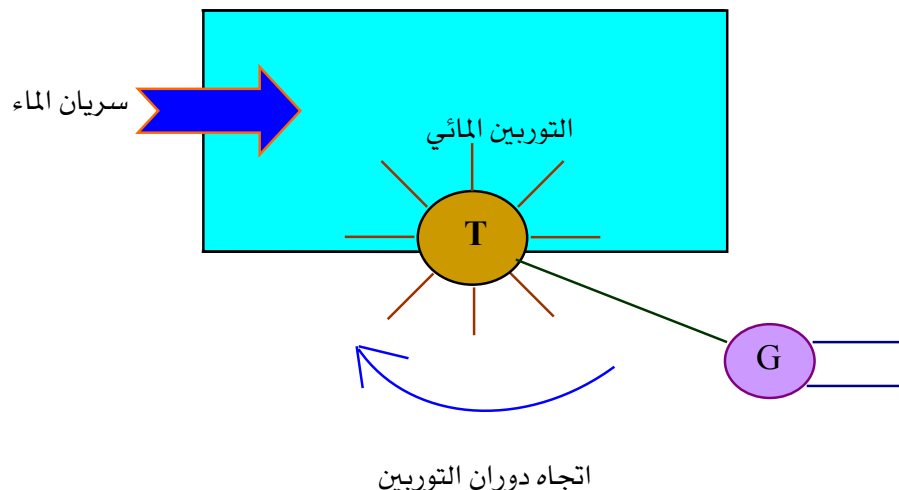
١- ٣- توليد الطاقة الكهربائية Generation of Electrical Energy

كما ذكر آنفا فإن الطاقة الكهربائية غير موجودة في الطبيعة على صورتها المعروفة، ولتوليدها يجب تحويل أحد صور الطاقة الابتدائية الموجودة في الطبيعة على صورة مبسطة إلى طاقة كهربائية ويتم ذلك عن طريق المولد الكهربائي وسوف نورد فيما بعد نظرية عمل هذا المولد بالتفصيل وتكتفي هنا بأن نذكر أن المولد الكهربائي يقوم بتحويل الطاقة الميكانيكية إلى طاقة كهربائية. ويتم هذا التحويل فيما يسمى بمحطات القوى الكهربائية حيث يتم تحويل الطاقة الابتدائية إلى طاقة ميكانيكية ثم إلى طاقة كهربائية. وتنقسم محطات القوى الكهربائية إلى أقسام عديدة طبقاً لطريقة تحويل الطاقة الابتدائية إلى طاقة ميكانيكية.

وسوف نوجز باختصار بعض أنواع تلك المحطات:

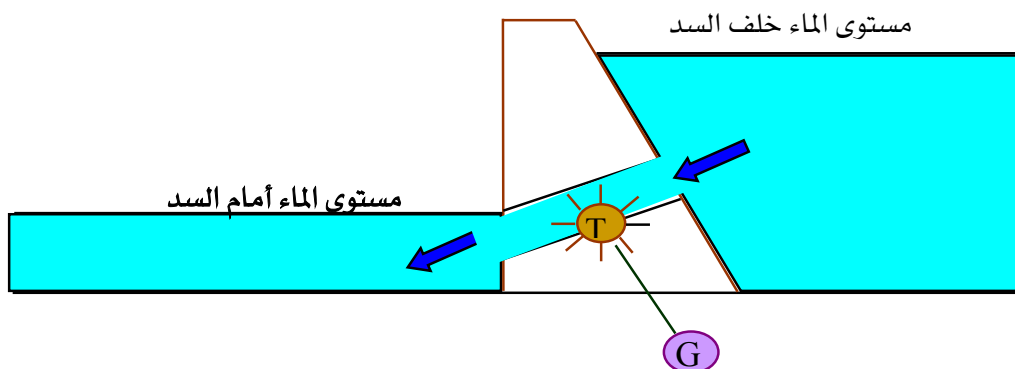
١- ٣- ١- محطات توليد الكهرباء بواسطة الترينات المائية Hydro- Power Station

في محطات التوليد المائية يتم تحويل الطاقة الابتدائية (التي هي في الأصل طاقة حركة الماء) إلى طاقة كهربائية. وفي هذه المحطات يتم تحويل الطاقة الميكانيكية التي على صورة حركة خطية للماء إلى طاقة ميكانيكية على صورة حركة دوارة وذلك عن طريق ما يسمى بالترينات المائية وذلك كما هو مبين بالشكل رقم (١- ١).



شكل رقم (١-١) فكرة التوربين المائي

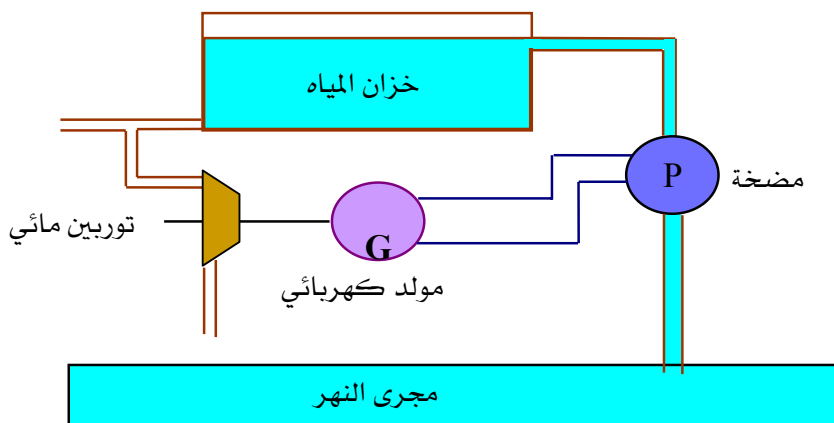
والحركة الخطية هي حركة المياه في الأنهر والتي تكونت بأمر الله ثم بفعل الطبيعة (الشمس والرياح كما ذكر سابقاً). ولكن في العادة فإن الطاقة المخزنة في حركة المياه تكون ضعيفة إلى حد ما بجانب إنها غير ثابتة القيمة على مدار العام ولذلك فإن التوليد عن طريق المحطات المائية إما أن تكون محطات صغيرة تعتمد فقط على حركة المياه غير ثابتة القيمة وتكون ذات قدرات صغيرة وغير ثابتة وإما أن تكون محطات كبيرة وفي هذه الحالة يجب الاستعانة بطريقة لتخزين الطاقة المائية وكذلك الاستعانة بوسيلة لتنمية القدرة الميكانيكية للمياه وذلك عن طريق الاستعانة ببناء سد يحجز خلفه المياه فيرتفع منسوب المياه خلف السد وبالتالي يعتبر هذا السد بمثابة مخزن للطاقة المائية المحجوزة خلفه كما أنه من جهة أخرى يزيد من القدرة الميكانيكية (طاقة الوضع) بارتفاع منسوب المياه خلف السد كما هو مبين بالشكل رقم (١-٢).



شكل رقم (١-٢) تخزين المياه خلف السد لزيادة طاقة الوضع

ومن مميزات استخدام الطاقة المائية كطاقة ابتدائية لتوليد الطاقة الكهربائية انخفاض تكاليف الكهرباء الناتجة عنها حيث أن الوقود المستخدم هو الماء الذي لا يتكلّف شيئاً في حين أن التكاليف كلها عبارة عن تكاليف ابتدائية أو أساسية وهي تكاليف بناء السد وتكاليف المعدات المستخدمة من مباني وموارد وتربيّنات وخلافه أما التكاليف الدورية للمحطة فهي لا تتعدي رواتب العمالة والتأمينات.

أما عيوب هذه المحطات فهي إلى جانب عدم ثبات القدرة الكهربائية نتيجة عدم ثبات منسوب المياه فهي مرتبطة ارتباطاً وثيقاً بالموقع الجغرافي حيث لابد من وجود مجرى مائي بالإضافة إلى أن مثل هذه المحطات ذات الخزان الجغرافي (السد) لها موقع تحسب بدقة متاهية لتلافي الأضرار والأثار الجانبية التي تجم عن بناء السد. أي أن هذه المحطات لها موقع محددة على مسار النهر أما عن طريقة تخزين الطاقة بالنسبة لمحطات الطاقة المائية الصغيرة فتكون عن طريق استخدام خزانات صناعية علوية، تدفع إليها المياه عن طريق مضخة تستمد طاقتها من المحطة في حال توافر الطاقة الكهربائية (توافر الطاقة الكهربائية هنا تعني ارتفاع منسوب المياه أو على الأقل كفاية منسوب المياه) ويتم تخزين المياه في الخزانات لحين الاحتياج إليها في حالة العجز في توفير الطاقة الكهربائية (بمعنى انخفاض مستوى المياه أو عدم كفيته) وذلك موضح في شكل رقم (٣).

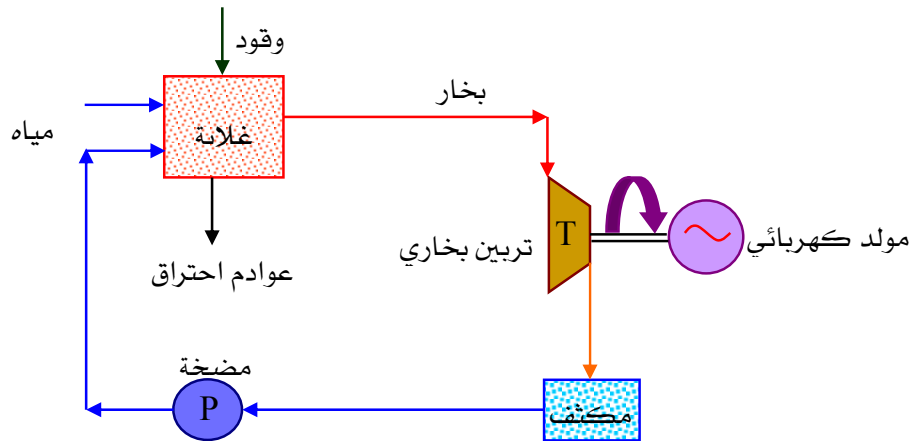


شكل رقم (١ - ٣) تخزين الطاقة الكهربائية عن طريق رفع المياه في خزانات واستعادتها

١ - ٣- المحطات الحرارية لتوليد الكهرباء

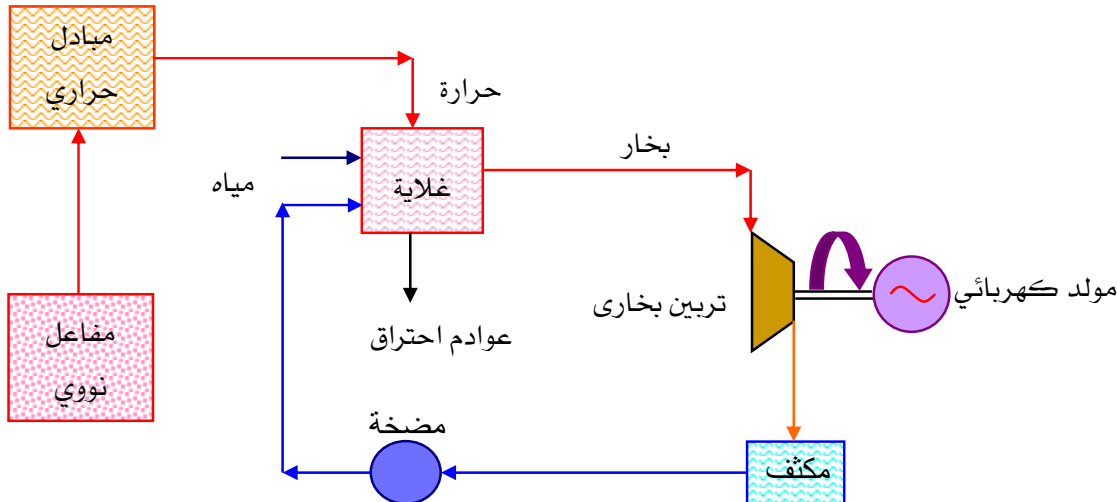
في هذا النوع من محطات توليد الطاقة الكهربائية يتم توليد الطاقة الكهربائية عن طريق مولدات تستمد طاقتها الميكانيكية عن طريق تربيعات بخارية تدار بالبخار وهذا يستلزم وجود هذه المحطات بجوار مصادر مائية للحصول على الماء اللازم لتحويله إلى بخار كما أن عملية تسخين الماء

لتحويله إلى بخار تحتاج إلى طاقة حرارية عالية يتم الحصول عليها عن طريق حرق وقود حفري مثل النفط أو الغاز الطبيعي أو الفحم، ويمكن كذلك عن طريق الوقود النووي توليد الطاقة الحرارية اللازمة لتحويل الماء إلى بخار وكذلك يمكن استخدام عدسات ومرايا لتركيز الطاقة الشمسية للاستفادة منها في الحصول على بعض من الطاقة الحرارية. شكل رقم (١ - ٤) يبين رسمياً تخطيطياً لكيفية توليد الكهرباء في محطات الطاقة الحرارية بواسطة الوقود الأحفوري حيث تتصف هذه المحطات بقدراتها العالية كما تتصف أيضاً بانبعاث نواتج احتراق (عوادم) تسبب تلوث البيئة وذلك عكس محطات التوليد المائية التي تتعدم فيها نواتج الاحتراق.



شكل رقم (١ - ٤) المحطات الحرارية لتوليد الكهرباء

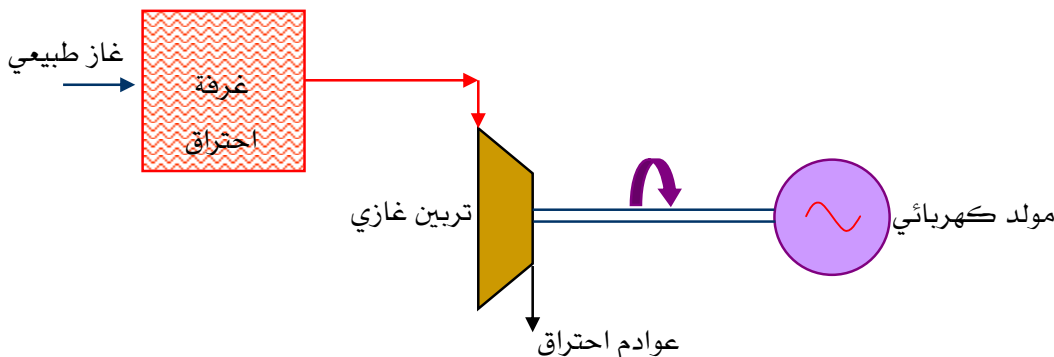
أما في حالة محطات التوليد التي تعتمد على الطاقة الحرارية الناتجة عن الطاقة النووية فهي تعتبر نظيفة من حيث عوادم الاحتراق المعتمدة المعروفة (مثل أول وثاني أكسيد الكربون، أكسيد النيتروجين، ثاني أكسيد الكبريت) ولكنها في نفس الوقت ينتج عنها نفايات نووية يجب التخلص منها بطريقة علمية صحيحة. شكل رقم (١ - ٥) يبين فكرة عمل محطات الطاقة النووية ب بصورة مبسطة، حيث يتم الاستعاضة عن الوقود بالحرارة الناتجة عن التفاعل النووي، ويتم إيصال الحرارة إلى الغلاية عن طريق ما يسمى بالتبادل الحراري الذي يفصل محطة توليد الكهرباء عن المفاعل النووي درءاً للأخطار.



شكل رقم (٥-٥) فكرة مبسطة لنظرية عمل محطة الطاقة النووية

١- ٣- محطات توليد الكهرباء بواسطة التربينات الغازية Gas Turbine Power Station

في محطات التوليد الغازية يتم حرق الغاز الطبيعي كوقود وينتج من عملية الاحتراق توليد كميات كبيرة من الغازات (عوادم الاحتراق) التي يستفاد منها في إدارة تربينات غازية مباشرة دون اللجوء إلى تربينات بخارية، كما هو مبين في شكل رقم (٦-٦).



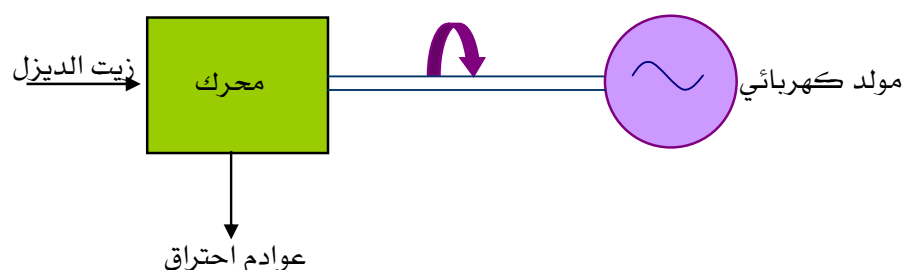
شكل رقم (٦-٦) محطات التوليد الغازية

وتتميز هذه المحطات أنها ليست مرتبطة بوجود مصادر للمياه على الإطلاق، بل إنها مرتبطة فقط بالغاز الطبيعي كوقود.

١ ٣- ٤ محطات توليد الكهرباء بواسطة مكينات الديزل Diesel Power Station

في محطات توليد الديزل يتم حرق زيت الديزل كوقود لإدارة محرك الديزل الذي يعطي حركة دوارة مباشرة دون اللجوء إلى أي توربين، وبنقل هذه الحركة إلى مولد كهربائي يمكن توليد الكهرباء. وتميز هذه المحطات بالبساطة في تراكيبها وكلك عدم اعتمادها على المياه بالإضافة إلى سهولة نقل الوقود.

شكل رقم (١ - ٧) يبين فكرة عمل محطات الديزل:

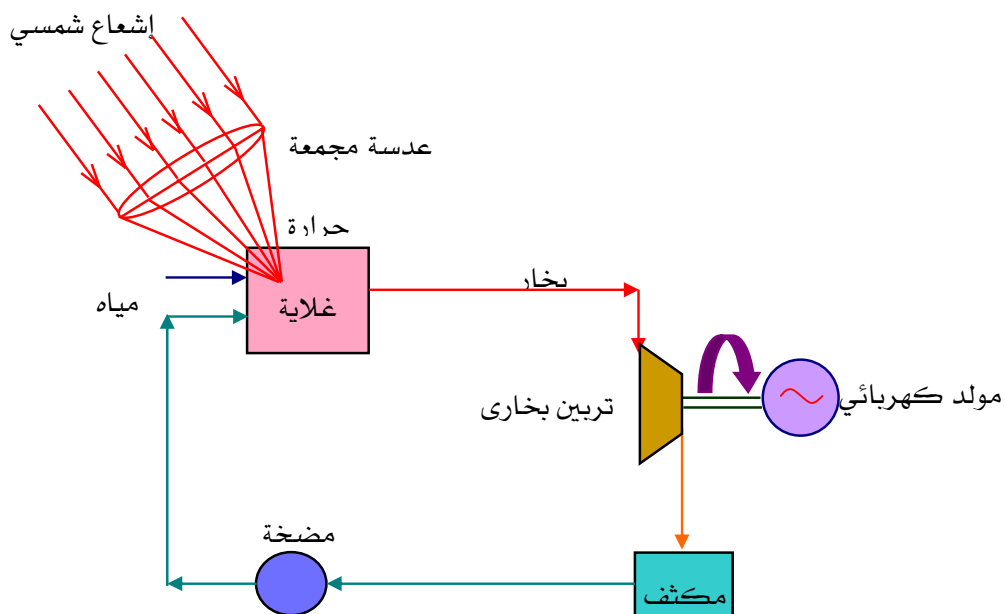


شكل رقم (١ - ٧) محطات توليد الديزل

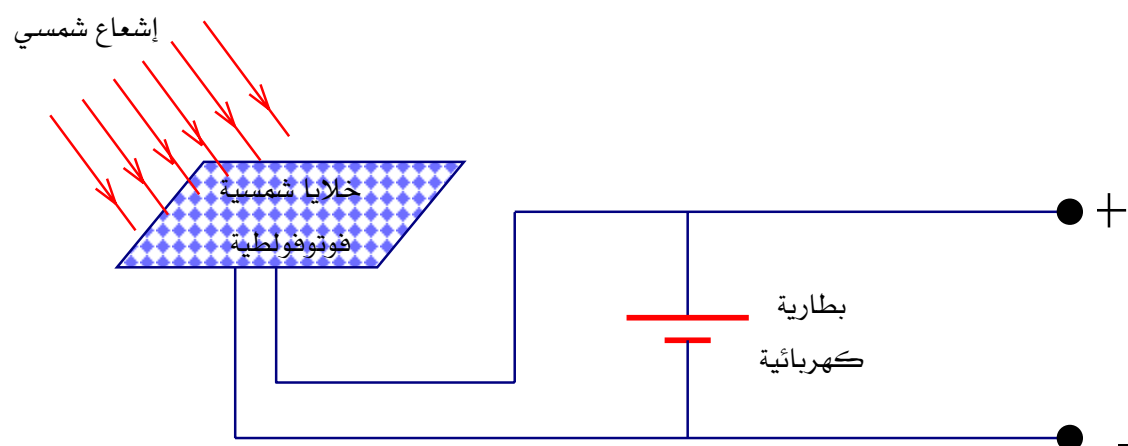
١ ٣- ٥ محطات توليد الكهرباء من الطاقة المتجدددة:

تعتمد محطات توليد الطاقة الكهربائية من الطاقة المتجدددة على تحويل الطاقة المتجدددة (شمسية -رياح -غاز حيوي - أمواج بحار - حرارة باطن الأرض - ٠٠٠٠٠ الخ) إما إلى طاقة كهربائية مباشرة (مثل الخلايا الشمسية الفوتوفولطية) أو إلى صورة أخرى من صور الطاقة (حرارية - ميكانيكية) ثم إلى طاقة كهربائية. وكما هو معروف، فإن المشكلة المشتركة بين هذه المحطات هو عدم ثبات القدرة الكهربائية الناتجة عن المحطة وذلك لعدم ثبات أو استقرار المصادر المسبيبة لهذه الطاقة، ولذلك يجب الاستعانة بطريقة ما لتخزين الطاقة.

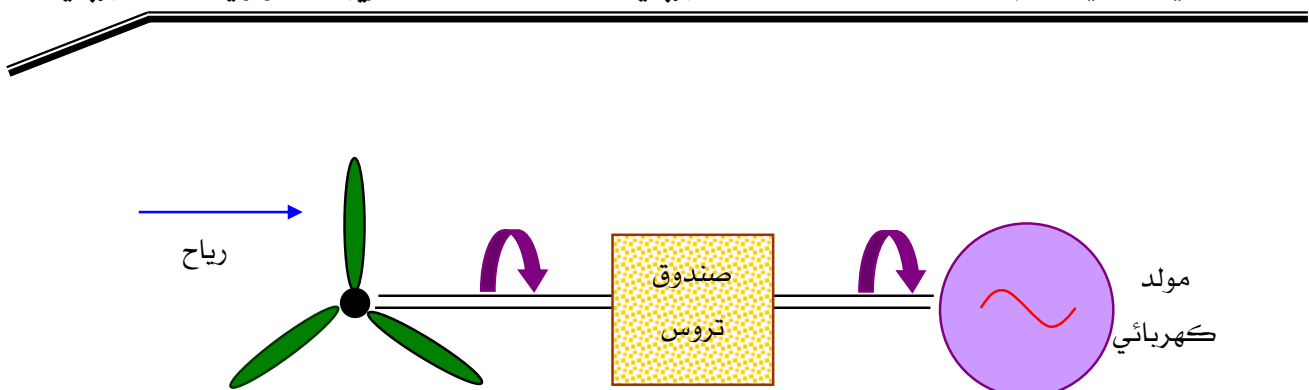
في الأشكال التالية نقدم فكرة محطات الطاقة الشمسية الحرارية ومحطات الطاقة الشمسية الضوئية ومحطات الرياح:



شكل رقم (١-٨) توليد الكهرباء من الطاقة الشمسية الحرارية



شكل رقم (١-٩) توليد الكهرباء من محطات الطاقة الشمسية الفوتوفولطية



شكل رقم (١٠-١) توليد الكهرباء من طاقة الرياح

تدريبات على الوحدة الأولى

١. اذكر أنواع الأساسية للطاقة.
٢. اذكر مصادر الطاقات الابتدائية.
٣. اذكر أنواع الطاقات الأحفورية.
٤. اذكر عيوب الطاقات الأحفورية.
٥. اذكر مزايا وعيوب الطاقة النووية.
٦. اذكر تقنيات استغلال الطاقة النووية.
٧. اذكر أنواع المختلفة للطاقات المتجددة.
٨. اذكر مزايا وعيوب الطاقات المتجددة.
٩. اشرح مع الرسم المبسط كيفية توليد الكهرباء من المحطات الحرارية المعتمدة.
١٠. اشرح مع الرسم المبسط كيفية توليد الكهرباء من المحطات الحرارية النووية.
١١. اشرح مع الرسم المبسط كيفية توليد الكهرباء من المحطات المائية.
١٢. اشرح مع الرسم المبسط كيفية توليد الكهرباء من المحطات الغازية.
١٣. اشرح مع الرسم المبسط كيفية توليد الكهرباء من محطات дизيل.
١٤. اذكر كيفية الاستفادة من الطاقة الشمسية في التوليد الحراري للكهرباء.
١٥. اشرح مع الرسم المبسط كيفية توليد الكهرباء من الخلايا الشمسية الفوتوفولطية.
١٦. اشرح مع الرسم المبسط كيفية توليد الكهرباء من الرياح.



هندسة كهربائية - ٢

مبادئ وأسس التيار المتردد

الأهداف العامة للوحدة الثانية

بعد الانتهاء من دراسة هذه الوحدة، يكون الطالب قادرًا على معرفة:

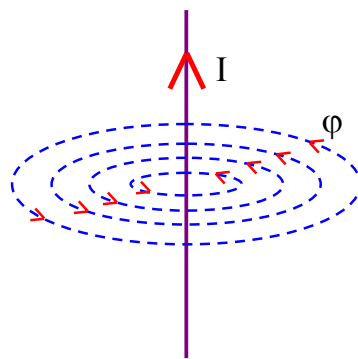
- التأثير المغناطيسي للتيار الكهربائي وقانون فارادي.
- نظرية عمل المولد الكهربائي.
- كيفية توليد الموجة الجيبية.
- تحليل الموجة الجيبية رياضيًّا.
- حساب القيمة المتوسطة والقيمة الفعالة للموجة الجيبية.
- حساب زاوية الطور.
- تمثيل الموجة الجيبية اتجاهيًّا ورياضيًّا.

٢-١ مقدمة Introduction

سوف نتعرض في هذا الباب إلى دراسة مبادئ وأسس توليد التيار المتردد الذي على شكل الموجة الجيبية وخواص الموجة الجيبية وكيفية تحليلها رياضياً وتمثيلها بالرسم عن طريق المتجهات. ولدراسة كيفية توليد التيار المتردد لابد في البداية من التعرض لدراسة سريعة للتأثيرات المغناطيسية المصاحبة للتيار الكهربائي والتي هي في نفس الوقت السبب الرئيسي لتوليد التيار المتردد، وهو ما سنحاول سرده سريعاً دون تعمق.

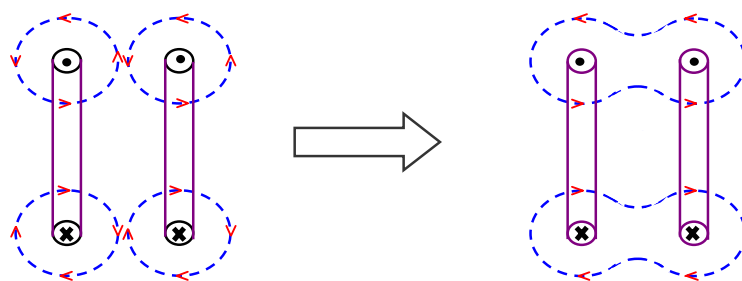
٢-٢ التأثير المغناطيسي للتيار الكهربائي Magnetic Effects of Electrical Current**٢-٢-١ توليد وتركيز المجال المغناطيسي Generation & Concentration of Magnetic Field**

من المعروف أنه إذا مر تيار كهربائي في موصل ما، فإن مرور هذا التيار الكهربائي يسبب نشوء ما يسمى بالمجال المغناطيسي (Magnetic Field) حول هذا الموصل على هيئة دوائر (تسمى خطوط القوى المغناطيسية أو الفيض المغناطيسي)، ويرمز له بالرمز Φ ، ويكون الموصل في مركز هذه الدوائر كما هو مبين بشكل رقم (٢-١).



شكل رقم (٢-١) دوائر المجال المغناطيسي.

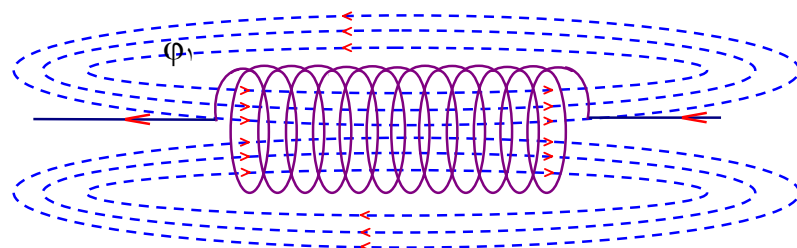
وخطوط القوى المغناطيسية هذه يكون لها اتجاه يرتبط باتجاه سريان التيار الكهربائي، وترتبطهما قاعدة البريمة لليد اليمنى: حيث يتم فتح اليد اليمنى بحيث يكون اتجاه إصبع الإبهام عمودياً على اتجاه باقي الأصابع، وإذا اعتبر اتجاه التيار في اتجاه إصبع الإبهام، يكون اتجاه خطوط القوى المغناطيسية في اتجاه دوران باقي الأصابع. ولتركيز المجال المغناطيسي (أو خطوط القوى المغناطيسية Φ)، يتم لف هذا الموصل (السلك) على هيئة ملف، ولدراسة المجال المغناطيسي الناتج عن الملف، نتخيل أخذ مقطع رأسياً في هذا الملف فيظهر الملف بالصورة المبينة في شكل رقم (٢-٢).



شكل رقم (٢-٢) مقطع رأسي في ملف حامل للتيار الكهربائي.

ويلاحظ الآتي:

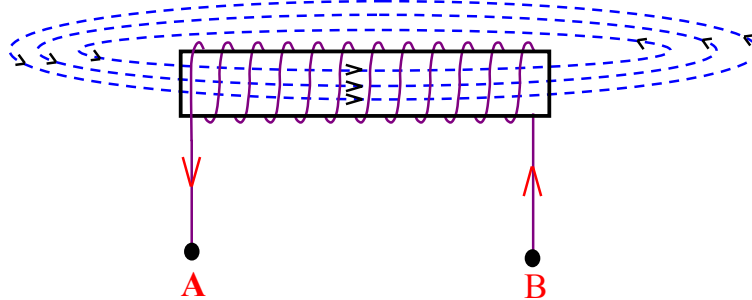
- (١) عند المقاطع يكون التيار إما داخلاً أو خارجاً من المقطع ويرمز لدخول التيار إلى سطح الورقة بعلامة (×) ويرمز لخروج التيار بالرمز (•)، ويتبيّق قاعدة البريمة لليد اليمنى عند المقاطع (حيث خطوط القوى المغناطيسية على هيئة دوائر)، يكون اتجاه خطوط القوى المغناطيسية كما هو مبين بالشكل رقم (٢-٢).
- (٢) في المنتصف ما بين اللفة والأخرى التالية لها، تكون خطوط القوى في اتجاهات متعاكسة، وبالتالي تلغى بعضها تأثير بعض، وكلما ابتعدنا عن منتصف المسافة بين اللفتين، كلما اختلفت قيمة المجال الناشئ من كل لفة، وكلما تواجدت قيمة محصلة للمجال.
- (٣) في مركز الملف يكون اتجاه خطوط القوى المغناطيسية في اتجاه واحد وبالتالي تجمع خطوط القوى المغناطيسية، وبهذا يتم تركيزها.
- (٤) يلاحظ أن خطوط القوى المغناطيسية خارج الملف تكون متواصلة كما هو مبين بشكل رقم (٢-٣).



شكل رقم (٢-٣) تركيز المجال المغناطيسي في قلب الملف.

ولأن خطوط القوى المغناطيسية (ϕ) تكون على هيئة مسارات مغلقة، فإن هذه الخطوط أو هذه المسارات تسير في وسط ما، وفي الحالة التي أمامنا فإن خطوط القوى المغناطيسية تسير في الهواء، وإذا

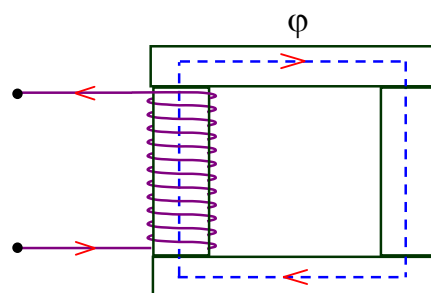
تخيلنا الآن أن هذا الملف ملفوف حول قطعة من الحديد (قلب حديدي)، فإن خطوط القوى المغناطيسية ستأخذ مساراً لها في داخل قطعة الحديد وتكمel بعد ذلك مسارها في الهواء خارج الحديد.



شكل رقم (٢ - ٤) تأثير القلب الحديدي على زيادة المجال المغناطيسي.

ولأن المواد الحديدية لها خاصية مغناطيسية، فإن مقاومتها لمرور خطوط القوى المغناطيسية تلاقي في مسارها في هذه الحالة مقاومة كلية أقل من الحالة الأولى حيث أن المسار (في الحالة الأولى) يكون كله في الهواء ذي المقاومة المرتفعة نسبياً لمرور المجال المغناطيسي، في حين في الحالة الثانية تحتل مقاومة الحديد جزءاً من المسار الذي كان يشغل الهواء في الحالة السابقة. وبالتالي تتوقع أن قيمة المجال المغناطيسي في الحالة الثانية ($\Phi_٢$) أكبر من قيمته في الحالة الأولى ($\Phi_١$) بالرغم من عدم تغير قيمة التيار الكهربائي كما هو مبين بـشكل رقم (٢ - ٤).

وللاستفادة من هذه الخاصية الهامة في الحديد، يمكن أيضاً زيادة حجم الحديد في مسار خطوط القوى المغناطيسية حتى يمكن أن يكتمل المسار كله كما في الشكل رقم (٢ - ٥).



شكل رقم (٢ - ٥) ملف ملفوف على قلب حديدي مغلق.

ولذلك فإن:

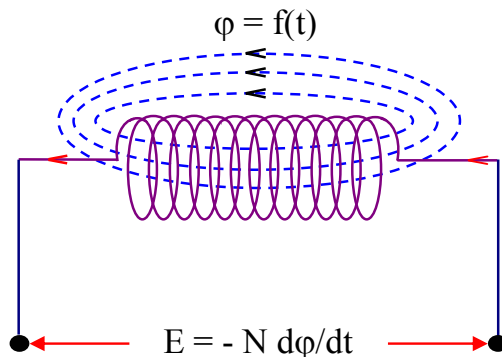
$$\Phi_١ < \Phi_٢ < \Phi_٣$$

وبهذا المبدأ يمكن تركيز المجال المغناطيسي داخل القلب الحديدي، وهذا هو بداية الطريق لشرح نظرية عمل المولد الكهربائي لشرح كيفية توليد التيار المتردد، ولنبدأ بقانون فارادي.

٢- ٢ قانون فارادي Faraday's Law

ينص قانون فارادي على أنه إذا تعرض ملف ما ذو عدد لفات N لمجال مغناطيسي أو خطوط قوى مغناطيسية متغيرة مع الزمن كما هو مبين بشكل رقم (٢-٦)، تولد قوة دافعة كهربائية E (جهد كهربائي) بين طرفي هذا الملف، تتناسب مع معدل تغير المجال المغناطيسي مع الزمن وتساوي عدد اللفات N مضروباً في معدل تغير خطوط القوى المغناطيسية بالنسبة للزمن وذلك بإشارة سالبة، كما هو مبين من العلاقة رقم (٢-١) :

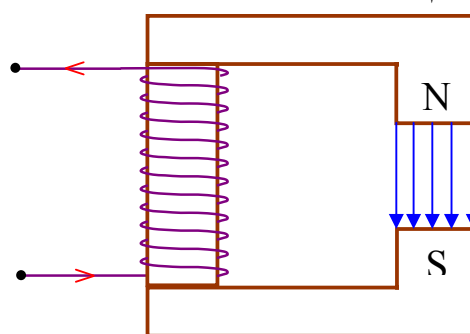
$$E = -N \frac{d\phi}{dt} \quad (2-1)$$



شكل رقم (٢-٦) توليد القوة الدافعة الكهربائية طبقاً لقانون فارادي.

٢- ٣ نظرية عمل المولد الكهربائي Basic Concepts of Electrical Generator

بالعودة إلى شكل رقم (٢-٥)، يمكن التخييل الآن أن القلب الحديدي غير مغلق تماماً وأنه توجد ثغرة هوائية في مسار خطوط القوى المغناطيسية، لذلك فإن خطوط القوى المغناطيسية تمر الآن في القلب الحديدي وتكمم مسارها في الهواء ويكون المجال المغناطيسي مركزاً في هذه الثغرة الهوائية وهو ما يعرف بالمغناطيس، حيث له قطب شمالي خارجة منه والخطوط المغناطيسية وقطب جنوبى داخلاً إليه الخطوط، كما هم مبين بالشكل رقم (٢-٧).



شكل رقم (٢-٧) تركيز المجال المغناطيسي في الثغرة الهوائية.

في هذه الثغرة يمكن استغلال هذا المجال المغناطيسي بطريقة أخرى كالآتي: إذا تحرك أي موصل في هذه الثغرة الهوائية قاطعاً خطوط القوى المغناطيسية، تتولد بين أطرافه قوة دافعة كهربائية تبعاً لقانون فارادي:

$$E = -N \frac{d\phi}{dt} \quad (٢-٢)$$

إذا فرضنا أن كثافة خطوط القوى المغناطيسية قيمة ثابتة B :

$$\frac{\phi}{A} = B \quad (٣-٢)$$

إذن:

$$\phi = BA \quad (٤-٢)$$

$$d\phi = BdA \quad (٥-٢)$$

فإذا تحرك موصل ذو طول ℓ في المجال المغناطيسي قاطعاً خطوط القوى المغناطيسي ϕ ، تتولد بين أطرافه قوة دافعة كهربائية E يمكن حسابها كالآتي: إذا تحرك الموصل حركة صغيرة لمسافة صغيرة dx ، فإن خطوط القوى المغناطيسية التي يقطعها الموصل في حركته $= d\phi$ ، حيث:

$$d\phi = BdA \quad (٦-٢)$$

$$dA = \ell dx \quad (٧-٢)$$

$$d\phi = B\ell dx \quad (٨-٢)$$

وتبعاً لقانون فارادي، الموضح بالمعادلة رقم (٢-٢)، وبما أن: $N=1$ ، إذن:

$$|E| = B\ell \frac{dx}{dt} = B\ell v \quad (٩-٢)$$

حيث إن:

B = كثافة خطوط القوى المغناطيسية (ذات القيمة الثابتة)

v = طول الموصل

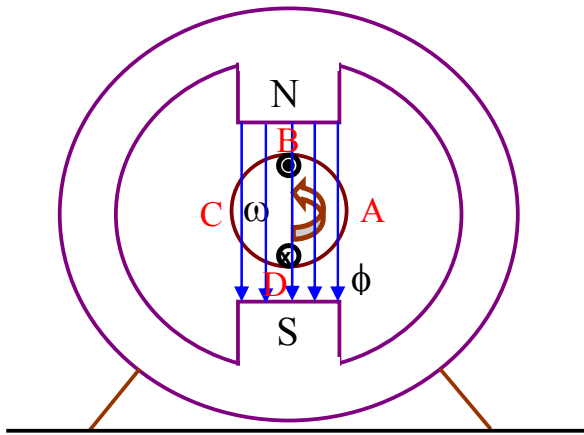
v = السرعة الخطية لحركة الموصل العمودية على اتجاه المجال المغناطيسي.

وحيث إن القوة الدافعة الكهربائية E لها اتجاه (قطبية: سالب ووجب)، فإن هذا الاتجاه له علاقة باتجاه كل من: φ و v ، وتحدد العلاقة بين هذه الاتجاهات الثلاثة عن طريق قاعدة فلمنج لليد اليسرى، حيث تقول:

إذا وضع الثلاثة أصابع لليد اليسرى الإبهام والسبابة والوسطي في ثلاثة اتجاهات متعامدة على بعضها، فإن اتجاه المجال يكون في اتجاه الإصبع الوسطي واتجاه الحركة في اتجاه الإصبع الإبهام واتجاه التيار في اتجاه الإصبع السبابية.

٢ - ٣ - ١ توليد الموجة الجيبية Generation of Sine Wave

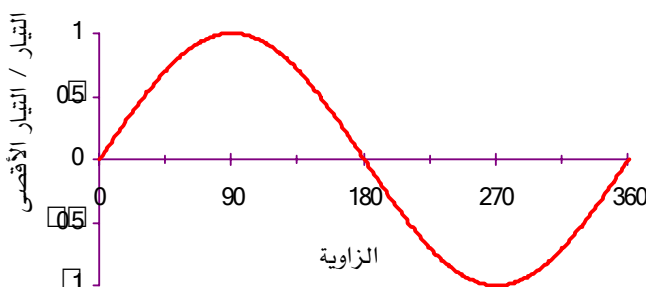
لو تخيلنا الآن أن الموصل يتحرك حركة دوارة في المجال المغناطيسي أي أنه يتبادل موقعه ما بين القطبين الشمالي والجنوبي باستمرار، كما هو مبين بالشكل رقم (٢ - ٨)، وبتطبيق قاعدة فلمنج نجد أن القوة الدافعة الكهربائية وكذلك التيار بهذا التبادل الحركي للموصل تحت الأقطاب المختلفة تتغير أيضاً اتجاهاتها (إشارتها) وهذا هو ما يسمى بالتيار المتردد.



شكل رقم (٢ - ٨) توليد الموجة الجيبية.

- فإذا تخيلنا الموصل الموضح في شكل رقم (٢ - ٨)، وأنه بدأ يتحرك حركة دوارة ليأخذ الأوضاع
- (١) عند النقطة A يتحرك الموصل حركة موازية للمجال المغناطيسي فلا يقطعه ولا ينتج عن ذلك توليد أي قوة دافعة كهربائية.
- (٢) عند النقطة B يتحرك الموصل حركة عمودية تماماً على المجال المغناطيسي فيتولد بين أطرافه قوة دافعة كهربائية بقيمة عظمى ويكون اتجاهها (وبالتالي التيار الكهربائي) في الاتجاه الخارج من الموصل كما هو مبين بالشكل رقم (٢ - ٨).

- (٣) عند النقطة C يتحرك الموصل ثانية موازياً للمجال المغناطيسي فلا تتولد أية قوة دافعة كهربائية.
- (٤) عند النقطة D يتحرك الموصل حرفة عمودية تماماً على المجال المغناطيسي فيتولد بين أطرافه قوة دافعة كهربائية بقيمة عظمى ويكون اتجاهها (وبالتالي التيار الكهربائي) في الاتجاه الداخل إلى الموصل. وإذا رسمنا العلاقة بين الزاوية التي قطعها الموصل من الوضع الابتدائي حتى أكمل دورته الكاملة وبين قيمة التيار المتولد فيه، لوجدنا هذه العلاقة على شكل منحنى الموجة الجيبية كما في شكل رقم (٩-٢).



شكل رقم (٩-٢) شكل الموجة الجيبية.

٢-٣-٢ التحليل الرياضي للموجة الجيبية Mathematical Analysis of Sine Wave

لإجراء التحليل الرياضي للموجة الجيبية سوف نتناول بعض التعريفات وال العلاقات الهرمية المتعلقة بالحركة الدوارة للموصل في المجال المغناطيسي.

السرعة الخطية (V): هي المسافة الطولية التي يقطعها الموصل في الثانية الواحدة.

السرعة الزاوية (ω): هي الزوايا النصف قطرية التي يقطعها الموصل في الثانية الواحدة، وتقياس الزاوية نصف القطرية بوحدة تسمى راديان radians

التردد (f): هو عدد الدورات الكاملة التي يقطعها الموصل في الثانية الواحدة.

عند قطع الموصل لدورة كاملة، فإن المسافة d التي يقطعها تكون عبارة عن طول محيط الدائرة

التي قطرها D أي:

$$d = 2\pi D/2 \quad (10-2)$$

وتكون الزوايا نصف القطرية المقطوعة θ هي:

$$\theta = \frac{(2\pi D/2)}{(D/2)} = 2\pi \quad (11-2)$$

وبالتالي، إذا قطع الموصل في الثانية الواحدة عدد f من الدورات، يكون قطع مسافة طولية مقدارها V حيث:

$$V = (2 \pi D/2) \cdot f \quad (12-2)$$

ويكون قطع عدد زوايا نصف قطرية مقدارها ω حيث:

$$\omega = 2 \pi f \quad (13-2)$$

وبالتالي تكون العلاقة بين V و ω كالتالي:

$$V = \omega \cdot (D/2) \quad (14-2)$$

وفي خلال زمن t يكون الموصل قد قطع مسافة طولية قدرها:

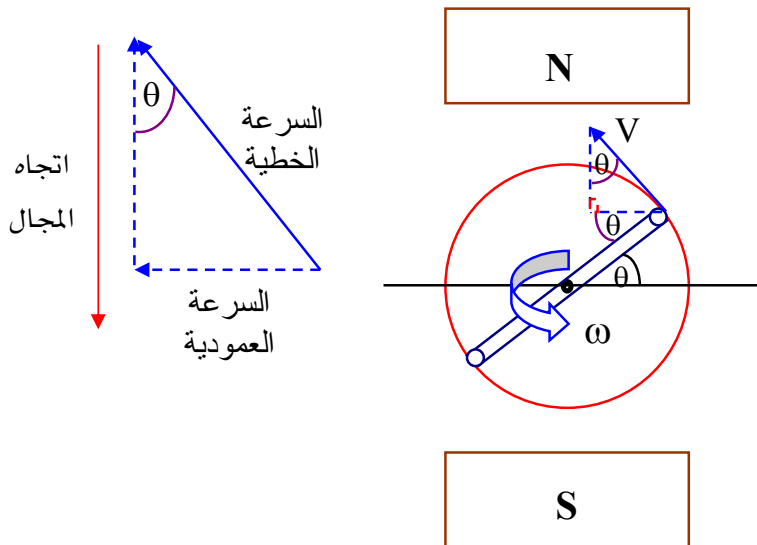
$$d = V \cdot t \quad (15-2)$$

ويكون قد قطع زاوية نصف قطرية قدرها:

$$\theta = \omega \cdot t \quad (16-2)$$

لتخيل الآن أن الموصل تحرك من نقطة الصفر ووصل إلى وضع عام حيث قطع زاوية مقدارها θ

حيث يفترض أنه يتحرك بسرعة خطية ثابتة V ، كما هو مبين بشكل رقم (٢ - ١٠)، إذن:



شكل رقم (٢ - ١٠) الوضع العام للموصل

$$v = V \sin \theta \quad (17-2)$$

حيث v هي السرعة العمودية على خطوط القوى المغناطيسية \mathcal{B} . وبالتالي فإن:

$$E = B \ell v = B \ell V \sin \theta = B \ell V \sin(\omega t) \quad (18-2)$$

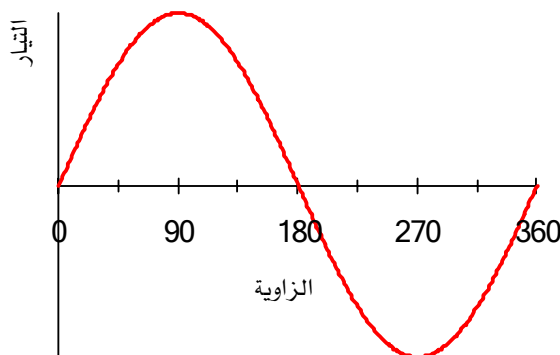
$$\therefore E = B \ell V \sin(\omega t) = E_{\max} \sin(\omega t) \quad (19-2)$$

$$\therefore E_{\max} = B \ell V = B \ell \omega (D/2) \quad (20-2)$$

$$\therefore E = \left(\frac{B \ell \omega D}{2} \right) \sin(\omega t) \quad (21-2)$$

أي أن العلاقة السابقة بين قيمة القوة الدافعة الكهربائية والزاوية المقطوعة هي علاقة جيبية.

٢- ٣- القيمة الحسابية للموجة الجيبية



شكل رقم (٢) التيار المتردد على هيئة موجة جيبية

لأن التيار في الموجة الجيبية ليست له قيمة ثابتة مع الزمن كما هو مبين بشكل رقم (٢)، بل إنه يتغير باستمرار بصفة دورية، نجد أن السؤال الذي يطرح نفسه هو: ما هي قيمة التيار في حالة الموجة الجيبية؟ وللإجابة على هذا السؤال لابد من التفرقة هنا بين حالتين: الحالة الأولى هي حالة اعتبار الشحنة الكهربائية والحالة الثانية هي اعتبار التأثير الحراري للتيار الكهربائي.

٢- ٣- ١- القيمة المتوسطة للموجة الجيبية

في الحالة الأولى: إذا نظرنا إلى دورة من الدورات الجيبية ولو حسبنا الشحنة الكهربائية المارة في مقطع سلك ما يحمل تياراً جيبياً وذلك في زمن الدورة الواحدة (T)، لوجدنا أن مwashدة الشحنة الكهربائية = صفر. حيث أن الشحنة الموجبة المارة في $Z/2$ تساوي الشحنة السالبة المارة في النصف الآخر من الدورة، ويمكن حساب كل من الشحنة الموجبة والشحنة السالبة على حدة باعتبار الزمن $T/2$

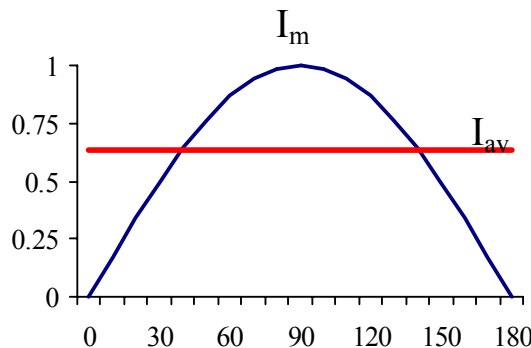
فقط وبالتالي يمكن حساب القيمة المتوسطة لنصف الدورة كما هو مبين بشكل رقم (٢-١٢)، على انه: التيار المستمر الذي إذا مر في مقاومة ما في زمن $T/2$ لتسبب في مرور نفس الشحنة التي يسببها التيار المتردد في نفس الزمن.

$$\pi I_{av} = \int_0^{\pi} I_m \sin \theta d\theta = I_m [\cos(\pi) - \cos(0)] = 2I_m \quad (22-2)$$

$$I_{av} = \frac{2}{\pi} I_m \quad (23-2)$$

وبالطبع فإن التيار المتوسط للدورة كلها = صفر

$$I_{av} = \left(\frac{1}{2\pi} \right) \int I_m \sin \theta = I_m [\cos(0) - \cos(2\pi)] = 0 \quad (24-2)$$



شكل رقم (٢-١٢) القيمة المتوسطة لنصف الموجة الجيبية

٢-٣-٢-٢ القيمة الفعالة للموجة الجيبية Effective value of sine wave

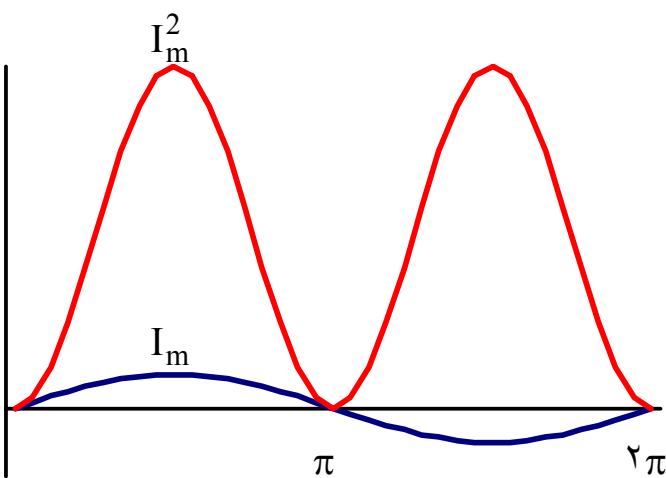
في الحالة الثانية: حيث ندرس التأثير الحراري للتيار الكهربائي، فلو تخيلنا مثلاً أن التيار يضيء مصباح كهربائي، فإن هذا المصباح يشع حرارة ويضيء في نفس الوقت، هذا بالطبع دون تفرق ما إذا كانت القطبية سالبة أو موجبة ولهذا تعرف القيمة الفعالة للتيار المتردد بأنها قيمة التيار المستمر التي إذا مرت في دائرة ما لفترة زمنية ما فإنها تعطي نفس التأثير الحراري للتيار المتردد إذا مر في نفس الدائرة لنفس الزمن. هذه القيمة لا تفرق بين تيار سالب وتيار موجب وتسمى r.m.s وهي اختصار لكلمات root

و هذه الكلمات تصف تماماً الخطوات المتخذة لحساب قيمة الفعالة للتيار المتردد ذي الموجة

الجيبيّة الموصوف بالمعادلة: $i = I_m \sin \theta$ كما يلي:

(١) للتخلص من تأثير القطبية ، تربع معادلة التيار لتصبح: $i^2 = (I_m \sin \theta)^2$ (square)، كما هو

مبين بشكل رقم (٢-١٣).



شكل رقم (٢-١٣) تربع الموجة الجيبيّة

(٢) يتم التكامل على كل الموجة أو نصف الموجة ليس هناك اختلاف حيث أن تربع الموجة يلغى تأثير

هذا الاختلاف، ثم تجري عملية قسمة على الفترة الزمنية التي أجري عليها التكامل (mean):

$$\frac{1}{\pi} \int (I_m^2 - \sin^2 \theta) d\theta = \left(\frac{I_m^2}{\pi} \right) \int \frac{(1 - \cos 2\theta)}{2} d\theta = \frac{I_m^2}{2}$$

(٢٥-٢)

(٣) يؤخذ الجذر التربيعي للحصول على القيمة الفعالة (root):

$$I_{\text{eff}} = \sqrt{\frac{I_m^2}{2}} = \frac{I_m}{\sqrt{2}}$$

(٢٦-٢)

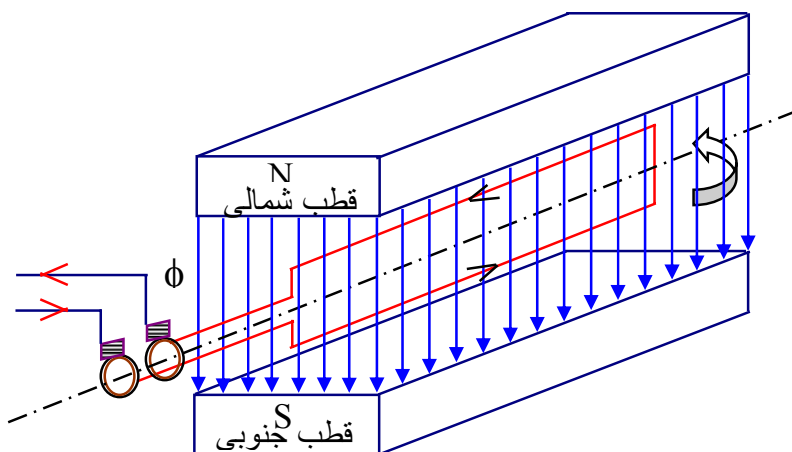
إذن لحساب القيمة الفعالة (root mean square) أو اختصاراً (rms):

$$I_{\text{eff}} = \sqrt{\left(\left(\frac{1}{\pi} \right) \int I_m^2 \sin^2 \theta \right)}$$

(٢٧-٢)

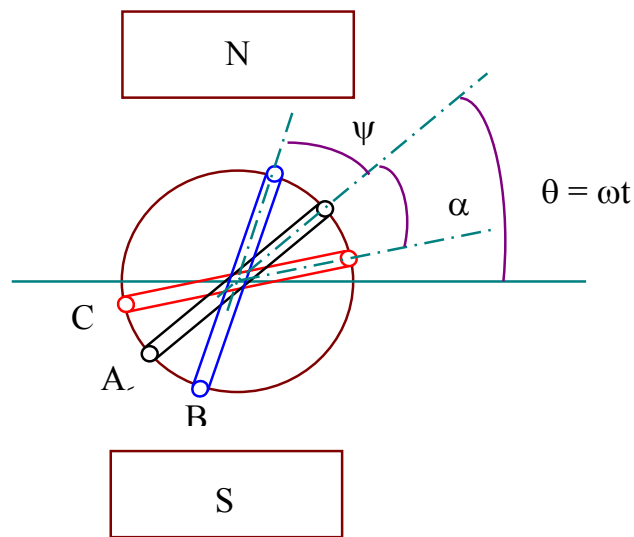
٢- ٣- ٤ زاوية الطور Phase angle

وبالعودة إلى شكل (٢ - ١٠) ولتكملة الفكرة عن توليد التيار المتردد وبعد الحديث عن موصل واحد يمكن الآن أن نتحدث عن لفة كاملة حيث يمكن توصيل اثنين من الموصلات تحت قطبين مختلفين وبذلك يكمل التيار مساره كما هو موضح بشكل رقم (٢ - ١٤) ثم يخرج التيار إلى خارج الملفات عن طريق اثنين من حلقات الانزلاق واثنين من الفرش.



شكل رقم (٢ - ١٤) مجسم يبين لفة كاملة.

لو فرضنا الآن أن هناك ثلاثة ملفات مشتركة في نفس المحور ولكن يفصل بينهم زوايا ثابتة: α & ψ ، كما هو مبين بشكل رقم (٢ - ١٥)، نجد الآتي:



شكل رقم (٢ - ١٥) ثلاثة ملفات في أوضاع مختلفة

- نجد أنه بينما تكون معادلة القوة الدافعة الكهربائية في الملف A هي:

$$e_A = E_m \sin \omega t \quad (28-2)$$

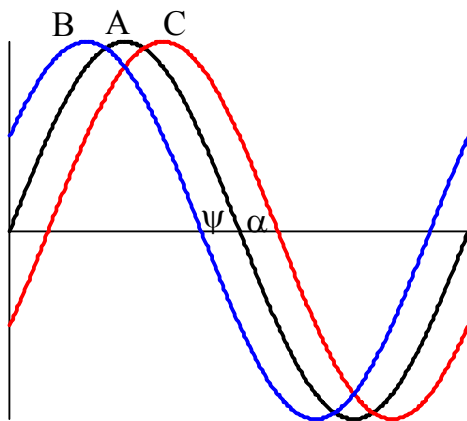
- نجد أنه في الملف B تكون معادلة القوة الدافعة الكهربائية هي:

$$e_B = E_m \sin (\omega t + \psi) \quad (29-2)$$

- نجد أنه في الملف C تكون معادلة القوة الدافعة الكهربائية هي:

$$e_C = E_m \sin (\omega t - \alpha) \quad (30-2)$$

هذا يعني أن الجهد في الثلاثة ملفات متساوية في قيمتها العظمى ولكن الفارق هو أن الملف B يصل إلى قيمته العظمى أولاً ثم بعد زاوية مقدارها ψ يصل الملف A إلى قيمته العظمى ثم بعد زاوية مقدارها α يصل الملف C إلى قيمته العظمى كما هو مبين بشكل رقم (٢-١٦).



شكل رقم (٢-١٦) الجهد المتولد على الملفات الثلاثة.

وعلى هذا يمكن أن ندرك أن الملفات الموجودة كلها لا تصل في نفس الوقت إلى القيمة العظمى ولكن يفصل بين بعضها البعض زوايا ثابتة ولأن حركة الملفات حركة نسبية فإنه يستلزم هنا لحساب الزوايا، اعتبار أحد هذه الملفات هو المرجع (reference) أو الدليل وينسب إليه باقي الملفات. فإذا اعتبرنا مثلاً الملف A هو المرجع فإن الملفات B, C تتسب إلىيه وفي هذه الحالة تعتبر زاوية الدليل هي المرجع فتساوي صفرًا، وتتساوى زوايا الأخرى إليها وتسمى هذه الزوايا في هذه الحالة بزوايا الطور:

♦ يعتبر الملف A هو المرجع، زاوية الطور = صفر:

$$e_A = E_m \sin(\omega t + 0) \quad (31-2)$$

♦ تعتبر زاوية الطور زاوية متقدمة إذا كانت إشارتها موجبة مثل:

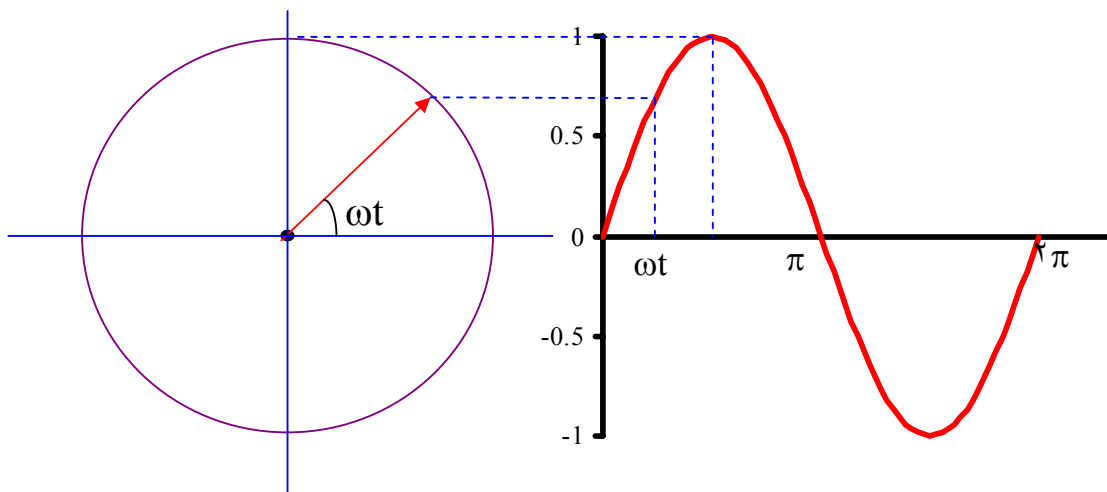
$$e_B = E_m \sin(\omega t + \psi) \quad (32-2)$$

♦ تعتبر زاوية الطور زاوية متأخرة إذا كانت إشارتها سالبة مثل:

$$e_C = E_m \sin(\omega t - \alpha) \quad (33-2)$$

٢- ٣- ٥ التمثيل الاتجاهي للموجة الجيبية Representation of Sine Wave

يمكن تمثيل الجهد المتردد الذي تمثله الموجة الجيبية بتمثيل آخر مكافئ وهو عبارة عن متجه ثابت القيمة قيمته E_m ويدور بسرعة زاوية ثابتة ω والزاوية المحصورة بين المحور السيني وهذا المتجه هي الزاوية ωt وكذلك إسقاطه هذا المتجه على المحور الصادي يمثل القيمة اللحظية للجهد المتردد كما هو مبين في شكل رقم (٢-١٧).



شكل رقم (٢-١٧) التمثيل الاتجاهي للموجة الجيبية.

٢- ٣- ٥- ١ التمثيل الرياضي للمتجهات Mathematical Representation of Vectors

يمكن تمثيل المتجهات بالطرق الآتية:

- ١ - صيغة الإحداثيات المتعامدة.
- ٢ - الصيغة المثلثية.
- ٣ - الصيغة الأسيّة.
- ٤ - الصيغة القطبية.

وفيما يلي سوف نتحدث باختصار عن بعضها:

(١) صيغة الإحداثيات المتعامدة:

أية كمية مركبة A يمكن تمثيلها على مستوى أرجاند على هيئة كمية حقيقة مضافة إلى كمية تخيلية كالتالي:

$$A = a_1 + ja_2 \quad (٣٤-٢)$$

حيث j هو وحدة اتجاهية وتعريفه كالتالي:

j : هو متجه مقداره الوحدة وهو ينطبق على المحور الصادي وقيمه $= \sqrt{-1}$

ولشرح هذا المستوى نتخيل الآتي:

تمثل الأعداد الحقيقة كنقط تقع على خط مستقيم يمتد من سالب ما لانهاية إلى ما لانهاية ماراً بالصفر كما هو مبين بشكل رقم (١٨-٢).



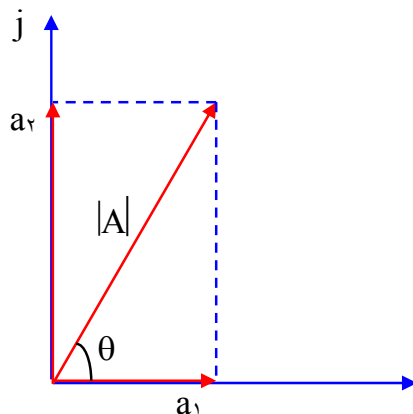
شكل رقم (١٨-٢) تمثيل الأعداد على مستوى أرجاند.

إذا فرضنا أن من صفر إلى ما لانهاية عبارة عن متجه ولتكن X ، فبضرب هذا المتجه في j مرتين

$$X \cdot j \cdot j = -X$$

وهو المتجه العكسي للمتجه الأول (صفر إلى $(-)$ ما لانهاية))

إذن بضرب العدد الصحيح في j مرتين، فإن العدد الصحيح يدور مرتين كل مرة بزاوية مقدارها ٩٠ درجة، وإذا ضرب في j مرة واحدة فإنه يدورمرة واحدة بزاوية مقدارها ٩٠ درجة. لهذا تمثل الكميات الحقيقة على المحور السيني وتمثل الكميات التخيلية على المحور الصادي وتمثل الكميات المركبة على المحورين السيني والصادي كما هو مبين بشك رقم (١٩-٢).



شكل رقم (٢ - ١٩) المحور الحقيقي والمحور التخييلي.

$$|A| = \sqrt{(a_1^2 + a_2^2)} \quad (35-2)$$

$$\theta = \tan^{-1} \left(\frac{a_2}{a_1} \right) \quad (36-2)$$

(٢) الصيغة المثلثية:

يمكن من نفس المستوى تمثيل المستوى بإحداثياته كالتالي:

$$a_1 = A \cos \theta \quad (37-2)$$

$$a_2 = A \sin \theta \quad (38-2)$$

إذن يمكن كتابة المعادلة: $A = a_1 + ja_2$ كالتالي:

$$\bar{A} = A \cos \theta + jA \sin \theta = A(\cos \theta + j \sin \theta) \quad (39-2)$$

(٣) الصيغة الأسيّة:

وهي الصيغة الرياضية الشهيرة:

$$e^{j\theta} = \cos \theta + j \sin \theta \quad (40-2)$$

وعلى هذا يمكن تمثيل المعادلة: $\bar{A} = A (\cos \theta + j \sin \theta)$ على الصورة:

$$\bar{A} = |A| e^{j\theta} \quad (41-2)$$

(٤) الصيغة القطبية:

يمكن وصف المتجه أيضاً كمقدار وزاوية:

$$\bar{A} = |A| \angle \theta \quad (42-2)$$

٢- ٣- ٥- بعض المبادئ البسيطة لرياضيات المتجهات

(١) جمع وطرح المتجهات

لو اعتبرنا أن هناك متجهان \bar{A} , \bar{B} وأن المتجه \bar{C} هو حاصل جمعهما وأن المتجه \bar{D} هو الفارق بينهما:

$$\bar{A} = a_1 + ja_2 \quad (43-2)$$

$$\bar{B} = b_1 + jb_2 \quad (44-2)$$

$$\bar{C} = c_1 + jc_2 \quad (45-2)$$

$$\bar{D} = d_1 + jd_2 \quad (46-2)$$

$$\bar{C} = \bar{A} + \bar{B} \quad (47-2)$$

$$\bar{D} = \bar{A} - \bar{B} \quad (48-2)$$

$$c_1 + jc_2 = a_1 + ja_2 + b_1 + jb_2 = (a_1 + b_1) + j(a_2 + b_2) \quad (49-2)$$

$$d_1 + jd_2 = (a_1 + ja_2) - (b_1 + jb_2) = (a_1 - b_1) + j(a_2 - b_2) \quad (50-2)$$

$$c_1 = a_1 + b_1 \quad (51-2)$$

$$c_2 = a_2 + b_2 \quad (52-2)$$

$$d_1 = a_1 - b_1 \quad (53-2)$$

$$d_2 = a_2 - b_2 \quad (54-2)$$

$$|C| = \sqrt{(a_1 + b_1)^2 + (a_2 + b_2)^2} \quad (55-2)$$

$$\theta_C = \tan^{-1} \frac{(a_2 + b_2)}{(a_1 + b_1)} \quad (56-2)$$

$$|D| = \sqrt{(a_1 - b_1)^2 + (a_2 - b_2)^2} \quad (57-2)$$

$$\theta_d = \tan^{-1} \frac{(a_2 - b_2)}{(a_1 - b_1)} \quad (58-2)$$

(٢) ضرب وقسمة المتجهات

يجب هنا أن ننوه أن في حالة الضرب والقسمة، فإن استخدام الصيغة القطبية أو الصيغة الأسيّة هي الأسهل في التعامل كثيراً عن سواها.

نفترض أن C هو حاصل ضرب $B \cdot A$:

$$C = A \cdot B = (a_1 + ja_2) \cdot (b_1 + jb_2) \quad (٥٩-٢)$$

$$= (a_1 b_1 - a_2 b_2) + j(a_1 b_2 + a_2 b_1) \quad (٦٠-٢)$$

$$|C| = \sqrt{[(a_1 b_1 - a_2 b_2)^2 + (a_1 b_2 + a_2 b_1)^2]} \quad (٦١-٢)$$

$$\theta_C = \tan^{-1} \frac{(a_1 b_2 + a_2 b_1)}{(a_1 b_1 - a_2 b_2)} \quad (٦٢-٢)$$

في حين أن استخدام الصورة القطبية أو الأسيّة تسهل كثيراً من عمليات الحل:

$$\bar{C} = \bar{A} \cdot \bar{B} = |A| \angle \theta_A \cdot |B| \angle \theta_B = |C| \angle \theta_C \quad (٦٣-٢)$$

$$|C| = |A| \cdot |B| \quad (٦٤-٢)$$

$$\angle \theta_C = \angle \theta_a + \angle \theta_b \quad (٦٥-٢)$$

أو بالصيغة الأسيّة:

$$\bar{C} = |A| e^{j\theta_a} \cdot |B| e^{j\theta_b} = |A| \cdot |B| e^{j(\theta_a + \theta_b)} = |C| e^{j\theta_c} \quad (٦٦-٢)$$

وكذلك في حالة القسمة:

$$\bar{D} = \frac{\bar{A}}{\bar{B}} \quad (٦٧-٢)$$

$$|D| = \frac{|A|}{|B|} \quad (٦٨-٢)$$

$$\angle \theta_d = \angle \theta_a - \angle \theta_b \quad (٦٩-٢)$$

تدريبات على الوحدة الثانية

أولاً: الأسئلة:

- (أ) اشرح مستعيناً بالرسم كيفية تركيز شدة المجال المغناطيسي داخل الملف
- (ب) اشرح مع الرسم قانون فارادي
- (ت) اشرح مع المعادلات نظرية عمل المولد الكهربائي
- (ث) بين كيفية توليد التيار المتردد
- (ج) اكتب معادلة القوة الدافعة الكهربائية للفين يدوران في مجال مغناطيسي تفصيلاًهما زاوية α .
- (ح) استنتج القيمة المتوسطة لكل من الموجة الجيبية الكاملة ونصف الموجة الجيبية
- (خ) استنتاج القيمة الفعالة للجهد الكهربائي الذي على شكل الموجة الجيبية
- (د) ارسم رسمياً تخطيطياً يبين التمثيل الاتجاهي للموجة الجيبية
- (ذ) اذكر الصيغ الشهيرة لتمثيل المتجهات رياضياً.

ثانياً: التمارين:

١. اجمع المتجهات الآتية:

- | | |
|---|--|
| $\overline{A} = 6 - j8$, $\overline{B} = 8 - j6$
$\overline{A} = 6 - j8$, $\overline{B} = 8 + j6$
$\overline{A} = 6 + j8$, $\overline{B} = 8 - j6$
$\overline{A} = 6 + j8$, $\overline{B} = 8 + j6$
$\overline{K} = 6 - j8$, $\overline{L} = -8 + j6$
$\overline{K} = -6 - j8$, $\overline{L} = -8 + j6$
$\overline{K} = -6 - j8$, $\overline{L} = -8 - j6$
$\overline{K} = -8 + j6$, $\overline{L} = -8 + j6$
$\overline{K} = -6 - j8$, $\overline{L} = 8 + j6$ | (أ)
(أ)
(ب)
(ت)
(ث)
(ج)
(ح)
(خ)
(د)
(ذ) |
|---|--|

٢. للمتجهات الآتية احسب $\overline{A} - \overline{B}$:

- | | |
|--|--------------------------|
| $\overline{A} = 6 - j8$, $\overline{B} = 8 - j6$
$\overline{A} = 6 - j8$, $\overline{B} = 8 + j6$
$\overline{A} = 6 + j8$, $\overline{B} = 8 - j6$
$\overline{A} = 6 + j8$, $\overline{B} = 8 + j6$ | (أ)
(ب)
(ت)
(ث) |
|--|--------------------------|

- $\bar{A} = 6 - j 8, \bar{B} = -8 + j 6$ (ج)
 $\bar{A} = -6 - j 8, \bar{B} = -8 + j 6$ (ح)
 $\bar{A} = -6 - j 8, \bar{B} = -8 - j 6$ (خ)
 $\bar{A} = -8 + j 6, \bar{B} = -8 + j 6$ (د)
 $\bar{A} = -6 - j 8, \bar{B} = 8 + j 6$ (ذ)

٣. حول المتجهات الآتية إلى الصورة القطبية:

- $\bar{A} = 6 - j 8$ (ب)
 $\bar{B} = 8 + j 6$ (ت)
 $\bar{B} = 8 - j 6 \quad \bar{A} = 6 + j 8$ (ث)
 $\bar{A} = -6 - j 8$ (ج)
 $\bar{B} = -8 - j 6$ (ح)
 $\bar{A} = -8 + j 6$ (خ)
 $\bar{A} = -6 + j 8,$ (د)

٤. حول المتجهات الآتية إلى صورة الإحداثيات المتعامدة:

- $\bar{A} = 10 \angle 30^\circ$ (أ)
 $\bar{A} = 10 \angle -30^\circ$ (ب)
 $\bar{A} = 10 \angle 60^\circ$ (ت)
 $\bar{A} = 10 \angle -60^\circ$ (ث)
 $\bar{A} = 10 \angle 36.87^\circ$ (ج)
 $\bar{A} = 10 \angle -36.87^\circ$ (ح)
 $\bar{A} = 10 \angle 53.13^\circ$ (خ)
 $\bar{A} = 10 \angle -53.13^\circ$ (د)

٥. احسب حاصل ضرب المتجهات الآتية:

- $\bar{A} = 10 \angle 30^\circ, \bar{B} = 10 \angle -30^\circ$ (أ)
 $\bar{A} = 10 \angle 30^\circ, \bar{B} = 10 \angle 60^\circ$ (ب)
 $\bar{A} = 10 \angle 30^\circ, \bar{B} = 10 \angle 0^\circ$ (ت)
 $\bar{A} = 10 \angle 0^\circ, \bar{B} = 10 \angle 0^\circ$ (ث)
 $\bar{A} = 10 \angle 120^\circ, \bar{B} = 10 \angle -60^\circ$ (ج)

٦. للتجهيزات الآتية احسب $\frac{\bar{A}}{\bar{B}}$

$$\bar{A} = 10 \angle 30^\circ, \bar{B} = 10 \angle -30^\circ \quad (\text{أ})$$

$$\bar{A} = 10 \angle 30^\circ, \bar{B} = 10 \angle 60^\circ \quad (\text{ب})$$

$$\bar{A} = 10 \angle 30^\circ, \bar{B} = 10 \angle 0^\circ \quad (\text{ت})$$

$$\bar{A} = 10 \angle 0^\circ, \bar{B} = 10 \angle 0^\circ \quad (\text{ث})$$

$$\bar{A} = 10 \angle 120^\circ, \bar{B} = 10 \angle -60^\circ \quad (\text{ج})$$

٧. للتجهيزات الآتية، احسب $\frac{\bar{B}}{\bar{A}}$

$$\bar{A} = 10 \angle 30^\circ, \bar{B} = 10 \angle -30^\circ \quad (\text{أ})$$

$$\bar{A} = 10 \angle 30^\circ, \bar{B} = 10 \angle 60^\circ \quad (\text{ب})$$

$$\bar{A} = 10 \angle 30^\circ, \bar{B} = 10 \angle 0^\circ \quad (\text{ت})$$

$$\bar{A} = 10 \angle 0^\circ, \bar{B} = 10 \angle 0^\circ \quad (\text{ث})$$

$$\bar{A} = 10 \angle 120^\circ, \bar{B} = 10 \angle -60^\circ \quad (\text{ج})$$



هندسة كهربائية - ٢

عناصر ودوائر التيار المتردد

الأهداف العامة للوحدة الثالثة

بعد الانتهاء من دراسة هذه الوحدة، يكون الطالب قادرًا على معرفة:

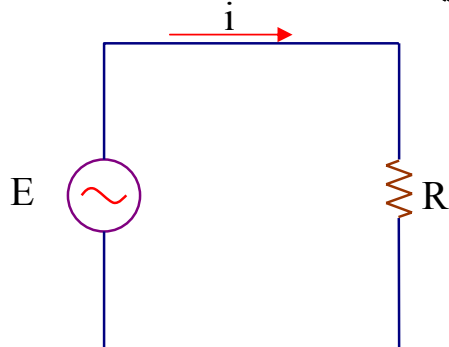
- عنصر المقاومة الأومية.
- الملف كعنصر فعال في الدائرة الكهربائية.
- حساب المفاعة الحية للملف.
- المكثف كعنصر فعال في الدائرة الكهربائية.
- شحن وتفریغ المكثف والعلاقات الزمنية لذلك.
- حساب المفاعة السعوية للمكثف.
- كيفية التعامل مع العناصر المختلفة في الدائرة الكهربائية باستخدام المعامل ζ .
- دوائر التوالى من مقاومات وملفات ومكثفات.
- دوائر التوازي من مقاومات وملفات ومكثفات.
- القدرة في دوائر التيار المتردد من قدرة فعالة وقدرة غير فعالة وقدرة ظاهرية.
- معامل القدرة في الدوائر الكهربائية العملية وكيفية تحسينه.

٣-١ مقدمة Introduction

لدراسة دوائر التيار المتردد لابد في البداية التعرض لدراسة سريعة لبعض العناصر المستخدمة في دوائر التيار المتردد، وفيما يلي سنورد أهم العناصر المستخدمة في دوائر التيار المتردد وكيفية التعامل معها في الدائرة.

٣-٢ عناصر التيار المتردد Basic Elements of A.C Circuits

٣-٢-١ عنصر المقاومة الأومية The Resistance



شكل رقم (٣ - ١) عنصر المقاومة الأومية في الدائرة الكهربائية.

في الدائرة المبينة بشكل رقم (٣ - ١)، حيث مصدر جهد متعدد يغذي فقط مقاومة أومية وعلى اعتبار مصدر الجهد ذا موجة جيبية:

$$E = E_m \sin \omega t \quad (3-1)$$

وبتطبيق قانون أوم:

$$E = E_m \sin \omega t = i \cdot R \quad (3-2)$$

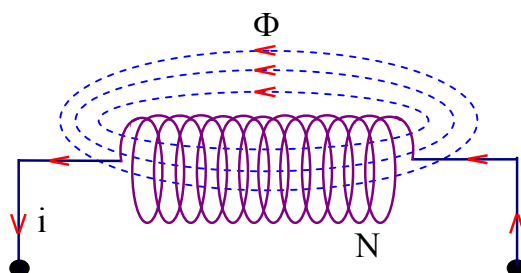
$$i = \left(\frac{E_m}{R} \right) \sin \omega t = I_m \sin \omega t \quad (3-3)$$

$$i = I_m \sin \omega t \quad (4-3)$$

يلاحظ من المعادلتين رقم (٣ - ١) ورقم (٣ - ٤) أن التيار والجهد لا يوجد بينهما أي اختلاف في زاوية الطور، أي أنهما في نفس الطور معاً أو متطابقان في زاوية الطور.

٣ - ٢- عنصر المفعالة الحثية للملف The Inductive Reactance

وجد أنه إذا مر تيار متردد في ملف، كما هو مبين بشكل رقم (٣ - ٢)، فإنه تتولد خطوط قوى مغناطيسية Φ متغيرة مع الزمن وذلك لأن التيار متغير مع الزمن ووجد أن حاصل ضرب هذه الخطوط Φ في عدد لفات الملف N تتناسب مع شدة التيار i ، كما يلي:



شكل رقم (٣ - ٢) المجال المغناطيسي المتولد عن الملف.

$$N\phi \propto i \quad (٥-٣)$$

$$N\phi = Li \quad (٦-٣)$$

حيث يسمى ثابت التتناسب بمعامل الحث الذاتي للملف L ويقاس بوحدة الهنري (Henry). وبتطبيق قانون فارادي:

$$E = -N \frac{d\phi}{dt} \quad (٧-٣)$$

$$\therefore N\phi = Li \quad (٨-٣)$$

$$\therefore N \frac{d\phi}{dt} = L \frac{di}{dt} \quad (٩-٣)$$

$$\therefore E = -N \frac{d\phi}{dt} = -L \frac{di}{dt} \quad (١٠-٣)$$

فإذا كان التيار المار في الملف: $i = I_m \sin(\omega t)$

إذن:

$$E = -L \frac{d}{dt} (I_m \cdot \sin(\omega t)) \quad (١١-٣)$$

$$E = -L \cdot I_m \cdot \omega \cdot \cos(\omega t) \quad (١٢-٣)$$

$$E = -I_m \cdot \omega \cdot L \cdot \sin(\omega t + 90^\circ) = E_m \cdot \sin(\omega t + 90^\circ) \quad (١٣-٣)$$

$$\frac{E_m}{I_m} = \omega \cdot L \quad (14-3)$$

يتضح من هذه المعادلات أن الملف الحثي له ما يشبه المقاومة في تعاملها (قانون أوم) حيث تسمى ωL في هذه الحالة المفاعةلة الحثية (Inductive Reactance)، وتقاس بوحدة الأوم (Ω)، ويلاحظ أن:

$$\omega L = 2\pi f L$$

ويلاحظ كذلك من المعادلات أنه في حالة الملف الحثي، فإن الجهد E يسبق التيار i بزاوية قدرها ٩٠ درجة.

ويلاحظ أن قيمة المفاعةلة دالة في التردد حيث:

$$\omega L = 2\pi f \cdot L \quad (15-3)$$

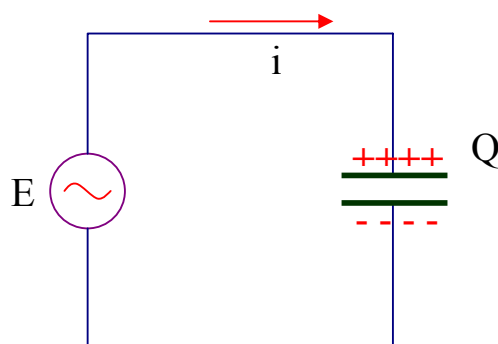
٣- ٢- ٣ عنصر المفاعةلة السعوية للمكثف The Capacitive Reactance

وجد أنه بوضع لوحين من المعدن في مواجهة بعضهما البعض ويفصل بينهما مسافة بها عازل، وتم توصيل مصدر للجهد بين هذين اللوحين كما هو مبين بشكل رقم (٣-٣)، فإن شحنة كهربائية تتكون على هذه القطبين، وتتناسب مع الجهد المطبق بينهما. أي أن:

$$Q \propto V \quad (16-3)$$

$$Q = CV \quad (17-3)$$

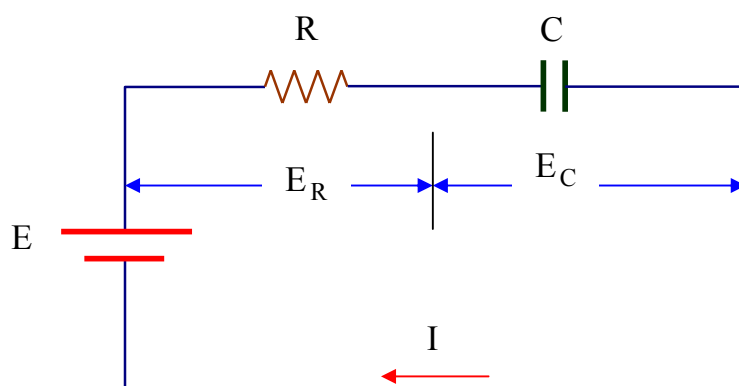
يسمى هذا النظام بالمكثف ويسمى ثابت التناوب C بسعة المكثف، وتقاس السعة بوحدات الفاراد Farad.



شكل رقم (٣-٣) عنصر المكثف في الدائرة الكهربائية.

٣- ٢- ١- شحن المكثف

إذا تم توصيل مصدر للجهد المستمر على التوالى مع مكثف C موصل على التوالى مع مقاومة R، كما هو مبين بشكل رقم (٢-٤)، يمر تيار كهربائى في الدائرة نتيجة تكثيف شحنة كهربائية موجبة على اللوح المتصل بالقطب الموجب للمصدر بينما تتكاثف شحنة كهربائية سالبة على اللوح المتصل بالقطب السالب للمصدر، ويبدأ وبالتالي بناء جهد كهربائي على المكثف، وتأخذ قيمة هذا الجهد في الارتفاع تدريجياً إلى أن تصل قيمته إلى قيمة جهد المصدر فتتوقف تكاثف الشحنات وبالتالي يتوقف التيار الكهربائي. ويمكن حساب تيار شحن المكثف والجهد المتكون بين قطبيه كالتالي:



شكل رقم (٢-٤) دائرة شحن المكثف

بتفاضل طرفي المعادلة رقم (٢-١٧) بالنسبة للزمن نحصل على معدل مرور الشحنة الكهربائية وهو ما يسمى بـ **تيار الكهربائي** كما يلي:

$$\frac{dQ}{dt} = C \frac{dV_C}{dt} = I \quad (18-3)$$

وبتطبيق قانون كيرشوف للجهود على الدائرة الكهربائية (راجع منهاج هندسة كهربائية ١-١)، نحصل على الآتي:

$$V_C = E - I \cdot R = E - C \frac{dV_C}{dt} \cdot R = E - RC \frac{dV_C}{dt} \quad (19-3)$$

$$\therefore V_C + RC \frac{dV_C}{dt} = E \quad (20-3)$$

نلاحظ أن المعادلة رقم (٢٠-٣)، هي معادلة زمنية من الرتبة الأولى، وحلها الرياضي القياسي على الصورة التالية:

$$V_C = E \cdot \left(1 - e^{-\frac{t}{RC}} \right) \quad (21-3)$$

وبالعودة لشكل رقم (٣ - ٤)، يمكن حساب قيمة التيار كالتالي:

$$I_C = \frac{(E - V_C)}{R} = \frac{\left(E - E \cdot \left(1 - e^{-\frac{t}{RC}} \right) \right)}{R} \quad (22-3)$$

$$\therefore I_C = \frac{E}{R} \left(e^{-\frac{t}{RC}} \right) \quad (23-3)$$

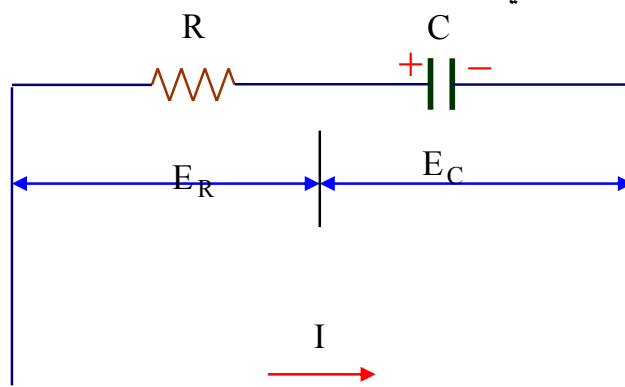
حيث :

I_C : تيار شحن المكثف

$RC = \tau$: ويسمى ثابت الزمن

٣ - ٢ - ٣ - تفريغ المكثف

إذا تم فصل مصدر الجهد المستمر عن الدائرة السابقة وعمل دائرة قصر بين أطراف الدائرة، كما هو مبين بشكل رقم (٣ - ٥)، يمر تيار كهربائي في الدائرة نتيجة تفريغ الشحنة الكهربائية للمكثف في المقاومة الكهربائية. ويبدأ وبالتالي انخفاض الجهد الكهربائي على المكثف، وتأخذ قيمة التيار في الانخفاض تدريجياً إلى أن تصل قيمة كل منها إلى الصفر. ويمكن حساب تيار تفريغ المكثف والجهد بينقطبيه كالتالي:



شكل رقم (٣ - ٥) دائرة تفريغ المكثف

$$V_C + I_d \cdot R = 0 \quad (24-3)$$

حيث التيار I_d هو تيار تفريغ المكثف، ويمكن وضعه على الصورة الآتية:

$$I_d = -C \frac{dV_C}{dt} \quad (25-3)$$

وبالتعويض في المعادلة رقم (٣ - ٢٤)، نحصل على الآتي:

$$V_C - RC \frac{dV_C}{dt} = 0 \quad (26-3)$$

نلاحظ أن المعادلة رقم (٣ - ٢٦)، هي معادلة زمنية من الرتبة الأولى، وحلها الرياضي القياسي على الصورة التالية:

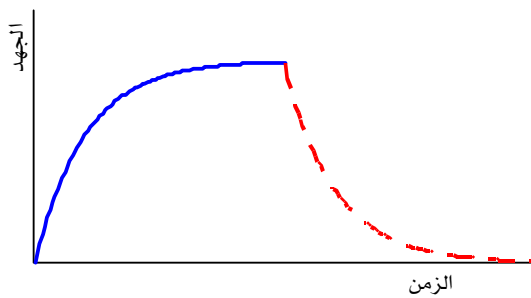
$$V_C = V_{Ci} \cdot \left(e^{-\frac{t}{RC}} \right) \quad (27-3)$$

حيث V_{Ci} هو الجهد الواقع على المكثف عند بداية التفريغ ومن المعادلة رقم (٣ - ٢٤) يمكن حساب تيار تفريغ المكثف I_d كالتالي:

$$I_d = -\frac{V_C}{R} = -\frac{V_{Ci}}{R} \cdot \left(e^{-\frac{t}{RC}} \right) \quad (28-3)$$

ويلاحظ هنا أن الإشارة السالبة تعني أن تيار التفريغ في عكس اتجاه تيار الشحن.

ويبين شكل رقم (٣ - ٦)، منحنى تغير الجهد على أطراف المكثف أثناء الشحن مع الزمن (الخط المستمر)، وكذلك منحنى تغير الجهد على أطراف المكثف أثناء التفريغ (الخط المتقطع).



شكل رقم (٣ - ٦) منحنى تغير الجهد على أطراف المكثف أثناء الشحن والتفريغ

مثال رقم (١ - ٣)

لدائرة شحن مكثف قيمة سعته $\mu F_{٥٠}$ ، إذا كان جهد المصدر يساوي $V_{١٢}$ وكانت قيمة المقاومة المتوازية $k\Omega_{٢}$ ، احسب: الثابت الزمني τ ، قيمة جهد المكثف وقيمة تيار الشحن بعد $٢٠ msec$. وإذا تم

فصل دائرة شحن المكثف عند هذه اللحظة، وبدأ المكثف في التفريغ في نفس المقاومة بعد نزع مصدر الجهد وغلق الدائرة الكهربائية، احسب جهد المكثف وتيار التفريغ بعد 10 msec من بدأ التفريغ.

الحل

نحسب الثابت الزمني τ ، كما يلي:

$$\tau = R \cdot C = 0.1 \text{ sec}$$

نحسب جهد المكثف بعد زمن قدره 20 msec ، كما يلي:

$$V_C = E \cdot \left(1 - e^{-t/\tau} \right) = 12 \text{ V} \cdot \left(1 - e^{-0.020/0.1} \right) = 2.175 \text{ V}$$

نحسب تيار شحن المكثف بعد زمن قدره 20 msec ، كما يلي:

$$\therefore I_C = \frac{E}{R} \left(e^{-t/\tau} \right) = \frac{12 \text{ V}}{2000 \Omega} \left(e^{-0.020/0.1} \right) = 4.91 \text{ mA}$$

نحسب جهد المكثف بعد 10 msec من بداية عملية التفريغ، كما يلي:

$$V_C = V_{Ci} \cdot \left(e^{-t/\tau} \right) = 2.175 \text{ V} \cdot \left(e^{-0.010/0.1} \right) = 1.97 \text{ V}$$

$$I_d = -\frac{V_{Ci}}{R} \cdot \left(e^{-t/\tau} \right) = -\frac{2.175 \text{ V}}{2000} \cdot \left(e^{-0.010/0.1} \right) = -0.98 \text{ mA}$$

٣- ٣- ٣- المكثف كعنصر فعال في دوائر التيار المتردد

وجد أنه إذا كان الجهد المطبق على المكثف جهداً متارداً، فإن الشحنة المتكونة تتغير من لوح آخر حسب قطبية الجهد المطبق ويستمر شحن المكثف وتفريغه، وهذا يعني أن التيار يسري بين اللوحين حسب العلاقة الآتية:

$$i = \frac{dQ}{dt} = C \frac{dV}{dt} \quad (29-3)$$

وهكذا إذا كان الجهد المطبق على المكثف: $v = V_m \sin \omega t$ ، فإن التيار الذي يسري بين

اللوحين هو:

$$i = C \frac{dv}{dt} = C \cdot V_m \cdot \frac{d}{dt} (\sin \omega t) \quad (30-3)$$

$$i = C \cdot V_m \cdot \omega \cdot \cos \omega t = \omega \cdot C \cdot V_m \cdot \sin(\omega t + 90^\circ) \quad (31-3)$$

وعلى ذلك يكون التيار على الصورة:

$$i = I_m \cdot \sin(\omega t + 90^\circ) \quad (32-3)$$

حيث:

$$I_m = V_m \cdot \omega C \quad (33-3)$$

وعلى ذلك يكون:

$$\frac{V_m}{I_m} = \frac{1}{\omega C} \quad (34-3)$$

إذن هناك مفألة تشبه المقاومة في تعاملها (قانون أوم)، حيث تسمى $\frac{1}{\omega C}$ في هذه الحالة بالمفألة السعوية (Capacitive Reactance)، وتقيس بوحدة الأوم (Ω)، ويلاحظ أن:

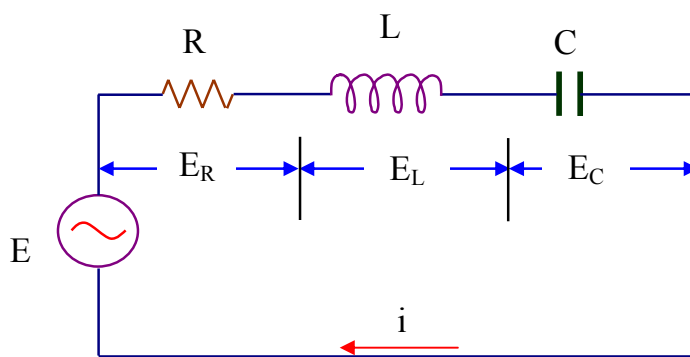
$$\frac{1}{\omega C} = \frac{1}{2\pi f C} \quad (35-3)$$

في هذه الحالة يكون التيار متقدماً على الجهد أي يسبق الجهد بزاوية قدرها 90° .

٣- ٣- دوائر التيار المتردد

٣- ٣- ١- استخدام المعامل j في الدائرة الكهربائية

نفترض أن تياراً مقداره i مر في مقاومة R متصلة على التوالي مع ملف ذي معامل حث ذاتي L ومكثف ذي سعة C ، كما هو موضح بشكل رقم (٣-٧).



شكل رقم (٣-٧) على التوالي في دائرة كهربائية.

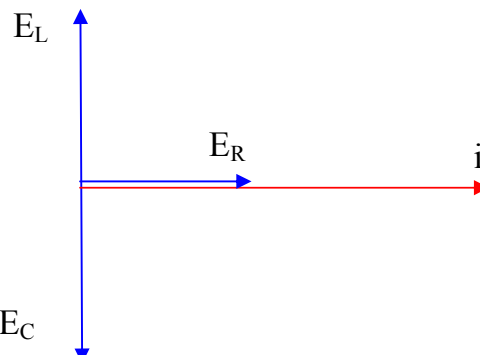
نفرض أن:

فرق الجهد على R هو: $E_r = i \cdot R$ ، ويقاس بوحدة الفولت (volt).

فرق الجهد على L هو: $E_L = i \cdot \omega L$ ، ويقاس بوحدة الفولت (volt)

فرق الجهد على C هو: $E_C = \frac{i}{\omega C}$ ، ويقاس أيضاً بوحدة الفولت (volt)

إذا اعتبرنا أن التيار المار بالدائرة هو الدليل (لأنه يسري في العناصر الثلاثة)، نجد أن: $i = L \cdot \omega$ ، يقدم بزاوية 90° على التيار i كما هو موضح بشكل رقم (٣-٨)، أي أنه يمكن استخدام المعامل j لإعادة كتابة المعادلة كالتالي:



شكل رقم (٣-٨) علاقات متجهات الجهد على المقاومة والملف والمكثف في دائرة التوالي.

$$E_L = j\omega L \cdot i \quad (36-3)$$

حيث بضرب التيار i في $j\omega L$ يدور هذا المتجه بمقدار 90° فيصل إلى E_L وكذلك بضرب التيار i

في $j\omega C$ يدور هذا المتجه بمقدار 90° ليصل إلى E_C .

وبالتالي يمكن كتابة معادلة مكونات الدائرة الكهربائية السابقة كالتالي:

$$R + j\omega L - \frac{j}{\omega C} = R + j\left(\omega L - \frac{1}{\omega C}\right) \quad (37-3)$$

تسمى هذه التركيبة من مقاومات وفاعلات بالمعاوة ويرمز لها بالرمز Z ويرمز للمفأة بالرمز

X ويرمز للمقاومة بالرمز R .

$$\bar{Z} = R + jX \quad (38-3)$$

وهكذا يمكن حساب كل من قيمة وزاوية المعاوة Z كالتالي:

$$|Z| = \sqrt{(R^2 + X^2)} \quad (39-3)$$

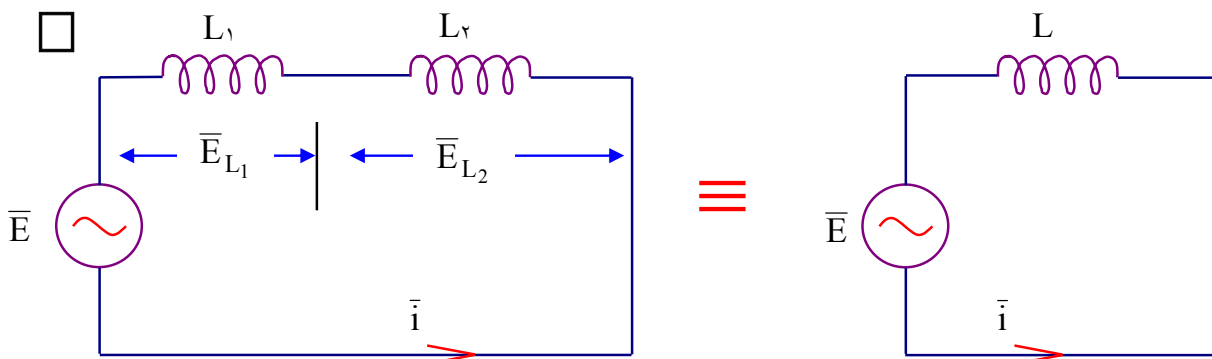
$$\theta_Z = \tan^{-1} \frac{X}{R} \quad (40-3)$$

٣- ٣- ٢- التوصيل على التوالي

٣- ٣- ١- توصيل الملفات على التوالي

توضح الدائرة الكهربائية في شكل رقم (٩-٣) كيفية توصيل ملفين على التوالي، ويمكن

حساب المقاومة المكافئة X_L كالتالي:



شكل رقم (٩-٣) المقاولة المكافئة لملفين متصلين على التوالي

$$X_L = j\omega L = j\omega L_1 + j\omega L_2 = j\omega (L_1 + L_2) \quad (٤١-٣)$$

$$\therefore L = (L_1 + L_2) \quad (٤٢-٣)$$

وهذا يوضح أن توصيل الملفات على التوالي يماثل توصيل المقاومات على التوالي، حيث أن مجموع المقاولات على التوالي هو حاصل جمعهما.

مثال رقم (٣-٢)

احسب قيمة معامل الحث الذاتي المجموع لملفين متصلين على التوالي إذا كانت قيمة أحدهما 5 mH وقيمة الآخر 7 mH .

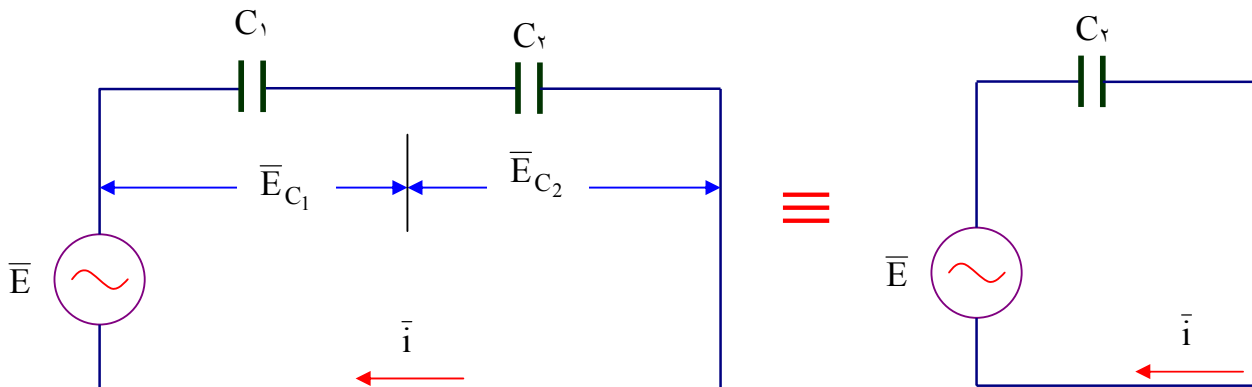
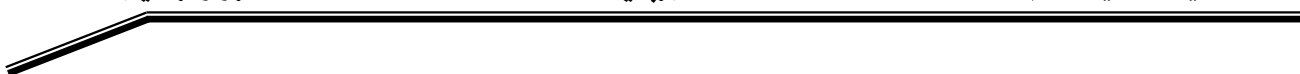
الحل

طبقاً للمعادلة رقم (٤٢-٣)، يمكن حساب قيمة معامل الحث الذاتي المجموع كما يلي:

$$\therefore L = (L_1 + L_2) = 5 \text{ mH} + 7 \text{ mH} = 12 \text{ mH}$$

٣- ٣- ٢- توصيل المكثفات على التوالي

توضح الدائرة الكهربائية في شكل رقم (١٠-٣) كيفية توصيل مكثفين على التوالي، ويمكن حساب المقاولة المكافئة X_C كالتالي:



شكل رقم (٣-٤٠) المفألة المكافئة لمكثفين متصلين على التوالي

$$X_C = -j \left(\frac{1}{\omega C} \right) = \left(-j \frac{1}{\omega C_1} \right) + \left(-j \frac{1}{\omega C_2} \right) = -j \left(\frac{1}{\omega C_1} + \frac{1}{\omega C_2} \right) \quad (٤٣-٣)$$

أي أن:

$$\left(\frac{1}{C} \right) = \left(\frac{1}{C_1} + \frac{1}{C_2} \right) \quad (٤٤-٣)$$

$$C = \left(\frac{C_1 \cdot C_2}{C_1 + C_2} \right) \quad (٤٥-٣)$$

من المعادلة رقم (٤٥-٣) يتضح أن توصيل المكثفات على التوالي يماثل توصيل المقاومات على التوازي.

مثال رقم (٣-٣)

احسب قيمة السعة المحصلة لمكثفين متصلين على التوالي إذا كانت قيمة أحدهما $100 \mu F$ وقيمة الآخر $25 \mu F$.

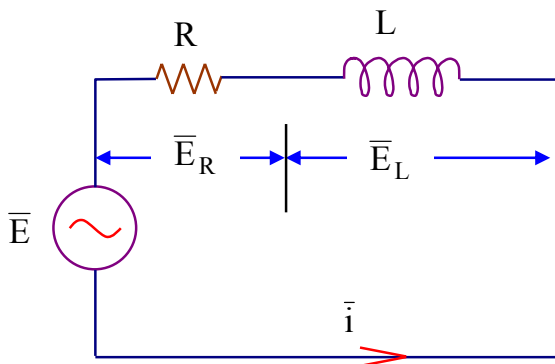
الحل

طبقاً للمعادلة رقم (٤٥-٣)، يمكن حساب قيمة معامل السعة المحصلة كما يلي:

$$C = \left(\frac{C_1 \cdot C_2}{C_1 + C_2} \right) = \frac{100 \mu F \cdot 25 \mu F}{100 \mu F + 25 \mu F} = 20 \mu F$$

٣- ٣- ٣- مقاومة موصولة على التوالى مع مقاومة حثية RL Series Circuit

توضح الدائرة الكهربائية في شكل رقم (٣-١١) كيفية توصيل ملف ومقاومة على التوالى، ويمكن حساب قيمة زاوية المعاوقة Z كالتالى:



شكل رقم (٣-١١) ملف ومقاومة على التوالى في دائرة كهربائية.

$$\bar{Z} = R + j\omega L \quad (46-3)$$

$$|Z| = \sqrt{(R^2 + (\omega L)^2)} \quad (47-3)$$

$$\angle \theta_Z = \tan^{-1} \frac{\omega L}{R} \quad (48-3)$$

ويلاحظ من المعادلة رقم (٣-٤٨) أن الزاوية θ_Z زاوية موجبة. ويمكن حساب التيار \bar{i} كما يلى:

$$\bar{i} = \frac{\bar{E}}{\bar{Z}} = \frac{|E| \angle \theta_E}{|Z| \angle \theta_Z} = |i| \angle \theta_i \quad (49-3)$$

حيث إن:

$$|i| = \frac{|E|}{|Z|} = \frac{|E|}{\sqrt{(R^2 + \omega^2 L^2)}}, \quad (50-3)$$

$$\angle \theta_i = \angle \theta_E - \angle \theta_Z \quad (51-3)$$

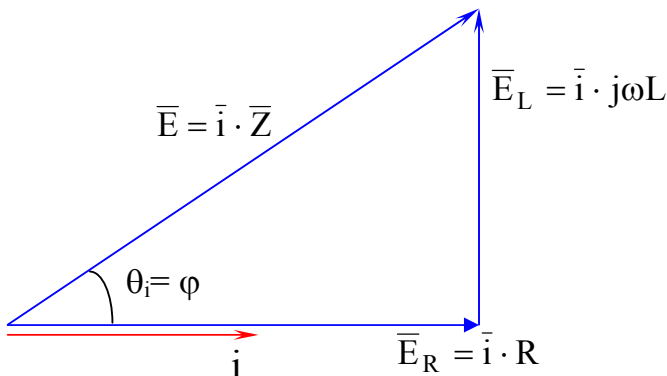
وعادة يؤخذ الجهد كمرجع (دليل) في مثل هذه الحالة ويكتب على الصورة:

$$\bar{E} = |E| \angle 0 \quad (52-3)$$

وعلى ذلك تكون زاوية التيار:

$$\angle \theta_i = \angle 0 - \angle \theta_Z = \angle -\theta_Z = \angle \varphi \quad (53-3)$$

حيث φ هي الزاوية التي تفصل بين اتجاه الجهد واتجاه التيار وتسمى أيضاً زاوية القدرة (كما سيأتي شرحه فيما بعد)، ويلاحظ أن زاوية التيار سالبة، مما يعني أن التيار يتأخر عن الجهد. ويمكن رسم المخطط الاتجاهي للدائرة كما هو مبين بشكل رقم (٣ - ١٢).



شكل رقم (٣ - ١٢) علاقات متجهات الجهد على المقاومة والملف في دائرة التوالي.

حيث :

$$\bar{E} = \bar{E}_R + \bar{E}_L \quad (٥٤-٣)$$

$$\bar{E} = \bar{i} \cdot R + \bar{i} \cdot j\omega L = \bar{i} \cdot (R + j\omega L) = \bar{i} \cdot \bar{Z} \quad (٥٥-٣)$$

مثال (٣ - ٤)

مقاومة أومية مقدارها $\Omega = ٥$ موصولة على التوالي مع ملف ذي معامل حث ذاتي $L = ٠.٠١$ Henry تغذيتهما من مصدر جهد متعدد: $|e| = ٢٠٠$ volts ويتعدد: $f = ٥٠$ Hz يتم

احسب:

(١) التيار المار فيهما.

(٢) الجهد على كل عنصر.

الحل

(١) لحساب التيار: نبدأ بحساب السرعة الزاوية ω :

$$\omega = 2\pi f$$

$$\omega = 2 \times 3.14 \times 50 = 314 \text{ rad/sec}$$

ثم نحسب المفاعة الحثية X_L كما يلي:

$$X_L = \omega \times L$$

$$X_L = 314 \times 0.01 = 3.14 \Omega$$

ثم نحسب المعاوقة الكلية Z كما يلي:

$$|Z| = \sqrt{5^2 + (3.14)^2} = 5.9 \Omega$$

$$\theta_Z = \tan^{-1}\left(\frac{3.14}{5}\right) = 32.13^\circ$$

ثم نحسب قيمة التيار i كما يلي:

$$\bar{i} = \frac{\bar{e}}{\bar{Z}}$$

وبأخذ الجهد كدليل (مرجع)، يمكن اعتبار زاويته تساوي 0° وتحسب قيم الزوايا الأخرى منسوبة إليه كالتالي:

$$\bar{i} = \frac{200 V \angle 0^\circ}{5.9 \Omega \angle 32.13^\circ} = 33.9 A \angle -32.13^\circ$$

ويلاحظ هنا أن التيار يتأخر عن الجهد بزاوية قدرها 32.13° ، حيث زاوية الجهد تساوي 0° بينما زاوية التيار تساوي 32.13° ، والإشارة السالبة هنا تعني تأخر التيار عن الجهد.

(٣) لحساب الجهد على كل عنصر:

♦ الجهد على المقاومة:

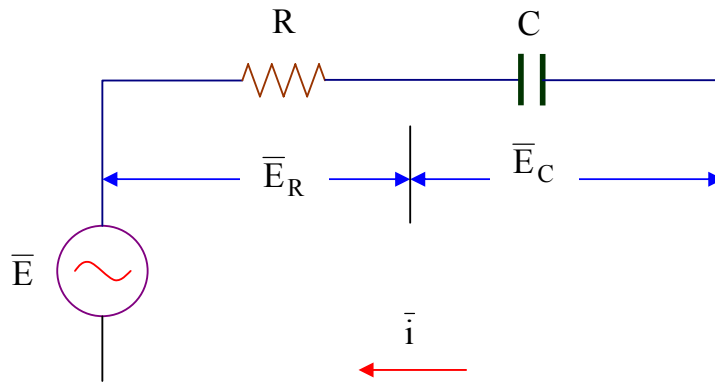
$$\bar{E}_R = \bar{i} \cdot R = 33.9 A \angle -32.13^\circ \cdot 5 \Omega = 169.5 V \angle -32.13^\circ$$

♦ الجهد على الملف:

$$\bar{E}_L = \bar{i} \cdot \bar{X}_L = 33.9 A \angle -32.13^\circ \cdot 3.14 \Omega \angle 90^\circ = 106.45 V \angle 57.87^\circ$$

٣- ٣- ٤- مقاومة موصولة على التوالى مع مفأولة سعوية RC series Circuit

شكل رقم (٣-١٣) يوضح دائرة كهربائية لمقاومة ومكثف موصلين على التوالى، ومنها نجد أن:



شكل رقم (٣ - ١٣) مقاومة ومكثف على التوالى في دائرة كهربائية.

$$\bar{Z} = R - j \frac{1}{\omega C} \quad (٥٦-٣)$$

$$|Z| = \sqrt{R^2 + \left(\frac{1}{\omega C}\right)^2} \quad (٥٧-٣)$$

$$\angle \theta_Z = \tan^{-1} \left(\frac{-1}{\omega CR} \right) \quad \text{زاوية سالبة} \quad (٥٨-٣)$$

ويمكن حساب التيار \bar{i} كما يلي:

$$\bar{i} = \frac{\bar{E}}{\bar{Z}} = \frac{|E| \angle \theta_E}{|Z| \angle \theta_Z} = \frac{|E| \angle \theta_E}{\left(\sqrt{R^2 + \left(\frac{1}{\omega C}\right)^2} \right) \angle \theta_Z} = |i| \angle \theta_i \quad (٥٩-٣)$$

حيث إن:

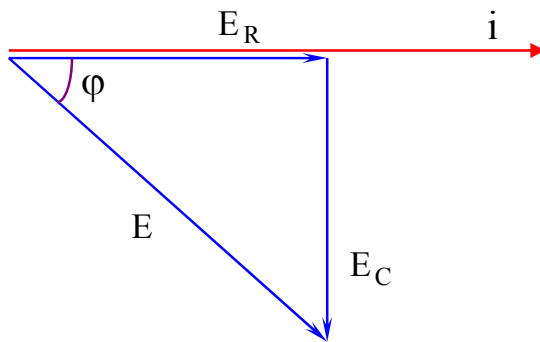
$$|i| = \frac{|E|}{|Z|} = \frac{|E|}{\left(\sqrt{R^2 + \left(\frac{1}{\omega C}\right)^2} \right)} \quad (٦٠-٣)$$

$$\theta_i = \theta_E - \theta_Z \quad (٦١-٣)$$

إذا كان الجهد هو المرجع (الدليل) فإن زاويته تساوي 0° ، وعلى ذلك:

$$\theta_i = 0^\circ - \theta_Z = \varphi \quad (٦٢-٣)$$

بما أن الزاوية θ_Z سالبة، إذن زاوية التيار تكون موجبة، وهذا يعني أن التيار يسبق الجهد. وبذلك يمكن رسم المخطط الاتجاهي كما هو موضح بالشكل رقم (٣ - ١٤).



شكل رقم (٣ - ١٤) علاقات متجهات الجهد على المقاومة والمكثف في دائرة التوالي.

حيث:

$$\bar{E} = \bar{E}_R + \bar{E}_C \quad (٦٣-٣)$$

$$\bar{E}_R = \bar{i} \cdot R \quad (٦٤-٣)$$

$$\bar{E}_C = \bar{i} \cdot \left(\frac{-j}{\omega C} \right) \quad (٦٥-٣)$$

$$\bar{E} = \bar{i} \cdot R - \bar{i} \cdot \left(\frac{j}{\omega C} \right) \quad (٦٦-٣)$$

$$\bar{E} = \bar{i} \cdot \left(R - j \frac{1}{\omega C} \right) = \bar{i} \cdot \bar{Z} \quad (٦٧-٣)$$

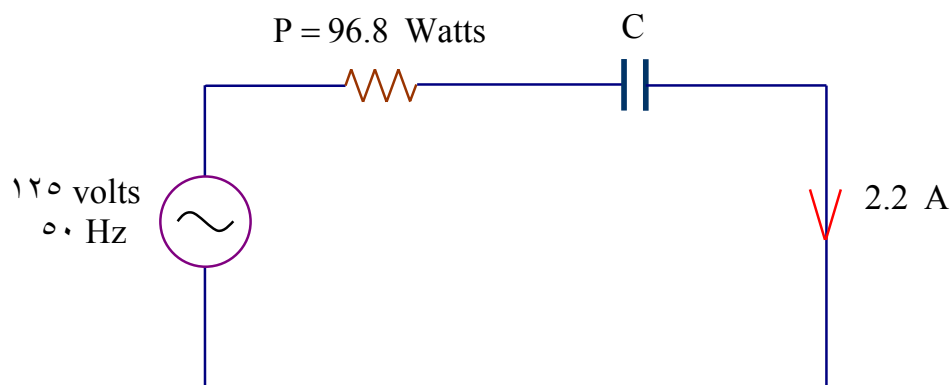
$$|E| = |i| \bullet |Z| \quad (٦٨-٣)$$

$$|E| = |i| \bullet \sqrt{\left(R^2 + \left(\frac{1}{\omega C} \right)^2 \right)} \quad (٦٩-٣)$$

$$|E| = \sqrt{\left(|i|^2 R^2 + |i|^2 \bullet \left(\frac{1}{\omega C} \right)^2 \right)} = \sqrt{|E_R|^2 + |E_C|^2} \quad (٧٠-٣)$$

مثال (٣ - ٥)

سلط جهد مقداره ١٢٥ volts على دائرة كهربائية مكونة من مقاومة ومكثف متصلة على التوالي، كما هو مبين بشكل رقم (٣ - ١٥)، فإذا كان التيار المار في هذه الدائرة يساوي ٢.٢ Amp. احسب قيمة المقاومة وسعة المكثف ورسم الرسم التخطيطي الاتجاهي.



شكل رقم (٣ - ١٥) الدائرة الكهربائية للمثال رقم (٣ - ٥).

الحل

$$P = i^2 R$$

$$R = \frac{P}{i^2} = \frac{96.8}{2.2^2} = 20 \Omega$$

$$E_R = iR = 2.2 \times 20 = 44 \text{ volts}$$

$$E_C = \sqrt{E^2 - E_R^2} = \sqrt{(125)^2 - (44)^2} = 117 \text{ volts}$$

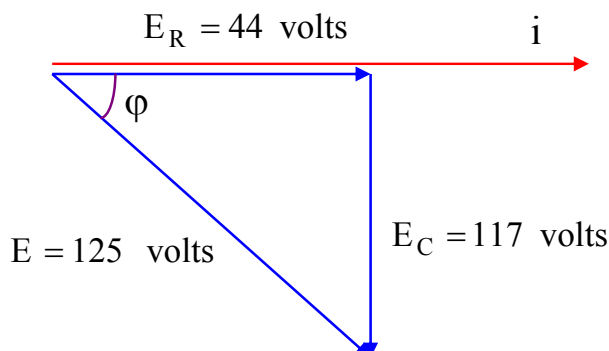
$$E_C = i \bullet X_C$$

$$X_C = \frac{117}{2.2} = 53.2 \Omega$$

$$X_C = 53.2 = \frac{1}{\omega C} = \frac{1}{2\pi f \cdot C} = \frac{1}{2 \times 3.14 \times 50 \times C}$$

$$C = 60 \times 10^{-6} \text{ Farad}$$

وشكل رقم (٣ - ١٦) يبين الرسم التخطيطي الاتجاهي.

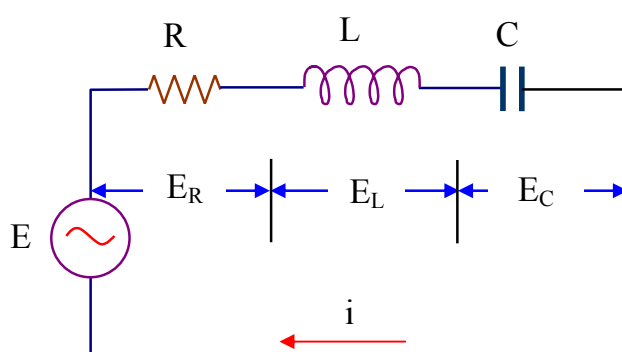


شكل رقم (٣ - ١٦) علاقات متجهات الجهد على المقاومة والمكثف للمثال رقم (٣ - ٥).

٣ - ٣ - ٥ - مقاومة موصولة على التوالي مع مفاعة حثية وعلى التوالي مع مفاعة سعوية

RLC Series Circuit

نفترض الآن دائرة مكونة من مصدر جهد لليار المتردد على التوالي مع عنصر مقاومة أومية R على التوالي مع ملء ذي معامل ωL على التوالي مع مكثف ذي سعة C كما هو مبين بشكل رقم (٣ - ١٧)، فيسري تيار i في الدائرة، وهذا التيار يمر في العناصر الثلاثة (توصيل توالي) ويكون مجموع الجهدات المتكونة على العناصر الثلاثة (الانخفاض في الجهد) مساوياً لجهد المصدر (قانون كيرشوف للجهود). وعلى هذا يمكن حساب المعاوقة الكلية \bar{Z} كما يلي:



شكل رقم (٣ - ١٧) على التوالي في دائرة كهربائية.

$$\bar{Z} = \left(R + j\omega L - j \frac{1}{\omega C} \right) = R + j \left(\omega L - \frac{1}{\omega C} \right) \quad (٧١-٣)$$

$$|\bar{Z}| = \sqrt{\left(R \right)^2 + \left(\omega L - \frac{1}{\omega C} \right)^2} \quad (٧٢-٣)$$

$$\angle \theta_Z = \tan^{-1} \left(\frac{\left(\omega L - \frac{1}{\omega C} \right)}{R} \right) = \tan^{-1} \left(\frac{\omega^2 LC - 1}{\omega CR} \right)$$

(٧٣-٣)

ويمكن حساب التيار كالتالي:

$$\bar{i} = \frac{E \angle 0^\circ}{|Z| \angle \theta_Z} = \frac{E}{|Z|} \angle -\theta_Z^\circ$$

(٧٤-٣)

$$\bar{i} = \frac{E}{\sqrt{(R)^2 + \left(\omega L - \frac{1}{\omega C} \right)^2}} \angle -\tan^{-1} \left(\frac{\omega^2 LC - 1}{\omega CR} \right)$$

(٧٥-٣)

ويمكن حساب الجهد على العناصر الثلاثة كالتالي:

$$\bar{E}_R = \frac{E \cdot R}{\sqrt{(R)^2 + \left(\omega L - \frac{1}{\omega C} \right)^2}} \angle -\tan^{-1} \left(\frac{\omega^2 LC - 1}{\omega CR} \right)$$

(٧٦-٣)

$$\bar{E}_L = \bar{i} \cdot j\omega L = \bar{i} \cdot X_L$$

(٧٧-٣)

$$\bar{E}_L = \frac{E \cdot \omega L}{\sqrt{(R)^2 + \left(\omega L - \frac{1}{\omega C} \right)^2}} \angle 90^\circ - \tan^{-1} \left(\frac{\omega^2 LC - 1}{\omega CR} \right)$$

(٧٨-٣)

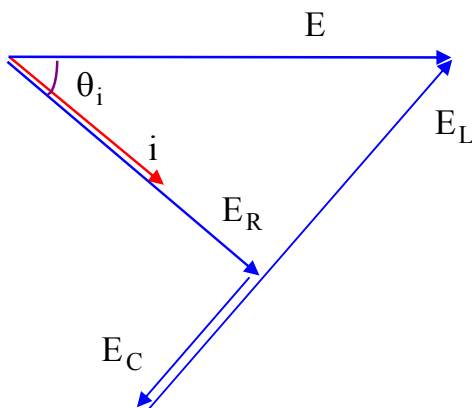
$$\bar{E}_C = -\bar{i} \cdot j \frac{1}{\omega C} = -\bar{i} \cdot X_C$$

(٧٩-٣)

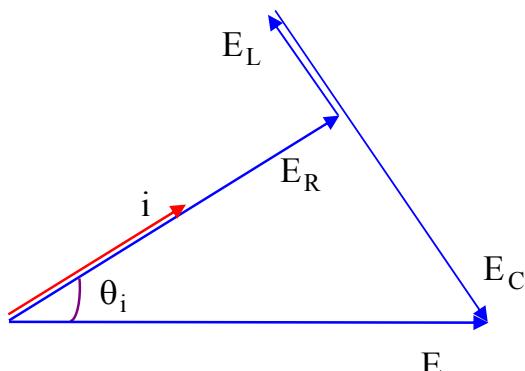
$$\bar{E}_C = \frac{(E/\omega C)}{\sqrt{(R)^2 + \left(\omega L - \frac{1}{\omega C} \right)^2}} \angle -90^\circ - \tan^{-1} \left(\frac{\omega^2 LC - 1}{\omega CR} \right)$$

(٨٠-٣)

شكل رقم (٣ - ١٨) يبين الرسم التخطيطي الاتجاهي في حالة ($X_L < X_C$) وكذلك في حالة ($X_C < X_L$)



شكل رقم (٣ - ١٨ - ب) : ($X_C < X_L$)

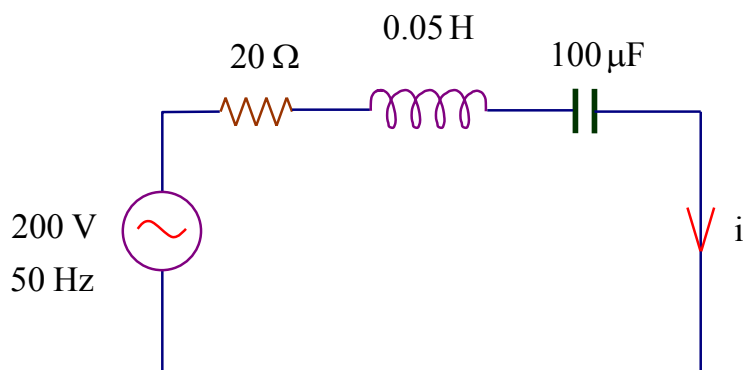


شكل رقم (٣ - ١٨ - ج) : ($X_L < X_C$)

مثال (٣ - ٦)

مكثف ذو سعة $100 \mu F$ متصل على التوالي بمقاومة مقدارها 20Ω وملف ذي معامل حث ذاتي $L = 0.05 H$ ، كما هو مبين بشكل رقم (٣ - ١٩). احسب المعاوقة الكلية لهذه الدائرة عندما يكون التردد $50 Hz$ ، وكذلك التيار الكلي عند تغذيتها بجهد 200 volts. ارسم كذلك المخطط الاتجاهي.

الحل



شكل رقم (٣ - ١٩) الدائرة الكهربائية للمثال رقم (٣ - ٦).

$$\omega = 2\pi f = 2 \times 3.14 \times 50 = 314 \text{ rad/sec}$$

$$X_L = \omega L = 314 \times 0.05 = 15.7 \Omega$$

$$X_C = \frac{1}{\omega C} = \frac{1}{(314 \times 100 \times 10^{-6})} = 31.84 \Omega$$

$$\bar{Z} = 20 + j(15.7 - 31.84) = 20 - j16.14$$

$$|Z| = \sqrt{(20)^2 + (16.14)^2} = 25.7 \Omega$$

$$\theta_Z = \tan^{-1}\left(\frac{-16.14}{20}\right) = -38.9^\circ$$

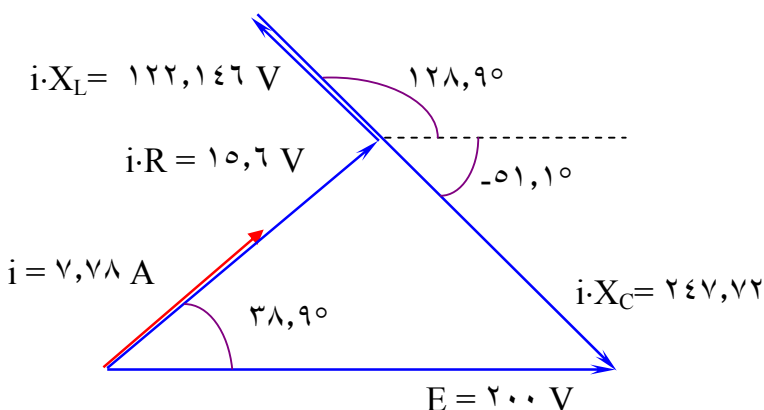
$$\bar{i} = \frac{\bar{E}}{\bar{Z}} = \frac{200 \text{ V} \angle 0^\circ}{25.7 \Omega \angle -38.9^\circ} = 7.78 \angle 38.9^\circ \text{ Amp.}$$

$$\bar{E}_R = \bar{i} \cdot R = 7.78 \text{ A} \angle 38.9^\circ \bullet 20 \Omega = 155.6 \text{ V} \angle 38.9^\circ$$

$$\bar{E}_L = \bar{i} \cdot X_L = 7.78 \text{ A} \angle 38.9^\circ \bullet 15.7 \Omega \angle 90^\circ = 122.146 \text{ V} \angle 128.9^\circ$$

$$\bar{E}_C = \bar{i} \cdot X_C = 7.78 \text{ A} \angle 38.9^\circ \bullet 31.84 \Omega \angle -90^\circ = 247.72 \text{ V} \angle -51.1^\circ$$

شكل رقم (٣ - ٢٠) يبين الرسم التخطيطي الاتجاهي



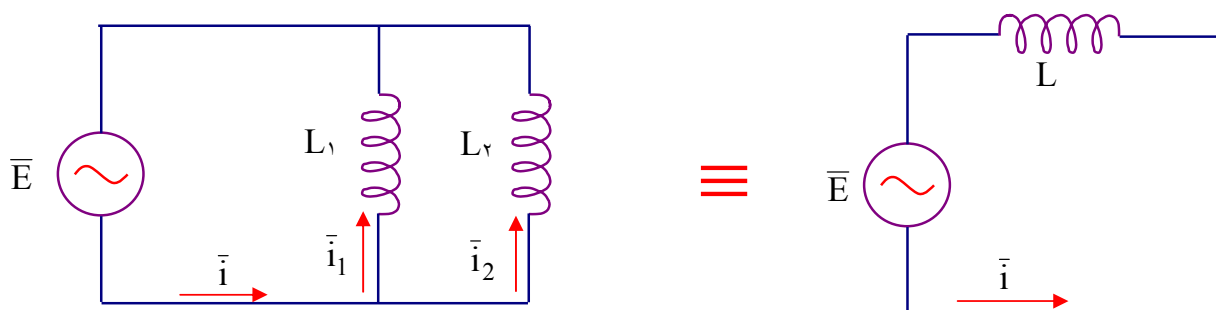
شكل رقم (٣ - ٢٠) الرسم الاتجاهي للمثال رقم (٣ - ٦)

٣- ٣- ٣- التوصيل على التوازي Parallel Circuits

٣- ٣- ٣- توصيل الملفات على التوازي

توضح الدائرة الكهربائية في شكل رقم (٢١- ٢١) كيفية توصيل ملفين على التوالى، ويمكن

حساب المقاومة المكافئة X_L كالتالى:



شكل رقم (٢١ - ٢١) المقاولة المكافئة لملفين موصلين على التوازي

لحساب التيار في دائرة المقاولة المكافئة، نحصل على الآتى:

$$\bar{i} = \frac{\bar{E}}{j\omega L} \quad (٨١-٣)$$

لحساب التيار في دائرة الملفين المتوازيين، نحصل على الآتى:

$$\bar{i} = \bar{i}_1 + \bar{i}_2 = \frac{\bar{E}}{j\omega L_1} + \frac{\bar{E}}{j\omega L_2} = \bar{E} \cdot \left(\frac{1}{j\omega L_1} + \frac{1}{j\omega L_2} \right) \quad (٨٢-٣)$$

لحساب المقاولة المكافئة، نحصل على الآتى:

$$X_L = \frac{\bar{E}}{\bar{i}} = j\omega L \quad (٨٣-٣)$$

$$X_L = \frac{\bar{E}}{\bar{i}} = \frac{\bar{E}}{\bar{E} \cdot \left(\frac{1}{j\omega L_1} + \frac{1}{j\omega L_2} \right)} = \frac{1}{\left(\frac{1}{j\omega L_1} + \frac{1}{j\omega L_2} \right)} \quad (٨٤-٣)$$

وبمساواة المفعالة في الحالتين، نحصل على الآتي:

$$\frac{1}{L} = \frac{1}{L_1} + \frac{1}{L_2} \quad (85-3)$$

$$\therefore L = \left(\frac{L_1 \cdot L_2}{L_1 + L_2} \right) \quad (86-3)$$

وهذا يوضح أن توصيل الملفات على التوازي يماثل توصيل المقاومات على التوازي، حيث أن محصلة توصيل ملفين على التوازي هو حاصل ضربهما مقسوماً على حاصل جمعهما.

مثال رقم (٧ - ٣)

احسب قيمة معامل الحث الذاتي المحصلة للفين متصلين على التوازي إذا كانت قيمة أحدهما 5 mH وقيمة الآخر 7 mH .

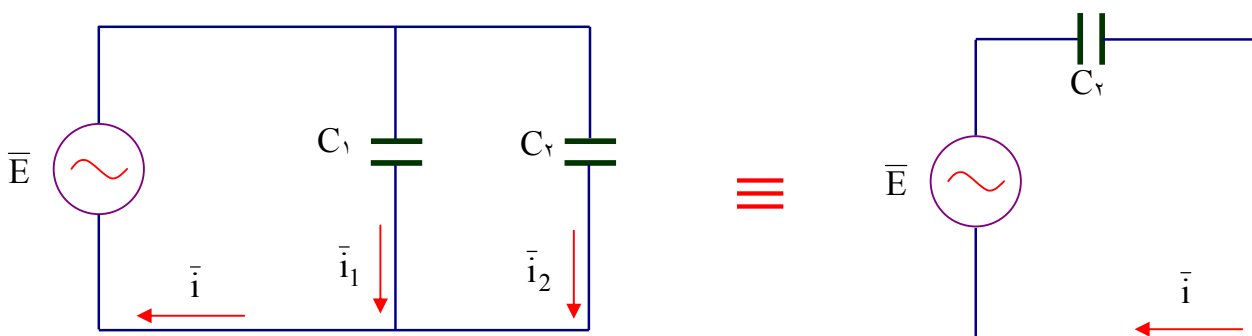
الحل

طبقاً للمعادلة رقم (٨٦ - ٣)، يمكن حساب قيمة معامل الحث الذاتي المحصلة، كالتالي:

$$\therefore L = \left(\frac{L_1 \cdot L_2}{L_1 + L_2} \right) = \frac{5 \text{ mH} \times 7 \text{ mH}}{5 \text{ mH} + 7 \text{ mH}} = 2.92 \text{ mH}$$

٣ - ٣ - ٢- توصيل المكثفات على التوازي

توضّح الدائرة الكهربائية في شكل رقم (٢٢ - ٣) كيفية توصيل مكثفين على التوالى، ويمكن حساب المقاومة المكافأة X_C كالتالي:



شكل رقم (٢٢ - ٣) كيفية توصيل مكثفين على التوالى

لحساب التيار في دائرة المفاعة المكافئة، نحصل على الآتي:

$$\bar{i} = \frac{\bar{E}}{(1/j\omega C)} = \bar{E} \cdot j\omega C \quad (87-3)$$

لحساب التيار في دائرة المكثفين المتوازيين، نحصل على الآتي:

$$\bar{i} = \bar{i}_1 + \bar{i}_2 = \frac{\bar{E}}{(1/j\omega C_1)} + \frac{\bar{E}}{(1/j\omega C_2)} = \bar{E} \cdot j\omega C_1 + \bar{E} \cdot j\omega C_2 \quad (88-3)$$

وبمساواة التيار في الحالتين، نحصل على الآتي:

$$\bar{i} = \bar{E} \cdot j\omega C_1 + \bar{E} \cdot j\omega C_2 = \bar{E} \cdot j\omega C \quad (89-3)$$

بقسمة الطرفين على $\bar{E} j\omega$ ، نحصل على الآتي:

$$C = C_1 + C_2 \quad (90-3)$$

من المعادلة رقم (٩٠-٣) يتضح أن توصيل المكثفات على التوازي يماثل توصيل المقاومات على التوالى.

مثال رقم (٨-٣)

احسب قيمة السعة المحسنة لمكثفين متصلين على التوازي إذا كانت قيمة أحدهما $100 \mu F$ وقيمة الآخر $25 \mu F$

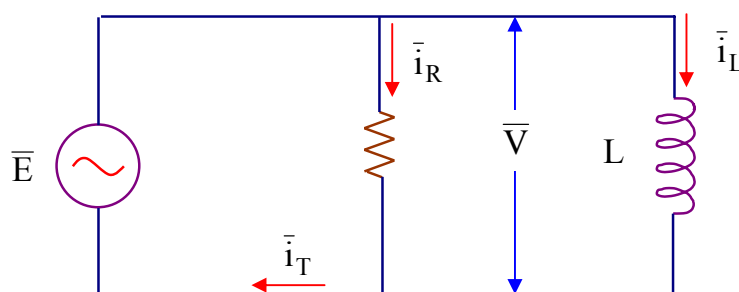
الحل

طبقاً للمعادلة رقم (٩٠-٣)، يمكن حساب قيمة معامل السعة المحسنة كما يلي:

$$C_{eq} = C_1 + C_2 = 100 \mu F + 25 \mu F = 125 \mu F$$

٣- ٣- ٣- مقاومة موصولة على التوازي مع مفاعة حثية

توضح الدائرة الكهربائية في شكل رقم (٢٣-٢) كيفية توصيل ملف مع مقاومة على التوازي، يمكن حساب قيمة زاوية المعاوقة Z كالتالي:



شكل رقم (٢-٢٣) مقاومة وملف على التوازي



يمكن حساب قيمة وزاوية المعاوقة Z كالتالي:

$$\bar{Z} = \frac{R + j\omega L}{R - j\omega L} = \frac{R \cdot j\omega L \cdot (R - j\omega L)}{(R + j\omega L) \cdot (R - j\omega L)} = \frac{(R\omega^2 L^2 + jR^2\omega L)}{(R^2 + \omega^2 L^2)} \quad (٩١-٣)$$

$$\bar{Z} = \frac{(R\omega^2 L^2)}{(R^2 + \omega^2 L^2)} + j \frac{(R^2\omega L)}{(R^2 + \omega^2 L^2)} \quad (٩٢-٣)$$

$$|Z| = \sqrt{\left(\frac{(R\omega^2 L^2)}{(R^2 + \omega^2 L^2)}\right)^2 + \left(\frac{(R^2\omega L)}{(R^2 + \omega^2 L^2)}\right)^2} \quad (٩٣-٣)$$

$$\angle \theta_Z = \tan^{-1}\left(\frac{R^2\omega L}{R\omega^2 L^2}\right) = \tan^{-1}\left(\frac{R}{\omega L}\right) \quad (٩٤-٣)$$

ويمكن وبالتالي حساب التيارات كالتالي:

$$\bar{i}_R = \frac{E \angle 0^\circ}{R \angle 0^\circ} = \frac{E}{R} \angle 0^\circ \quad (٩٥-٣)$$

$$\bar{i}_L = \frac{E \angle 0^\circ}{\omega L \angle 90^\circ} = \frac{E}{\omega L} \angle -90^\circ \quad (٩٦-٣)$$

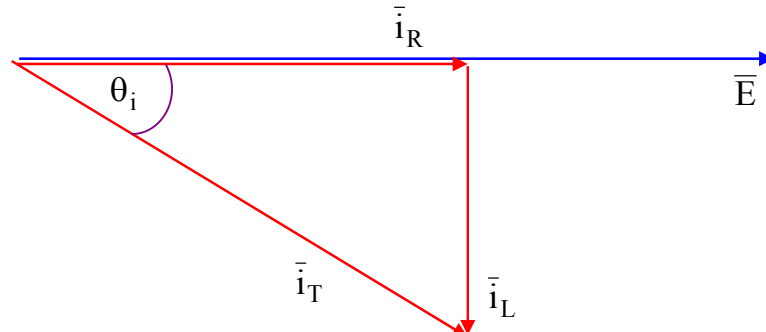
$$\bar{i}_T = \bar{i}_R + \bar{i}_L = \frac{E}{R} \angle 0^\circ + \frac{E}{\omega L} \angle -90^\circ \quad (٩٧-٣)$$

$$\bar{i}_T = \frac{E}{R} (1 + j0) + \frac{E}{\omega L} (0 - jl) = \frac{E}{R} - j \frac{E}{\omega L} = E \left(\frac{1}{R} - j \frac{1}{\omega L} \right) \quad (٩٨-٣)$$

$$|\bar{i}_T| = E \cdot \sqrt{\left(\frac{1}{R}\right)^2 + \left(\frac{1}{\omega L}\right)^2} \quad (٩٩-٣)$$

$$\theta_i = \tan^{-1}\left(-\frac{R}{\omega L}\right) \quad (١٠٠-٣)$$

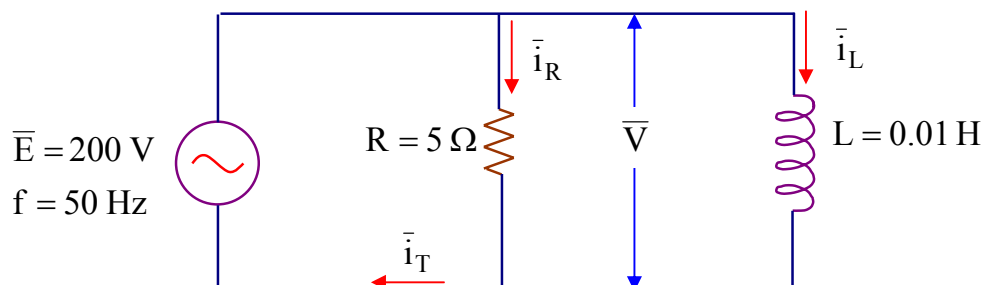
ويمكن وبالتالي رسم المخطط الاتجاهي كما هو مبين بشكل رقم (٣ - ٢٤).



شكل رقم (٣ - ٢٤) المخطط الاتجاهي لملف ومقاومة على التوازي.

مثال (٣ - ٩)

شكل رقم (٣ - ٢٥) يبين مقاومة أومية مقدارها 5Ω موصولة على التوازي مع ملف ذاتي $L = 0.01\text{ H}$ ، يتم تغذيتها من مصدر جهد متعدد: $|e| = 200 \text{ volts}$ وبتردد: $f = 50 \text{ Hz}$. احسب التيار المار في كل منهما، واحسب التيار الكلي.



شكل رقم (٣ - ٢٥) الدائرة الكهربائية للمثال رقم (٣ - ٩).

الحل

$$\bar{i}_R = \frac{E \angle 0^\circ}{R \angle 0^\circ} = \frac{E}{R} \angle 0^\circ = \frac{200 \text{ V} \angle 0^\circ}{5 \Omega \angle 0^\circ} = 40 \text{ A} \angle 0^\circ$$

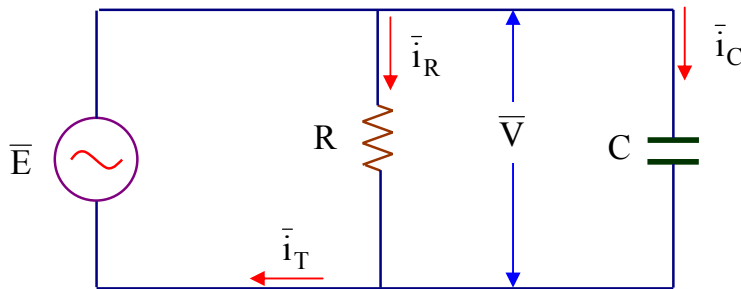
$$\bar{i}_L = \frac{E}{\omega L} \angle -90^\circ = \frac{E}{2\pi f L} \angle -90^\circ$$

$$\bar{i}_L = \frac{200 \text{ V}}{2\pi \cdot 50 \cdot 1 \times 10^{-2} \Omega} \angle -90^\circ = 63.7 \text{ A} \angle -90^\circ$$

$$|\bar{i}_T| = E \cdot \sqrt{\left(\frac{1}{R}\right)^2 + \left(\frac{1}{\omega L}\right)^2} = 200 \times \sqrt{\left(\frac{1}{5}\right)^2 + \left(\frac{1}{3.14}\right)^2} = 75.2 \text{ A}$$

$$\theta_i = \tan^{-1} \left(-\frac{R}{\omega L} \right) = \tan^{-1} \left(-\frac{5}{3.14} \right) = -57.9^\circ$$

٣-٤ مقاومة موصولة على التوازي مع مفعالة سعوية **RC Parallel Circuit**
 توضح الدائرة الكهربائية في شكل رقم (٣-٢٦) كيفية توصيل مكثف مع مقاومة على التوازي، يمكن حساب قيمة زاوية المعاوقة Z كالتالي:



شكل رقم (٣-٢٦) الدائرة الكهربائية لمكثف ومقاومة على التوازي.

$$\bar{Z} = \frac{R \cdot \left(-j \left(\frac{1}{\omega C} \right) \right)}{\left(R - j \left(\frac{1}{\omega C} \right) \right)} = \frac{\left(-j \frac{R}{\omega C} \right)}{\left(\frac{(R\omega C - j)}{\omega C} \right)} \quad (3-3)$$

(١٠١)

$$\bar{Z} = \frac{-j R}{(R\omega C - j)} = \frac{-j R \cdot (R\omega C + j)}{(R\omega C - j) \cdot (R\omega C + j)} \quad (3-4)$$

(١٠٢)

$$\bar{Z} = \frac{-j R \cdot (R\omega C + j)}{(R\omega C - j) \cdot (R\omega C + j)} = \frac{\left(R - j R^2 \omega C \right)}{\left(R^2 \omega^2 C^2 + 1 \right)} \quad (3-5)$$

$$\bar{Z} = \frac{R}{(R^2\omega^2C^2 + 1)} - j \left(\frac{R^2\omega C}{(R^2\omega^2C^2 + 1)} \right)^2 \quad (104-3)$$

$$|Z| = \sqrt{\left(\frac{R}{(R^2\omega^2C^2 + 1)} \right)^2 + \left(\frac{R^2\omega C}{(R^2\omega^2C^2 + 1)} \right)^2} \quad (105-3)$$

$$\angle \theta_Z = \frac{\left(- R^2\omega C / (R^2\omega^2C^2 + 1) \right)}{\left(R / (R^2\omega^2C^2 + 1) \right)} = \tan^{-1} \left(\frac{-R^2\omega C}{R} \right) \quad (106-3)$$

ويمكن بالتالي حساب التيارات كالتالي:

$$\bar{i}_R = \frac{E \angle 0^\circ}{R \angle 0^\circ} = \frac{E}{R} \angle 0^\circ \quad (107-3)$$

$$\bar{i}_C = \frac{E \angle 0^\circ}{\frac{1}{\omega C} \angle -90^\circ} = E\omega C \angle 90^\circ \quad (108-3)$$

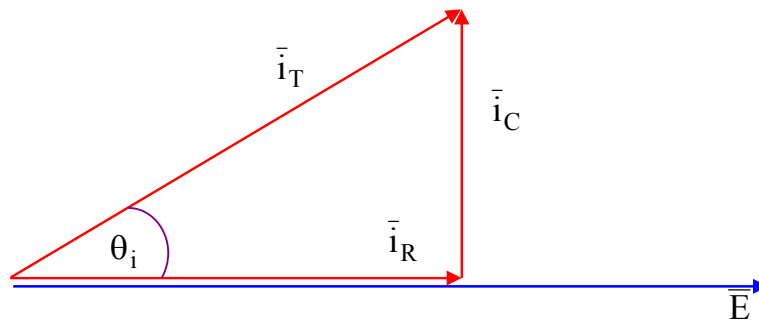
$$\bar{i}_T = \bar{i}_R + \bar{i}_C = \frac{E}{R} \angle 0^\circ + E\omega C \angle 90^\circ \quad (109-3)$$

$$\bar{i}_T = \left(\frac{E}{R} + j 0 \right) + (0 + j E\omega C) = \left(\frac{E}{R} + j E\omega C \right) \quad (110-3)$$

$$|\bar{i}_T| = \sqrt{\left(\frac{E}{R} \right)^2 + (E\omega C)^2} \quad (111-3)$$

$$\angle \theta_i = \tan^{-1} \left(E\omega C / \left(\frac{E}{R} \right) \right) = \tan^{-1} (\omega CR) \quad (112-3)$$

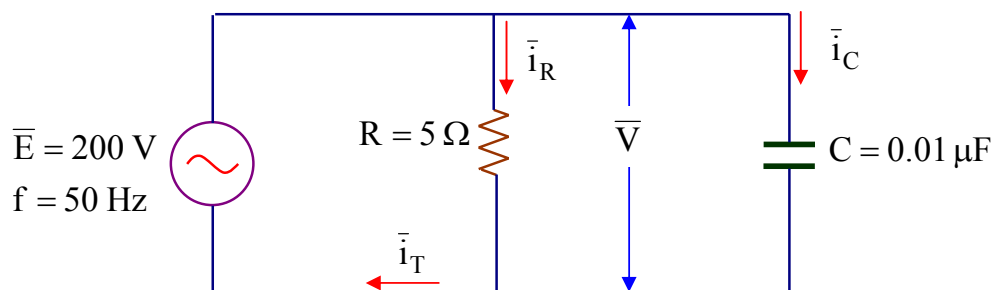
ويمكن بالتالي رسم المخطط الاتجاهي كما هو مبين بشكل رقم (٣-٢٧).



شكل رقم (٣-٢٧) المخطط الاتجاهي لمكثف ومقاومة على التوازي.

مثال (٣-١٠)

مقاومة أومية مقدارها $\Omega = 5$ موصولة على التوازي مع مكثف سعته $C = 0.01 \mu F$ ، يتم تغذيتهما من مصدر جهد متعدد: $f = 50 \text{ Hz}$ وبتردد: $|e| = 200 \text{ volts}$ كما هو مبين بشكل رقم (٣-٢٨). احسب التيار المار في كل منهما واحسب التيار الكلي.



شكل رقم (٣-٢٨) الدائرة الكهربائية للمثال رقم (٣-١٠).

الحل

$$\bar{i}_R = \frac{E \angle 0^\circ}{R \angle 0^\circ} = \frac{E}{R} \angle 0^\circ = \frac{200 \text{ V} \angle 0^\circ}{5 \Omega \angle 0^\circ} = 40 \text{ A} \angle 0^\circ$$

$$\bar{i}_C = E \omega C \angle 90^\circ = 200 \times 2\pi \times 50 \times 0.01 \times 10^{-6} \angle 90^\circ = 62.8 \times 10^{-3} \text{ A} \angle 90^\circ$$

$$|\bar{i}_T| = \sqrt{\left(\frac{E}{R}\right)^2 + (E\omega C)^2} = E \sqrt{\left(\frac{1}{R}\right)^2 + (\omega C)^2} = 200 \times \sqrt{\left(\frac{1}{5}\right)^2 + (3.14 \times 10^{-6})^2}$$

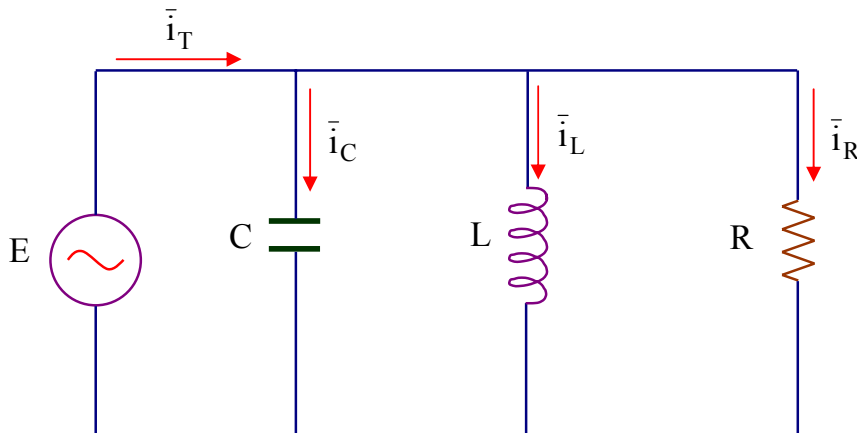
$$|\bar{i}_T| = 200 \times \sqrt{\left(\frac{1}{5}\right)^2 + (3.14 \times 10^{-6})^2} = 40 \text{ A}$$

$$\angle \theta_i = \tan^{-1} (\omega CR) = \tan^{-1} (2 \times \pi \times 50 \times 0.01 \times 10^{-6} \times 5) = 0^\circ$$

٣- ٣- ٥ مقاومة موصلية على التوازي مع مقاومة حثية وعلى التوازي مع مقاومة سعوية

RLC Parallel Circuit

نفترض توصيل عنصر مقاومة أومية R على التوازي مع ملف ذي معامل حث ذاتي L على التوازي مع مكثف ذو سعة C على التوازي مع مصدر للتيار المتردد ذو جهد E كما هو مبين بشكل رقم (٣-٣).



شكل رقم (٣-٣) الدائرة الكهربائية لمقاومة وملف ومكثف على التوازي.

من الشكل فإن التيار الكلي \bar{i} هو مجموع: التيار المار في المقاومة (\bar{i}_R) + التيار المار في الملف (\bar{i}_L) + التيار المار في المكثف (\bar{i}_C).

$$\bar{i} = \bar{i}_R + \bar{i}_L + \bar{i}_C \quad (١١٣-٣)$$

ولأن الجهد E على المقاومة هو نفسه الجهد على الملف وكذلك على المكثف، فسوف نعتبره هنا هو الدليل (أي بزاوية = صفر)

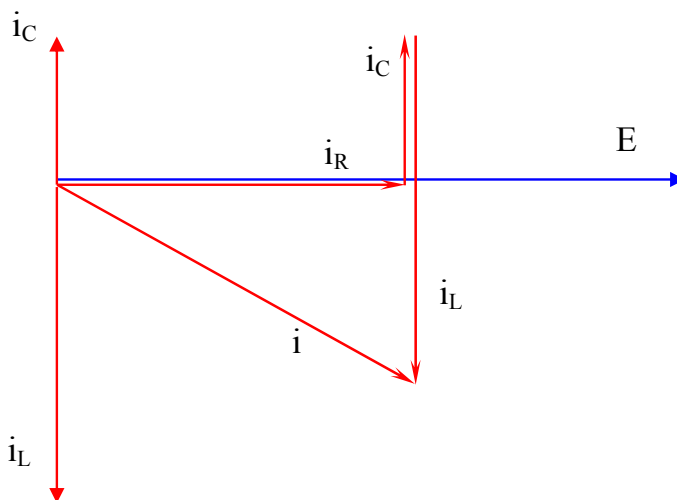
$$\bar{i} = \frac{\bar{E}}{R} + \frac{\bar{E}}{j\omega L} + \frac{\bar{E}}{\left(-\frac{j}{\omega C}\right)} \quad (١١٤-٣)$$

$$\bar{i} = \bar{E} \cdot \left(\frac{1}{R} + \frac{1}{j\omega L} - \frac{\omega C}{j} \right) = \bar{E} \cdot \left(\frac{1}{R} + j \left(\omega C - \frac{1}{\omega L} \right) \right) \quad (115-3)$$

$$|i| = |E| \cdot \sqrt{\left(\frac{1}{R}\right)^2 + \left(\omega C - \frac{1}{\omega L}\right)^2} \quad (116-3)$$

$$\angle \theta_i = \tan^{-1} \left(\left(\omega C - \frac{1}{\omega L} \right) / \left(\frac{1}{R} \right) \right) = \tan^{-1} \left(R \left(\frac{\omega^2 LC - 1}{\omega L} \right) \right) \quad (117-3)$$

ويمكن رسم المخطط الاتجاهي كما هو مبين بشكل رقم (٣٠ - ٣)

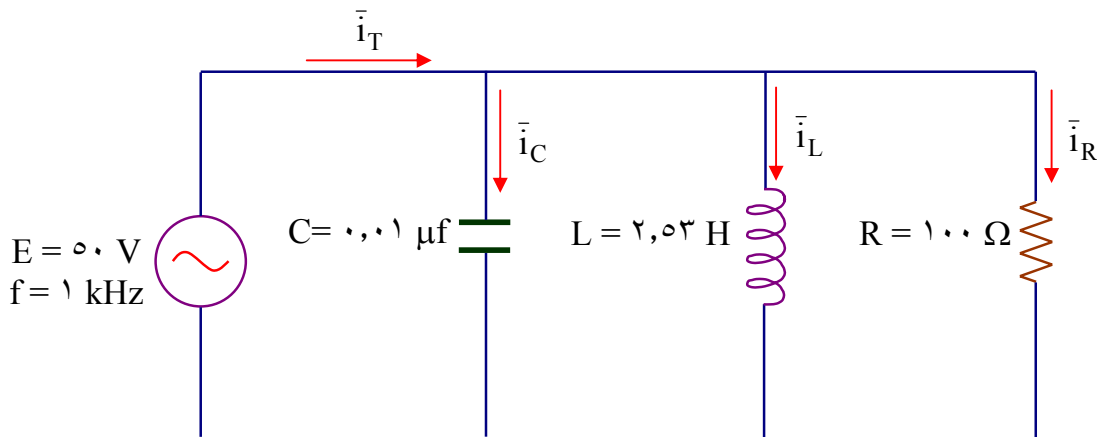


شكل رقم (٣٠ - ٣) المخطط الاتجاهي لمقاومة وملف ومكثف على التوازي.

مثال (٣ - ٣١)

في الدائرة المبينة بشكل رقم (٣ - ٣١) احسب التيار المار في كل فرع واحسب أيضاً التيار الكلي.

الحل



شكل رقم (٣ - ٣١) الدائرة الكهربائية للمثال رقم (٣ - ٣١).

$$\bar{i}_R = \frac{50 \text{ V} \angle 0^\circ}{100 \Omega \angle 0^\circ} = 0.5 \text{ A} \angle 0^\circ$$

$$\bar{i}_L = \frac{50 \text{ V} \angle 0^\circ}{(2 \times \pi \times 1000 \times 2.53) \Omega \angle 90^\circ} = 3.145 \text{ mA} \angle -90^\circ$$

$$\bar{i}_C = \frac{50 \text{ V} \angle 0^\circ}{(1/2 \times \pi \times 1000 \times 0.01 \times 10^{-6}) \Omega \angle -90^\circ} = 3.145 \text{ mA} \angle 90^\circ$$

$$\bar{i}_T = \bar{i}_R + \bar{i}_L + \bar{i}_C = 0.5 \text{ A} \angle 0^\circ + 3.145 \text{ mA} \angle -90^\circ + 3.145 \text{ mA} \angle 90^\circ$$

$$\bar{i}_T = 0.5 \text{ A} \angle 0^\circ$$

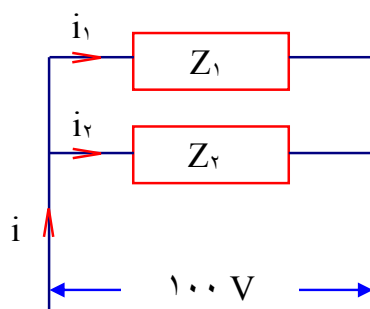
وتسمى هذه الدائرة دائرة الرنين حيث يتلاشى تأثير كل من الملف والمكثف بتأثير أحدهما على الآخر، وتستخدم بكثرة في مجال الاتصالات.



مثال (٣-١٢)

في الدائرة المبينة بشكل رقم (٣-٣٢)، معاوقيتان متصلتان معاً على التوازي، حيث: $f=60 \text{ Hz}$ ، فإذا كان الجهد المطبق عليهما $E = 100 \text{ volts}$ بتردد $Z_1 = 6 + j8 \Omega$ & $Z_2 = 8 - j6 \Omega$. احسب التيار الكلي.

الحل



شكل رقم (٣-٣٢) الدائرة الكهربائية للمثال رقم (٣-١٢).

$$\bar{Z}_1 = 6 + j8 = 10 \Omega \angle 51.3^\circ$$

$$\bar{Z}_2 = 8 - j6 = 10 \Omega \angle -36.9^\circ$$

$$\bar{E} = 100 \text{ V} \angle 0^\circ$$

$$\bar{i}_1 = \frac{100 \angle 0^\circ}{10 \angle 51.3^\circ} = 10 \text{ A} \angle -51.3^\circ$$

$$\bar{i}_2 = \frac{100 \angle 0^\circ}{10 \angle -36.9^\circ} = 10 \text{ A} \angle 36.9^\circ$$

$$\bar{Z}_t = \frac{\bar{Z}_1 \bar{Z}_2}{\bar{Z}_1 + \bar{Z}_2} = \frac{(6 + j8)(8 - j6)}{(6 + j8)(8 - j6)}$$

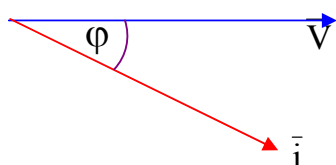
$$\bar{Z}_t = \frac{96 + j28}{14 + j2} = \frac{100 \angle 16.26^\circ}{14.14 \angle 8.13^\circ} = 7.1 \Omega \angle 8.13^\circ$$

$$\bar{i} = \frac{\bar{E}}{\bar{Z}_t} = \frac{100 \angle 0^\circ}{7.1 \angle 8.13^\circ} = 14.1 \text{ A} \angle -8.13^\circ$$

٣-٤ القدرة في التيار المتردد Power in A.C Circuits

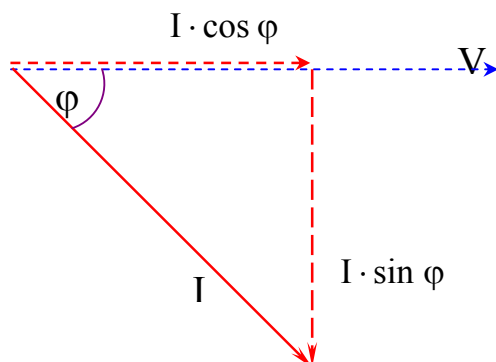
٣-٤-١ مثلث القدرة Power Triangle

بما أن كل من الجهد والتيار في دوائر التيار المتردد هي كميات اتجاهية، ويمكن التعامل معها على أنها متجهات، وقد شرحنا كيف يسبق الجهد التيار في بعض الأحيان (Voltage lead) كما أنه في أحيان أخرى يسبق التيار الجهد (Current lead) ويمكن أيضاً أن يكون كل من الجهد والتيار في نفس الحالة أو نفس زاوية الطور فلا يسبق أي منهما الآخر (in phase)، وعلى وجه العموم هناك زاوية تفصل بين الجهد والتيار تسمى زاوية φ كما هو مبين بشكل رقم (٣٣-).



شكل رقم (٣-٣٣) زاوية الطور بين الجهد والتيار.

ويمكن وبالتالي تحليل التيار I إلى مركبتين: مركبة في اتجاه الجهد $= I \cdot \cos \varphi$ ومركبة عمودية على اتجاه الجهد $= I \cdot \sin \varphi$ كما هو مبين بشكل رقم (٣-٣٤).

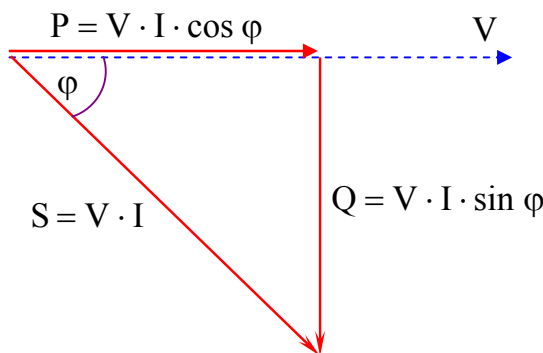


شكل رقم (٣-٣٤) القيمة الفعالة والقيمة غير الفعالة للتيار.

تسمى مركبة التيار التي في اتجاه الجهد بالمركبة الفعالة للتيار، أما مركبة التيار العمودية على اتجاه الجهد فتسمى المركبة غير الفعالة للتيار.

وبضرب كل قيمة من قيم التيار ومركباته في الجهد V نحصل على المثلث المبين في شكل

رقم (٣٥-٣).



شكل رقم (٣٥-٣) مثلث القدرة

ويسمى هذا المثلث : مثلث القدرة، حيث كل ضلع من أضلاع المثلث يمثل قدرة كهربائية ما على النحو التالي:

(١) القدرة الظاهرية (S) : Apparent Power (S)

$$S = V \cdot I \quad (١١٨-٣)$$

(٢) القدرة الفعالة (P) : Active Power (P)

$$P = V \cdot I \cdot \cos \varphi \quad (١١٩-٣)$$

(٣) القدرة الغير فعالة (Q) : Reactive Power (Q)

$$Q = V \cdot I \cdot \sin \varphi \quad (١٢٠-٣)$$

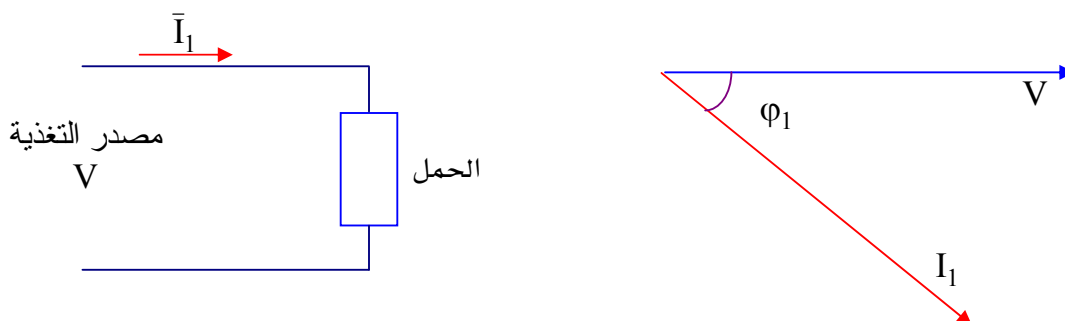
٣ - ٤ - ٢ معامل القدرة Power Factor

معامل القدرة هو النسبة بين القدرة الفعالة والقدرة الظاهرية وهو بهذا يعادل $\cos \varphi$ ، أو جيب تمام الزاوية φ الواقعة ما بين الجهد والتيار.

$$\cos (\varphi) = \frac{P}{S} \quad (١٢١-٣)$$

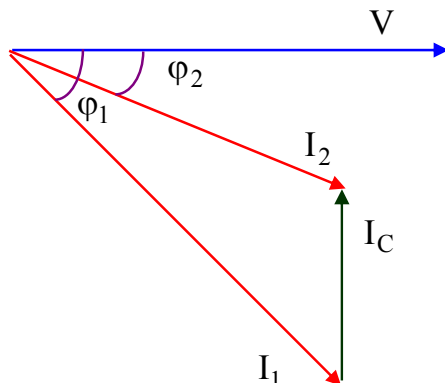
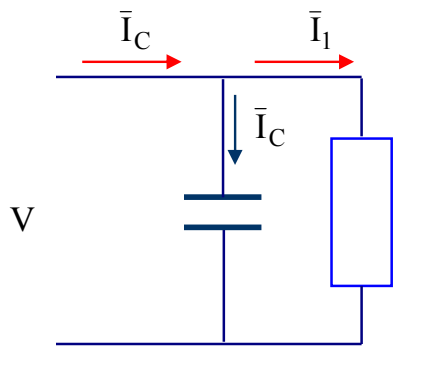
٣- ٤- ٣ تحسين معامل القدرة Power Factor Correction

في معظم الأحمال المنزليه والصناعية المعتمدة يكون التيار الكلي متأخراً عن الجهد (Current lag.) كما هو مبين بشكل رقم (٣-٣٦)، ولو نظرنا إلى مثلث القدرة لوجدنا أن القدرة الظاهرية S تمثل القدرة الكلية للحمل والقدرة الفعالة P تمثل القدرة المستفادة بالفعل. والقدرة غير الفعالة Q هي قدرة غير مستفاد منها للمستهلك، وعلى هذا فإنه من المستحسن أن تكون S قريبة من P بمعنى أن تكون القدرة المستفادة أكبر ما يمكن، وبالتالي القدرة غير الفعالة أقل ما يمكن. وهذا يعني تصغير الزاوية φ وبالتالي تكبير $\cos \varphi$ أو ما يسمى بمعامل القدرة وهذا هو ما نطلق عليه تحسين معامل القدرة. ولتقريب S من P فإنه تستخدم المكثفات لهذا الغرض.



شكل رقم (٣-٣٦) الدائرة الكهربائية قبل توصيل المكثفات.

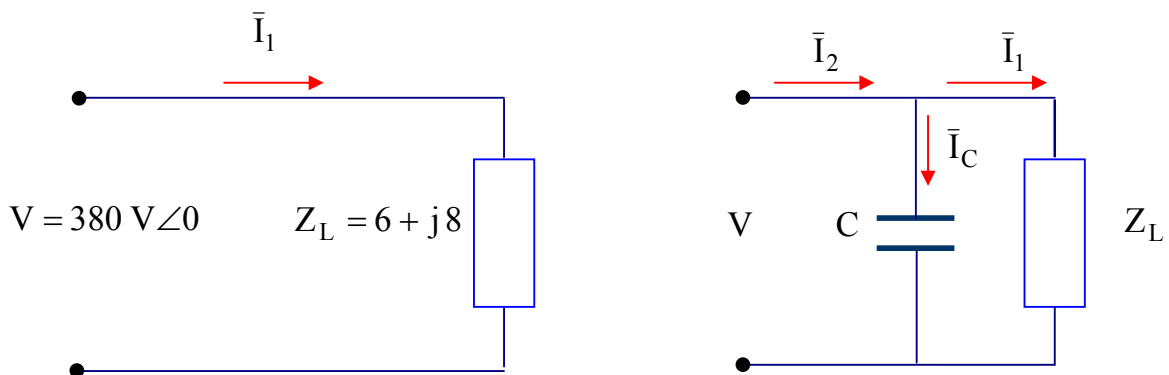
للدوائر الحثية التي يسبق الجهد فيها التيار، وكما هو موضح بالشكل رقم (٣-٣٦)، فلتغذية الحمل مباشرة من المصدر ينتج عن ذلك سحب الحمل لتيار مقداره I من المصدر بزاوية φ ، وبالتالي معامل القدرة هو $P.F = \cos \varphi$. ثم لتحسين معامل القدرة تضاف المكثفات على التوازي مع الحمل (وذلك للدوائر ذات الطبيعة الحثية) حيث تيار المكثف يتقدم دائماً على الجهد وبالتالي، وكما هو مبين في شكل رقم (٣-٣٧)، تقل الزاوية φ وبالتالي يتحسن معامل القدرة.



شكل (٣-٣٧) تحسين معامل القدرة عن طريق المكثفات.

مثال (٣-١٣)

شكل رقم (٣-٣٨) يبين الحمل الكهربائي الخاص بمنشأة صناعية صغيرة، احسب سعة المكثف المطلوب لرفع معامل القدرة إلى واحد صحيح.



شكل (٣-٣٨) الدائرة الكهربائية للمثال رقم (٣-١٣).

الحل

نبدأ بحساب المعاوقة Z_L وذلك كقيمة وزاوية:

$$Z_L = \sqrt{(6)^2 + (8)^2} = 10 \Omega$$

ثم نحسب الزاوية θ_{ZL} :

$$\theta_{ZL} = \tan^{-1} \frac{8}{6} = 51.3^\circ$$

ثم نحسب التيار I_1 :

$$I_1 = \frac{380 \angle 0^\circ}{10 \angle 51.3^\circ} = 38 A \angle -51.3^\circ$$

ثم لحساب قيمة المكثف، على اعتبار أن معامل القدرة أصبح يساوي الواحد الصحيح، وهذا يعني أن الزاوية φ_2 أصبحت تساوي صفر. وعلى هذا فإن قيمة تيار المكثف:

$$I_C = I_1 \cdot \sin \varphi_1 = 38 \cdot \sin (-51.3^\circ) = -29.66 A$$

ومن المعروف أن زاوية تيار المكثف هي 90° :

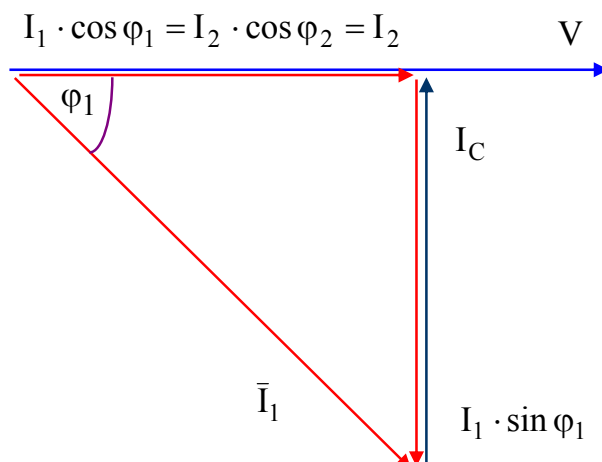
$$\therefore I_C = -29.66 A \angle 90^\circ$$

وهكذا يمكن حساب قيمة سعة المكثف:

$$I_C = \frac{V \angle 0}{-j(1/\omega C)} = \frac{V \angle 0}{(1/\omega C) \angle -90} = V\omega C \angle 90$$

$$C = \frac{-29.66}{380 \times 2\pi \times 50} = -248.42 \mu F$$

ويمكن رسم المخطط الاتجاهي كما هو مبين بشكل رقم (٣٩ - ٣).



شكل رقم (٣ - ٣٩) رفع معامل القدرة إلى واحد صحيح.

تدريبات على الوحدة الثالثة

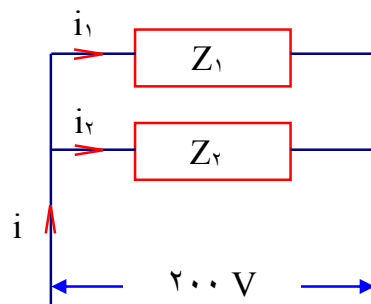
أولاً: الأسئلة:

١. أثبت بالقوانين أن الجهد والتيار لهما نفس زاوية الطور لعنصر المقاومة الكهربائية.
٢. أثبت بالقوانين أن الجهد يسبق التيار بزاوية 90° في الملف.
٣. أثبت بالقوانين أن الجهد يتأخر عن التيار بزاوية 90° في المكثف.
٤. استنتاج قيمة المفاعة الحثية للملف X_L .
٥. استنتاج قيمة المفاعة الحثية للمكثف X_C .
٦. استنتاج قيمة المعاوقة الكلية لدائرة مكونة من مقاومة وملف على التوالى واحسب زاويتها.
٧. استنتاج قيمة المعاوقة الكلية لدائرة مكونة من مقاومة ومكثف على التوالى واحسب زاويتها.
٨. استنتاج قيمة المعاوقة الكلية لدائرة مكونة من مقاومة وملف ومكثف على التوالى واحسب زاويتها.
٩. استنتاج قيمة المعاوقة الكلية لدائرة مكونة من مقاومة وملف على التوازي واحسب زاويتها.
١٠. استنتاج قيمة المعاوقة الكلية لدائرة مكونة من مقاومة ومكثف على التوازي واحسب زاويتها.
١١. استنتاج قيمة المعاوقة الكلية لدائرة مكونة من مقاومة وملف ومكثف على التوازي واحسب زاويتها.

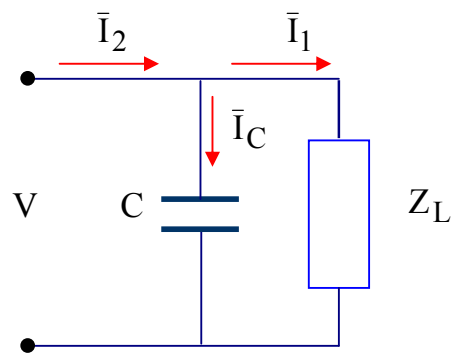
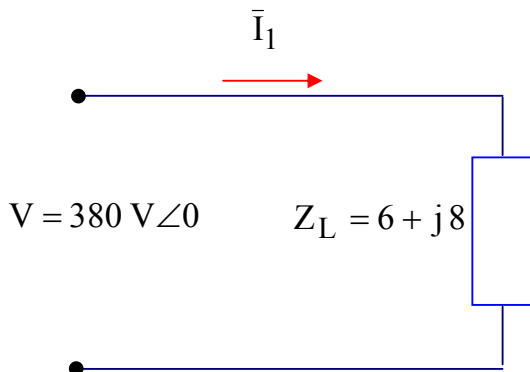
ثانياً: التمارين:

١. احسب قيمة المعاوقة الكلية لدائرة مكونة من مقاومة (5Ω) على التوالى مع ملف(5 mH) واحسب زاويتها.
٢. احسب قيمة المعاوقة الكلية لدائرة مكونة من مقاومة (15Ω) على التوالى مع مكثف($1\mu\text{f}$) واحسب زاويتها.
٣. احسب قيمة المعاوقة الكلية لدائرة مكونة من مقاومة أومية (20Ω) على التوالى مع ملف(5 mH) على التوالى مع مكثف($1\mu\text{f}$) واحسب زاويتها.

٤. احسب قيمة المعاوقة الكلية لدائرة مكونة من مقاومة (5Ω) على التوازي مع ملف (5 mH) واحسب زاويتها.
٥. احسب قيمة المعاوقة الكلية لدائرة مكونة من مقاومة (15Ω) على التوازي مع مكثف ($1\mu\text{H}$) واحسب زاويتها.
٦. احسب قيمة المعاوقة الكلية لدائرة مكونة من مقاومة أومية (20Ω) على التوازي مع ملف (5 mH) على التوالى مع مكثف ($1\mu\text{H}$) واحسب زاويتها.
٧. احسب قيمة معامل الحث الذاتي المحصلة لملفين متصلين على التوالى إذا كانت قيمة أحدهما 70 mH وقيمة الآخر 50 mH .
٨. احسب قيمة معامل الحث الذاتي المحصلة لملفين متصلين على التوازي إذا كانت قيمة أحدهما 20 mH وقيمة الآخر 70 mH .
٩. احسب قيمة السعة المحصلة لمكثفين متصلين على التوالى إذا كانت قيمة أحدهما $100\text{ }\mu\text{F}$ وقيمة الآخر $25\text{ }\mu\text{F}$.
١٠. احسب قيمة السعة المحصلة لمكثفين متصلين على التوازي إذا كانت قيمة أحدهما $100\text{ }\mu\text{F}$ وقيمة الآخر $25\text{ }\mu\text{F}$.
١١. في الدائرة المبينة بالشكل التالي، معاوقتان متصلتان معاً على التوازي، حيث:
 $Z_1 = 8 + j6$ & $Z_2 = 6 - j8$. فإذا كان الجهد المطبق عليهما $E = 200\text{ V}$ بتردد ($f=50\text{ Hz}$). احسب التيار الكلي.



١٢. الشكل التالي يبين الحمل الكهربائي الخاص بمنشأة صناعية صغيرة، احسب سعة المكثف المطلوب لرفع معامل القدرة إلى واحد صحيح.



١٣. لدائرة شحن مكثف قيمة سعته μF ١٠ ، إذا كان جهد المصدر يساوي V ١٢ وكانت قيمة المقاومة المتوازية $k\Omega$ ١ ، احسب: الثابت الزمني τ ، قيمة جهد المكثف وقيمة تيار الشحن بعد ٥٠ msec . وإذا تم فصل دائرة شحن المكثف عند هذه اللحظة، وبدأ المكثف في التفريغ في مقاومة قيمتها $k\Omega$ ٢ بعد نزع مصدر الجهد وغلق الدائرة الكهربائية، احسب جهد المكثف وتيار التفريغ بعد ٣٠ msec من بدأ التفريغ.



هندسة كهربائية - ٢

النظريات الأساسية المستخدمة في دوائر التيار المتردد

النظريات الأساسية المستخدمة في دوائر التيار المتردد

٤

الأهداف العامة للوحدة الرابعة

بعد الانتهاء من دراسة هذه الوحدة، يكون الطالب قادرًا على معرفة:

- كيفية تطبيق قانون أوم في دوائر التيار المتردد.
- كيفية تطبيق قانون كيرشوف للتيار والجهد في دوائر التيار المتردد.
- كيفية تطبيق قانون تجزئ التيار في دوائر التيار المتردد المتوازية.
- كيفية تطبيق قانون تجزئ الجهد في دوائر التيار المتردد المتوازية.
- كيفية حساب المعاوقات المتوازية والمتوازية والمركبة.
- كيفية تطبيق طريقة الاختزال لتحليل الدوائر الكهربائية للتيار المتردد.
- كيفية تطبيق طريقة تحويلات الدلتا والنجمة لتحليل الدوائر الكهربائية للتيار المتردد.
- كيفية تطبيق نظرية ثفنن لتحليل الدوائر الكهربائية للتيار المتردد.
- كيفية تطبيق طرقة الحلقة المغلقة لتحليل الدوائر الكهربائية للتيار المتردد.
- كيفية تطبيق نظرية التركيب لتحليل الدوائر الكهربائية للتيار المتردد.

٤-١ مقدمة Introduction

سوف ندرس في هذا الباب النظريات الأساسية المستخدمة في تحليل دوائر التيار المتردد، التي هي في واقع الأمر لا تختلف عن تلك النظريات المستخدمة في تحليل دوائر التيار المستمر إلا في المعالجة فقط.

٤-٢ النظريات الأساسية لدوائر التيار المتردد Basic Theorems of A.C Circuits

٤-٢-١ قانون أوم Ohm's Law

كما رأينا من قبل فإن قانون أوم يطبق على دوائر التيار المتردد تماماً كما يطبق على دوائر التيار المستمر مع الأخذ في الاعتبار أن كل من الجهد V والتيار I وكذلك المعاوقة Z هي كميات اتجاهية مركبة، أي أنها توصف دائماً بكميتيين (قيمة وزاوية أو حقيقي وتخيلي) وعلى ذلك يمكن كتابة قانون أوم في صوره الثلاثة كما يلي:

$$(a) \bar{I} = \frac{\bar{V}}{\bar{Z}}, \quad i \angle \theta_i = \frac{V \angle \theta_V}{Z \angle \theta_Z} \quad (1-4)$$

$$(b) \bar{V} = \bar{I} \bullet \bar{Z}, \quad V \angle \theta_V = i \angle \theta_i \bullet Z \angle \theta_Z \quad (2-4)$$

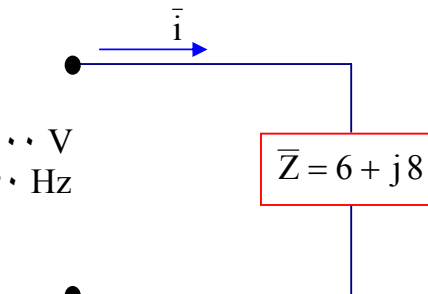
$$(c) \bar{Z} = \frac{\bar{V}}{\bar{I}}, \quad Z \angle \theta_Z = \frac{V \angle \theta_V}{i \angle \theta_i} \quad (3-4)$$

مثال رقم (٤-١)

من الشكل المقابل:

(١) احسب مكونات المعاوقة \bar{Z} .

(٢) احسب التيار \bar{I} .



شكل رقم (٤-١) الدائرة الكهربائية لمثال رقم (٤-١).

الحل

(١) نبدأ بحساب مكونات المعاوقة \bar{Z} ، كما يلي:

أولاً: الرقم ٦ رقم حقيقي يدل على وجود مقاومة أومية مقدارها 6Ω .

ثانياً: هذه مقاومة متصلة على التوالى مع مفاعة حثية (لوجود الإشارة الموجبة) قيمتها $\omega \cdot L = 8 \Omega$.
إذن:

$$L = \frac{8 \Omega}{\omega} = \frac{8 \Omega}{2 \pi f} = \frac{8 \Omega}{100 \pi} = 25.465 \text{ mH}$$

$$R = 6 \Omega \quad L = 25.465 \text{ mH}$$



شكل رقم (٤-٢) مكونات المعاوقة \bar{Z} لمثال رقم (٤-١).

(٢) لحساب التيار \bar{i} ، نبدأ بحساب المعاوقة \bar{Z} ، كما يلي:

$$\bar{Z} = \sqrt{6^2 + 8^2} \angle \tan^{-1} \frac{8}{6} = 10 \Omega \angle 53.13^\circ$$

ثم نحسب التيار \bar{i} ، كما يلي:

$$\bar{i} = \frac{\bar{V}}{\bar{Z}} = \frac{100 \text{ V} \angle 0^\circ}{10 \Omega \angle 53.13^\circ} = 10 \text{ A} \angle -53.13^\circ$$

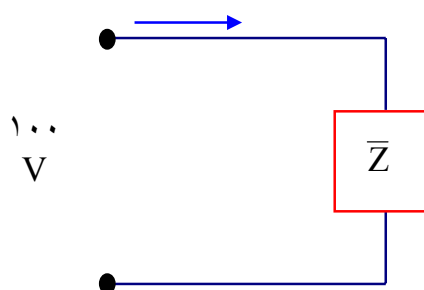
مثال رقم (٤-٢)

من الشكل المقابل:

(١) احسب قيمة المعاوقة \bar{Z}

(٢) أحسب مكوناتها

$$\bar{i} = 20 \text{ A} \angle 30^\circ$$



شكل رقم (٤-٣) الدائرة الكهربائية لمثال رقم (٤-٢).

الحل

(١) نحسب قيمة المعاوقة \bar{Z} من القانون:

$$\bar{Z} = \frac{\bar{V}}{\bar{i}} , \quad Z \angle \theta_Z = \frac{V \angle \theta_V}{i \angle \theta_i}$$

$$\bar{Z} = \frac{100 V \angle 0^\circ}{20 A \angle 30^\circ} = 5 \Omega \angle -30^\circ$$

(٢) لحساب مكوناتها:

$$\bar{Z} = 5 \Omega \{ \cos(-30) + j \sin(-30) \}$$

$$\bar{Z} = 5 \Omega (0.866 - j 0.5) = 4.33 - j 2.4$$

يتضح من هذه المعادلة الآتي:

ت تكون المعاوقة \bar{Z} من:أولاً: الرقم ٤.٣٣ رقم حقيقي يدل على وجود مقاومة أومية مقدارها 4.33Ω ثانياً: هذه مقاومة متصلة على التوالى مع مفاعة سعوية (لوجود الإشارة السالبة) قيمتها 2.4Ω

إذن:

$$C = \frac{1}{2.4 \omega} = \frac{1}{2.4 \times 100 \times \pi} = 1.326 \text{ mF}$$

$$R = 4.33 \Omega$$

$$C = 1.326 \text{ mF}$$

شكل رقم (٤ - ٤) مكونات المعاوقة \bar{Z} لمثال رقم (٤ - ٢).

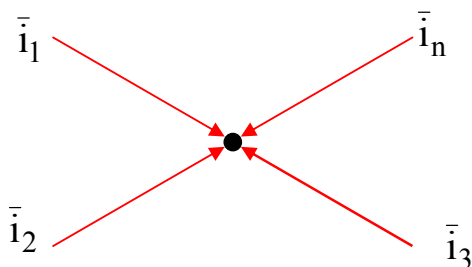
٤- ٢- ٢- قانون كيرشوف Kirchhoff's Laws

٤- ٢- ١- قانون كيرشوف للتيار Kirchhoff's Current Law

ينص قانون كيرشوف للتيار أن "المجموع الجبري للتغيرات الكهربائية اللحظية الداخلة إلى أي عقدة كهربائية يساوي صفرًا، ويعبر عنه رياضيًّا كما يأتي:

$$\sum_{k=1}^{n} \bar{i}_k = 0 \quad (4-4)$$

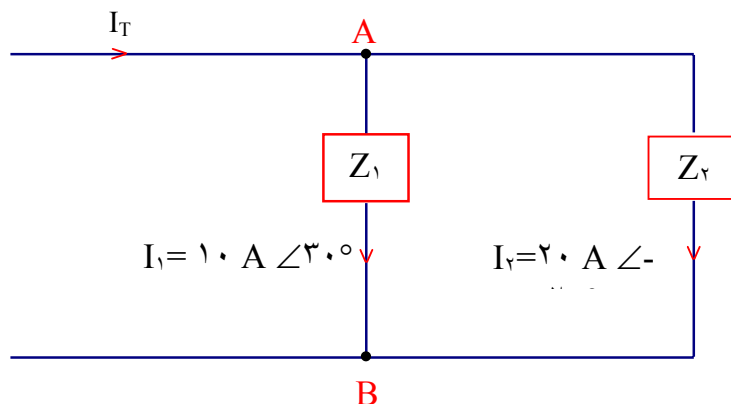
حيث n هو عدد التيارات المتصلة بهذه العقدة الكهربائية، وتعتبر التغيرات اللحظية الداخلة إلى العقدة تيارات سالبة بينما تعتبر التغيرات اللحظية الخارجة منها تيارات موجبة، ويلاحظ هنا أن التيارات جميعها كميات اتجاهية. وشكل رقم (٤ - ٥) يوضح أحد هذه العقد الكهربائية.



شكل رقم (٤ - ٥) التيارات الجبرية الداخلة إلى العقدة

مثال رقم (٤ - ٣)

في الشكل المقابل رقم (٤ - ٦)، احسب قيمة التيار الكلي I_T .



شكل رقم (٤ - ٦) الدائرة الكهربائية لمثال رقم (٤ - ٣).

الحل

لحساب التيار الكلي I_T ، نطبق قانون كيرشوف للتيارات على أي من النقطتين A أو B كالتالي:

عند نقطة A :

$$(a) \text{ مجموع التيارات الداخلة إلى النقطة} = (I_T)$$

$$(b) \text{ مجموع التيارات الخارجة من النقطة} = (I_1 + I_2)$$

إذن:

$$(I_T) = (I_1 + I_2)$$

عند نقطة B :

$$(a) \text{ مجموع التيارات الداخلة إلى النقطة} = (I_1 + I_2)$$

$$(b) \text{ مجموع التيارات الخارجة من النقطة} = (I_T)$$

إذن:

$$(I_1 + I_2) = (I_T)$$

نلاحظ أن تطبيق قانون كيرشوف للتيارات عند أي من النقطتين A أو B يعطي نفس النتيجة.

إذن:

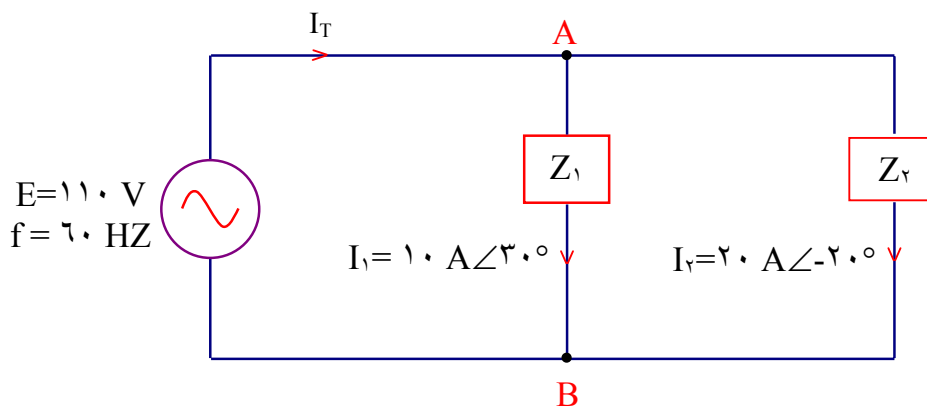
$$I_T = (I_1 + I_2) = 10 \text{ A} \angle 30^\circ + 20 \text{ A} \angle -20^\circ =$$

$$I_T = (8.66 + j5) + (18.8 - j6.84) = 27.46 - j1.84 = 27.5 \text{ A} \angle -3.84^\circ$$

مثال رقم (٤ - ٤)

في مثال رقم (٤ - ٣) احسب قيم ومكونات المعاوقيات Z_1, Z_2 ، إذا كان مصدر الجهد:

$$E = 110 \text{ V}, f = 60 \text{ Hz}$$



شكل رقم (٤-٧) الدائرة الكهربائية لمثال رقم (٤-٤).

الحل

لحساب قيم المقاومات نستخدم قانون أوم كالتالي::

$$Z_1 = \frac{110 \text{ V} \angle 0^\circ}{10 \text{ A} \angle 30^\circ} = 11 \Omega \angle -30^\circ$$

$$Z_2 = \frac{110 \text{ V} \angle 0^\circ}{20 \text{ A} \angle -20^\circ} = 5.5 \Omega \angle 20^\circ$$

لحساب المكونات:

$$Z_1 = 11 \Omega \angle -30^\circ = 11 \cdot \cos(-30^\circ) + j 11 \cdot \sin(-30^\circ) = 9.52 - j 5.5$$

الرقم ٩.٥٢ رقم صحيح يدل على وجود مقاومة قيمتها $R = 9.52 \Omega$ والإشارة السالبة تعني وجود مكثف على التوالي مع المقاومة، حيث $X_C = 5.5 \Omega$ ، إذن قيمة السعة C يمكن حسابها كالتالي:

$$X_C = \frac{1}{\omega \cdot C}$$

$$C_1 = \frac{1}{\omega \cdot X_C} = \frac{1}{2\pi \times 60 \times 5.5} = 482.28 \mu\text{F}$$

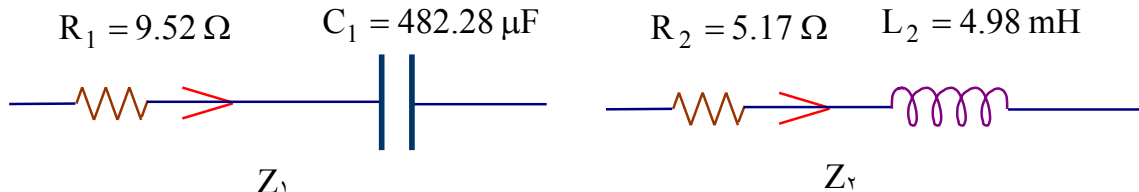
وبالمثل:

$$Z_2 = 5.5 \Omega \angle 20^\circ = 5.5 \cos(20^\circ) + j 5.5 \sin(20^\circ) = 5.17 + j 1.88$$

الرقم ٥.١٧ رقم صحيح يدل على وجود مقاومة قيمتها $R = 5.17 \Omega$ والإشارة الموجبة تعني وجود ملف على التوالي مع المقاومة، حيث $X_L = 1.88 \Omega$ ، إذن قيمة الحث الذاتي للملف L يمكن حسابها كالتالي:

$$X_L = \omega \cdot L_2$$

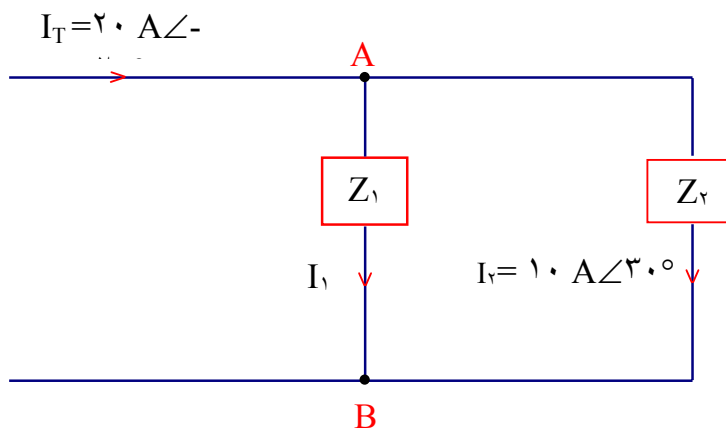
$$L_2 = \frac{X_L}{\omega} = \frac{1.88 \Omega}{2\pi \times 60} = 4.98 \text{ mH}$$



شكل رقم (٤-٨) مكونات المعاوقات \bar{Z}_1, \bar{Z}_2 لمثال رقم (٤-٤).

مثال رقم (٤-٥)

في الشكل المقابل رقم (٤-٩)، احسب قيمة التيار الفرعى I_1 .



شكل رقم (٤-٩) الدائرة الكهربائية لمثال رقم (٤-٥).

الحل

لحساب التيار الفرعى I_1 ، نطبق قانون كيرشوف للتيارات على النقطة A كالتالي:

• عند نقطة A :

مجموع التيارات الداخلة إلى النقطة $(I_T) =$ مجموع التيارات الخارجة من النقطة $(I_1 + I_2)$
إذن:

$$(\bar{I}_T) = (\bar{I}_1 + \bar{I}_2)$$

$$(\bar{I}_1) = (\bar{I}_T - \bar{I}_2)$$

$$\bar{I}_1 = (\bar{I}_T - \bar{I}_2) = 20 \text{ A} \angle 20^\circ - 10 \angle 30^\circ = 18.8 + j 6.84 - (8.66 + j 5)$$

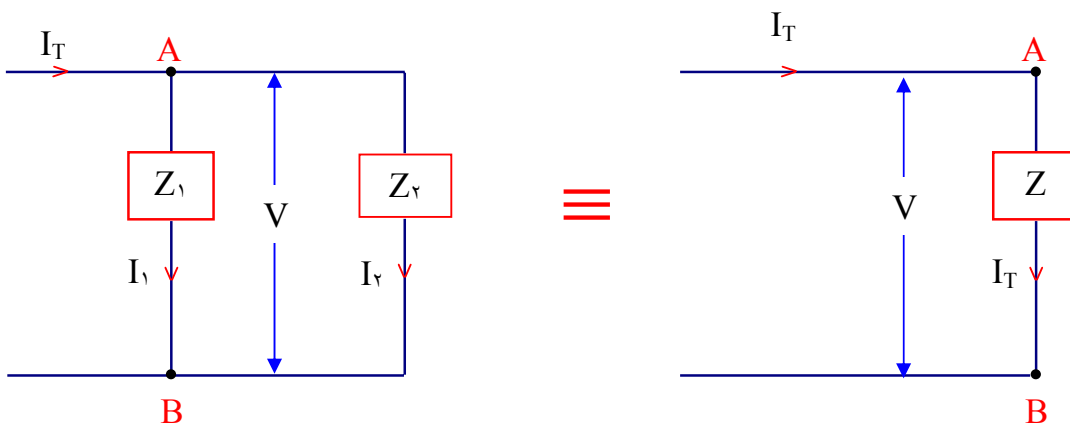
$$\bar{I}_1 = 10.14 + j 1.84 = 10.3 \text{ A} \angle 10.28^\circ$$

وفي مجال الحديث عن قانون كيرشوف للتيار سوف نتناول بعض النظريات الفرعية المنبثقة عنه.

٤-٢-١-١ توصيل المعاوقيات على التوازي Parallel Connection

بالرجوع إلى شكل رقم (٤-٧) للمثال رقم (٤-٤)، نجد أن المعاوقيتين Z_1 ، Z_2 موصلتين معاً بطريقة التوازي (راجع هندسة كهربائية -١)، فنلاحظ أن أطراف بداية المعاوقيتين موصلتين معاً وكذلك أطراف نهايتهما موصلتين معاً، وليس هناك في المنتصف أية توصيلات أخرى وأن الجهد الواقع على كل معاوقة هو نفس الجهد V وهذه هي شروط توصيل التوازي..

ويمكن الاستعاضة عن المعاوقيتين المتوازيتين بمعاوقة واحدة Z مكافئة لهما كما هو مبين بالشكل رقم (٤-١٠)، ويمكن حساب قيمتها كما يلي:



شكل رقم (٤-١٠) المعاوقيات على التوازي

وبهذا يمكن كتابة الجهد بصورة اتجاهية كالتالي:

$$\bar{V} = \bar{I}_1 \bar{Z}_1 = \bar{I}_2 \bar{Z}_2 = \bar{I}_T \bar{Z} \quad (٥-٤)$$

وبتطبيق قانون كيرشوف للتيار:

$$(\bar{I}_T) = (\bar{I}_1 + \bar{I}_2) \quad (٦-٤)$$

وبالتعويض عن قيمة \bar{I}_i في المعادلة (٤)، نحصل على:

$$\left(\frac{\bar{V}}{\bar{Z}} \right) = \left(\frac{\bar{V}}{\bar{Z}_1} + \frac{\bar{V}}{\bar{Z}_2} \right) \quad (٧-٤)$$

وبقسمة الطرفين على \bar{Z} ، نحصل على الآتي:

$$\left(\frac{1}{\bar{Z}} \right) = \left(\frac{1}{\bar{Z}_1} + \frac{1}{\bar{Z}_2} \right) \quad (٨-٤)$$

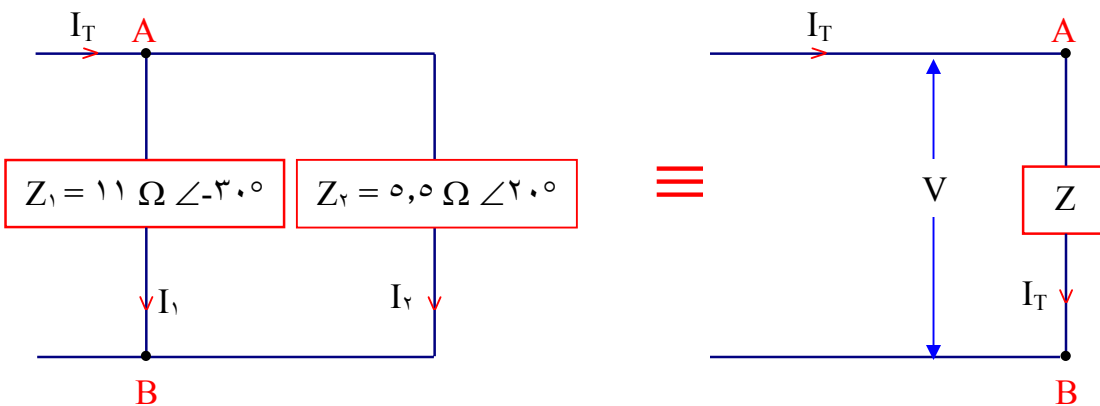
$$\left(\frac{1}{\bar{Z}} \right) = \left(\frac{\bar{Z}_1 + \bar{Z}_2}{\bar{Z}_1 \bar{Z}_2} \right) \quad (9-4)$$

$$\left(\bar{Z} \right) = \left(\frac{\bar{Z}_1 \bar{Z}_2}{\bar{Z}_1 + \bar{Z}_2} \right) \quad (10-4)$$

وهذه الصورة هي نفس الصورة في حالة دوائر التيار المستمر مع الأخذ في الاعتبار هنا أن هذه المعادلة هي معادلة اتجاهية.

مثال رقم (٤ - ٤)

للمثال رقم (٤ - ٤) احسب قيمة المعاوقة المكافئة للمعاوقتين Z_1 & Z_2 .



شكل رقم (٤ - ١١) الدائرة الكهربائية لمثال رقم (٤ - ٤)

الحل

تم حساب قيمة كل من المعاوقتين Z_1 & Z_2 في المثال رقم (٤ - ٤)، وكانت القيم كالتالي:

$$Z_1 = 11 \Omega \angle -30^\circ$$

$$Z_2 = 5.5 \Omega \angle 20^\circ$$

ولحساب المعاوقة المكافئة لهما Z نطبق القانون رقم (٤ - ١٠) كالتالي:

$$\left(\bar{Z} \right) = \left(\frac{\bar{Z}_1 \bar{Z}_2}{\bar{Z}_1 + \bar{Z}_2} \right) = \frac{11 \Omega \angle -30^\circ \times 5.5 \Omega \angle 20^\circ}{11 \Omega \angle -30^\circ + 5.5 \Omega \angle 20^\circ} = \frac{11 \Omega \times 5.5 \Omega \angle -30^\circ + 20^\circ}{(9.52 - j 5.5) + (5.17 + j 1.88)}$$

$$(\bar{Z}) = \frac{60.5 \angle -10^\circ}{(14.69 - j3.62)} = \frac{60.5 \Omega^2 \angle -10^\circ}{15.13 \Omega \angle -13.84^\circ}$$

$$(\bar{Z}) = \frac{60.5 \Omega^2}{15.13 \Omega} \angle (-10^\circ + 13.84^\circ) = 4 \Omega \angle 3.84^\circ$$

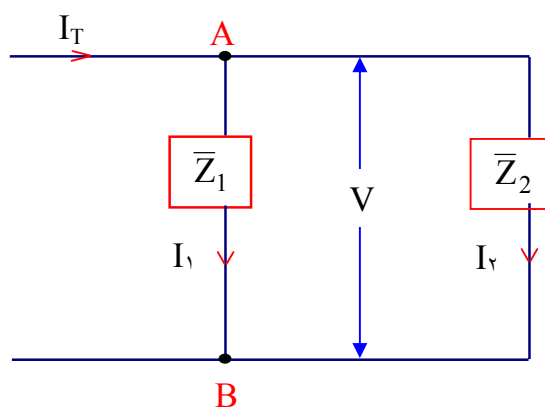
- ولتأكيد هذه القيمة وحسب قانون أوم، يمكن حساب قيمة التيار المار في هذه المعاوقة (مثال رقم ٤)، كالتالي:

$$I_T = \frac{110 \text{ V} \angle 0^\circ}{4 \Omega \angle 384^\circ} = 27.5 \text{ A} \angle -3.84^\circ$$

وهي نفس القيمة التي حصلنا عليها في المثال رقم (٤ - ٣).

قانون تجزیه التيار Current Divider

بالرجوع إلى شكل (٤-١٢) نجد أن التيار الكلى يتفرع إلى تيارين فرعين، I₁ و I₂.



شكل رقم (٤-١٢) تجزئ التيار بين المعاوقيات

ويمكن استنتاج العلاقة بين التيار الكلى I_T والتيارات الفرعية I_1, I_2, I_3 كالتالي:

$$\therefore (\bar{I}_T) = (\bar{I}_1 + \bar{I}_2) \quad (11-1)$$

$$\therefore (\bar{I}_2) = (\bar{I}_T - \bar{I}_1)$$

$$\therefore \bar{V} = \bar{I}_1 \bar{Z}_1 + \bar{I}_2 \bar{Z}_2 = \bar{I}_T \bar{Z}$$

$$\therefore \bar{V} = \bar{I}_1 \bar{Z}_1 = (\bar{I}_T - \bar{I}_1) \bar{Z}_2 \quad (14-1)$$

$$\bar{I}_1 \bar{Z}_1 + \bar{I}_1 \bar{Z}_2 = \bar{I}_T \bar{Z}_2 \quad (18-\xi)$$

$$\bar{I}_l (\bar{Z}_l + \bar{Z}_2) = \bar{I}_T \bar{Z}_2 \quad (17-1)$$

$$\therefore \bar{I}_1 = \bar{I}_T \frac{\bar{Z}_2}{(\bar{Z}_1 + \bar{Z}_2)} \quad (17-4)$$

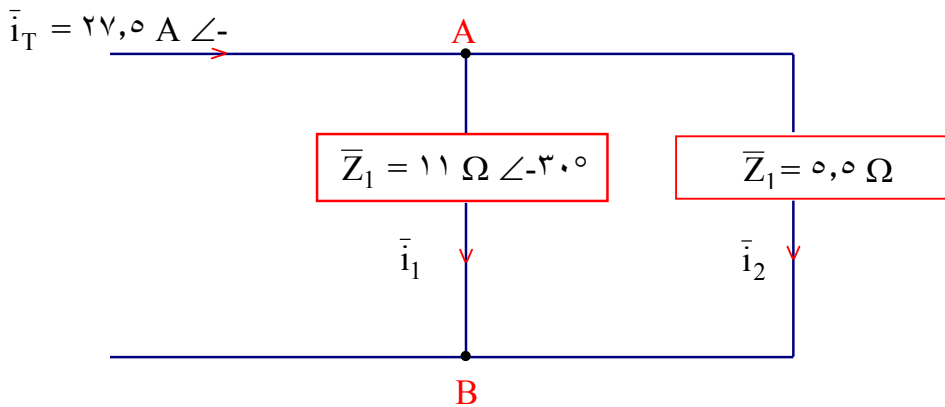
وبالمثل:

$$\therefore \bar{I}_2 = \bar{I}_T \frac{\bar{Z}_1}{(\bar{Z}_1 + \bar{Z}_2)} \quad (18-4)$$

وهذا هو قانون تقسيم التيار في الدوائر المتوازية، ويلاحظ التشابه بين هذه الصورة وصورة تقسيم التيار في دوائر التيار المستمر، مع ملاحظة أن المعادلات هنا معادلات اتجاهية.

مثال رقم (٤)

في الشكل المقابل رقم (٤ - ١٣)، احسب التيار الفرعية \bar{I}_1 , \bar{I}_2 .



شكل رقم (٤ - ١٣) الدائرة الكهربائية للمثال رقم (٤ - ٧)

الحل

بتطبيق قانون تقسيم التيار رقم (٤ - ١٨) و (٤ - ١٧)، يمكن أن نحصل على التيار الفرعية I_1 , I_2 كالتالي:

$$\bar{I}_1 = \bar{I}_T \frac{\bar{Z}_2}{(\bar{Z}_1 + \bar{Z}_2)} = (27.5 \text{ A} \angle -3.84^\circ) \times \left(\frac{5.5 \Omega \angle 20^\circ}{11 \Omega \angle -30^\circ + 5.5 \Omega \angle 20^\circ} \right)$$

$$\bar{I}_1 = (27.5 \text{ A} \angle -3.84^\circ) \times \left(\frac{5.5 \Omega \angle 20^\circ}{(9.53 - j5.5) + (5.17 + j1.88)} \right)$$

$$\bar{I}_1 = (27.5 \text{ A} \angle -3.84^\circ) \times \left(\frac{5.5 \Omega \angle 20^\circ}{14.7 - j3.62} \right)$$

$$\bar{i}_1 = (27.5 \text{ A} \angle -3.84^\circ) \times \left(\frac{5.5 \Omega \angle 20^\circ}{15.14 \Omega \angle -13.84^\circ} \right)$$

$$\bar{i}_1 = (27.5 \text{ A} \angle -3.84^\circ) \times (0.363 \angle 33.84^\circ) = 10 \text{ A} \angle 30^\circ$$

$$\bar{i}_2 = \bar{i}_T \frac{\bar{Z}_1}{(\bar{Z}_1 + \bar{Z}_2)} = (27.5 \text{ A} \angle -3.84^\circ) \times \left(\frac{11 \Omega \angle -30^\circ}{11 \Omega \angle -30^\circ + 5.5 \Omega \angle 20^\circ} \right)$$

$$\bar{i}_2 = (27.5 \text{ A} \angle -3.84^\circ) \times \left(\frac{11 \Omega \angle -30^\circ}{15.14 \Omega \angle -13.84^\circ} \right) = 20 \text{ A} \angle -20^\circ$$

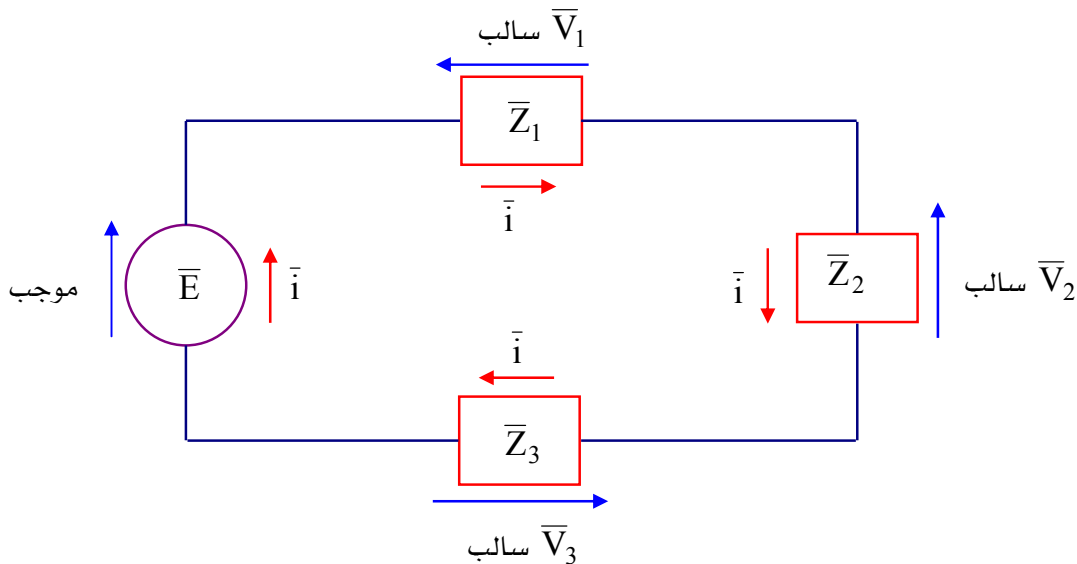
ونلاحظ أن قيم التيارات الفرعية المستندة في هذا المثال هي نفس القيم في المثال رقم (٤ - ٣) مما يدل على صحة تطبيق قانون تقسيم التيارات.

٤ - ٢- ٢- قانون كيرشوف للجهود Kirchhoff's Voltage Law

ينص قانون كيرشوف للجهود أن " في أي دائرة كهربائية مغلقة يكون المجموع الجبري للجهود الكهربائية اللحظية على مكونات هذه الدائرة يساوي صفرًا ، ويعبر عنه رياضيًّا كما يأتي :

$$\sum_{k=1}^{n} \bar{v}_k = 0 \quad (١٩-٤)$$

حيث n هو عدد الجهود الموجودة في هذه الدائرة الكهربائية ، وبأخذ التيار مرجعاً تعتبر الجهود اللحظية في اتجاه التيار موجبة بينما الجهود اللحظية في عكس اتجاه التيار تعتبر سالبة . ويلاحظ هنا أن الجهود جميعها كميات اتجاهية . وشكل رقم (٤ - ١٤) يوضح أحد هذه الدوائر الكهربائية .



شكل (٤ - ١٤) تقسيم الجهد في دائرة تيار متردد متواالية

وعلى هذا يمكن أن يكتب قانون كيرشوف للجهود للشكل السابق كالتالي:

$$\bar{E} - \bar{V}_1 - \bar{V}_2 - \bar{V}_3 = 0 \quad (٤-١٤)$$

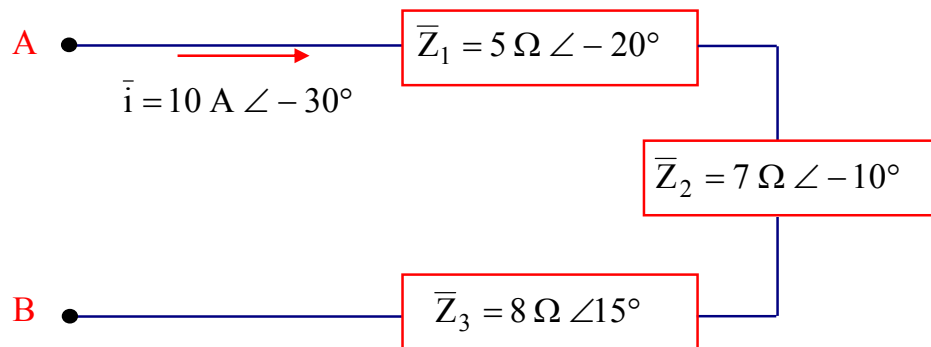
أو بصورة أخرى:

$$\bar{E} = \bar{V}_1 + \bar{V}_2 + \bar{V}_3 \quad (٤-١٥)$$

يلاحظ أن اتجاه الجهد عكس اتجاه التيار في المعاوقيات وفي اتجاه التيار بالنسبة لمصدر الجهد.

مثال رقم (٤-٨)

في شكل رقم (٤-١٥) احسب الجهد بين النقطتين A, B.



شكل رقم (٤-١٥) الدائرة الكهربائية للمثال رقم (٤-٨)

الحل

لحساب الجهد بين النقطتين، نطبق قانون كيرشوف للجهود كالتالي:

$$\bar{V}_{AB} = \bar{V}_1 + \bar{V}_2 + \bar{V}_3$$

ويمكن حساب كل جهد من الجهود الثلاثة على حدة كالتالي:

$$\bar{V}_1 = \bar{i} \cdot \bar{Z}_1 = (10 \text{ A} \angle -30^\circ) \cdot (5 \Omega \angle -20^\circ) = 50 \text{ V} \angle -50^\circ$$

$$\bar{V}_2 = \bar{i} \cdot \bar{Z}_2 = (10 \text{ A} \angle -30^\circ) \cdot (7 \Omega \angle -10^\circ) = 70 \text{ V} \angle -40^\circ$$

$$\bar{V}_3 = \bar{i} \cdot \bar{Z}_3 = (10 \text{ A} \angle -30^\circ) \cdot (8 \Omega \angle 15^\circ) = 80 \text{ V} \angle -15^\circ$$

وبالتعويض في معادلة الجهد V_{AB} ، نحصل على الآتي:

$$\bar{V}_{A-B} = \bar{V}_1 + \bar{V}_2 + \bar{V}_3 = 50 \text{ V} \angle -50^\circ + 70 \text{ V} \angle -40^\circ + 80 \text{ V} \angle -15^\circ$$

$$\bar{V}_{AB} = (32.14 - j38.3) + (53.62 - j45) + (77.27 - j20.7) =$$

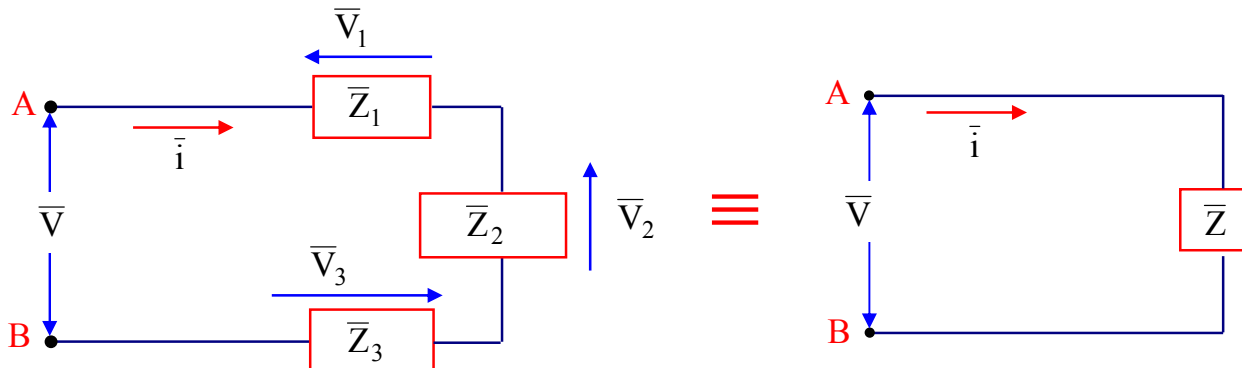
$$\bar{V}_{AB} = 163 - j104 = 193.4 \text{ V} \angle -32.54^\circ$$

وفي مجال الحديث عن قانون كيرشوف للجهود سوف نتناول بعض النظريات الفرعية المنبثقة عنه.

٤-٢-٢-١ توصيل المعاوقيات على التوالى Series Connection

بالرجوع إلى شكل رقم (٤-١٥) للمثال رقم (٤-٨)، نجد أن المعاوقيات $\bar{Z}_1, \bar{Z}_2, \bar{Z}_3$ موصولة معاً بطريقة التوالى (راجع هندسة كهربائية -١)، فنلاحظ أن طرف نهاية المعاوقة \bar{Z}_1 موصل مع طرف بداية المعاوقة \bar{Z}_2 وكذلك طرف نهاية المعاوقة \bar{Z}_2 موصل مع طرف بداية المعاوقة \bar{Z}_3 وأن نقط التوصيل بين المعاوقيات لا يتصل بها أية معاوقة أخرى وأن التيار المار في المعاوقيات الثلاثة هو نفس التيار \bar{i} وهذه هي شروط توصيل التوالى.

ويمكن الاستعاضة عن المعاوقيات المتوازية بمعاوقة واحدة \bar{Z} مكافئة لها كما هو مبين بالشكل رقم (٤-١٦)، ويمكن حساب قيمتها كما يلي:



شكل رقم (٤-١٦) توصيل المعاوقيات على التوالى

من قانون كيرشوف للجهود الجهد \bar{V} يساوي مجموع الجهد الفرعية كما يأتي:

$$\bar{V} = \bar{V}_1 + \bar{V}_2 + \bar{V}_3$$

وبمساواة الجهد بين النقطتين A, B في الحالتين، نحصل على ما يأتي:

$$\bar{V} = \bar{i} \bar{Z}_1 + \bar{i} \bar{Z}_2 + \bar{i} \bar{Z}_3 = \bar{i} \bar{Z} \quad (٤-٢٢)$$

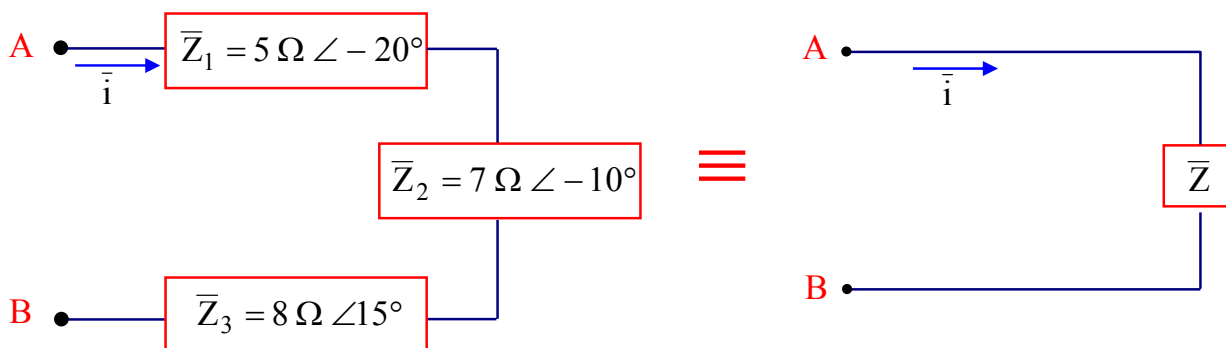
وبقسمة الطرفين على التيار \bar{i} ، نحصل على الآتى:

$$\therefore \bar{Z}_1 + \bar{Z}_2 + \bar{Z}_3 = \bar{Z} \quad (٤-٢٣)$$

أي أن المعاوقة المكافئة لمجموعة من المعاوقيات المتوازية تساوى مجموع هذه المعاوقيات ويلاحظ هنا أيضاً أن المجموع اتجاهي وليس مجموع جبri.

مثال رقم (٤-٩)

في المثال رقم (٤-٨) احسب المعاوقة المكافئة للدائرة.



شكل رقم (٤-١٧) الدائرة الكهربائية للمثال رقم (٤-٩)

الحل

نجد في شكل رقم (٤-١٧) أن طرف نهاية المعاوقة Z_1 موصى بطرف بداية المعاوقة Z_2 وكذلك طرف نهاية المعاوقة Z_2 موصى بطرف بداية المعاوقة Z_3 وأن نقط التوصيل بين المعاوقيات لا يتصل بها أية معاوقة أخرى وأن التيار المار في المعاوقيات الثلاثة هو نفس التيار i وهذه هي شروط توصيل التوالي. إذن المعاوقيات الثلاثة موصولة على التوالي، ويمكن وبالتالي حساب المعاوقة المكافئة لها كالتالي:

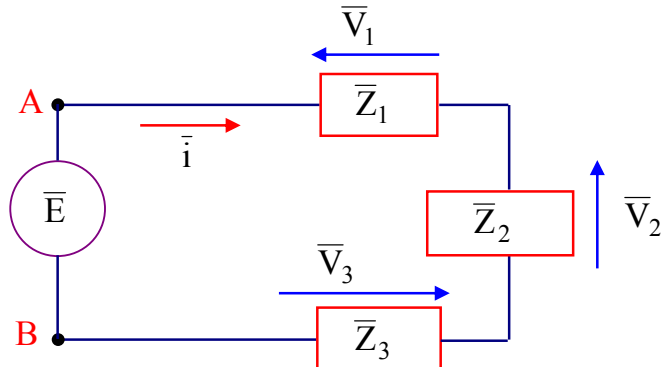
$$\bar{Z}_{eq} = \bar{Z}_1 + \bar{Z}_2 + \bar{Z}_3 = 5 \Omega \angle -20^\circ + 7 \Omega \angle -10^\circ + 8 \Omega \angle 15^\circ$$

$$\bar{Z}_{eq} = (4.7 - j1.71)\Omega + (6.9 - j1.22)\Omega + (7.7 + j2.1)\Omega$$

$$\bar{Z}_{eq} = (19.3 - j0.83) = 19.32 \Omega \angle -2.46^\circ$$

٤-٢-٢-٢- قانون تجزء الجهد Potential Divider

بالرجوع إلى شكل رقم (٤-١٨) نجد أن مجموع الجهد على المعاوقيات الثلاثة المتوازية Z_1, Z_2, Z_3 هو جهد المصدر E ، وهذا يعني أن الجهد V يتقسم ما بين المعاوقيات الثلاثة حسب قيم معاوقيتها، وهو ما سوف نثبته كالتالي:



شكل رقم (٤-١٨) تجزؤ الجهد في الدائرة الكهربائية المتوازية

حسب قانون أوم:

$$\bar{V}_1 = \bar{i} \cdot \bar{Z}_1 \quad (٢٤-٤)$$

$$\bar{V}_2 = \bar{i} \cdot \bar{Z}_2 \quad (٢٥-٤)$$

$$\bar{V}_3 = \bar{i} \cdot \bar{Z}_3 \quad (٢٦-٤)$$

حسب قانون كيرشوف للجهود:

$$\bar{E} = \bar{V}_1 + \bar{V}_2 + \bar{V}_3 = \bar{i} \cdot (\bar{Z}_1 + \bar{Z}_2 + \bar{Z}_3) \quad (٢٧-٤)$$

وبقسمة \bar{V}_1 على \bar{E} ، نحصل على:

$$\frac{\bar{V}_1}{\bar{E}} = \frac{\bar{Z}_1}{(\bar{Z}_1 + \bar{Z}_2 + \bar{Z}_3)} \quad (٢٨-٤)$$

وبضرب الطرفين في \bar{E} ، نحصل على:

$$\bar{V}_1 = \bar{E} \cdot \left(\frac{\bar{Z}_1}{(\bar{Z}_1 + \bar{Z}_2 + \bar{Z}_3)} \right) \quad (٢٩-٤)$$



وبالمثل بقسمة الجهد \bar{V}_2 على \bar{E} ، نحصل على:

$$\frac{\bar{V}_2}{\bar{E}} = \frac{\bar{Z}_2}{(\bar{Z}_1 + \bar{Z}_2 + \bar{Z}_3)} \quad (30-4)$$

وبضرب الطرفين $\times \bar{E}$ ، نحصل على:

$$\bar{V}_2 = \bar{E} \cdot \left(\frac{\bar{Z}_2}{(\bar{Z}_1 + \bar{Z}_2 + \bar{Z}_3)} \right) \quad (31-4)$$

وبالمثل بقسمة الجهد \bar{V}_3 على \bar{E} ، نحصل على:

$$\frac{\bar{V}_3}{\bar{E}} = \frac{\bar{Z}_3}{(\bar{Z}_1 + \bar{Z}_2 + \bar{Z}_3)} \quad (32-4)$$

وبضرب الطرفين $\times \bar{E}$ ، نحصل على:

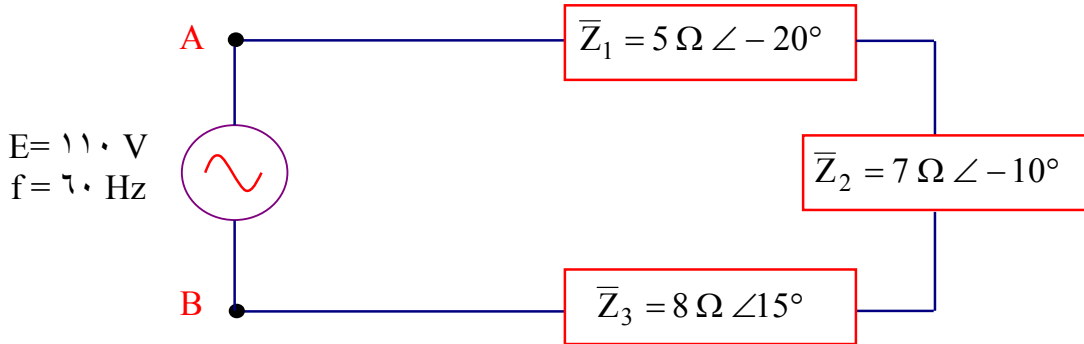
$$\bar{V}_3 = \bar{E} \cdot \left(\frac{\bar{Z}_3}{(\bar{Z}_1 + \bar{Z}_2 + \bar{Z}_3)} \right) \quad (33-4)$$

وعلى وجه العموم يمكن أن نقول أن:

$$\bar{V}_x = \bar{E} \cdot \left(\frac{\bar{Z}_x}{(\bar{Z}_T)} \right)$$

مثال رقم (٤ - ١٠)

في شكل رقم (٤ - ١٩) احسب الجهد على كل معاوقة من المعاوقيات الثلاثة باستخدام قانون تقسيم الجهود.



شكل رقم (٤ - ١٩) الدائرة الكهربائية للمثال رقم (٤ - ١٠٠)

الحل

العواقبات الثلاثة موصولة على التوالي وذلك لاستيفاء الشروط الخاصة بذلك (أثبت ذلك). إذن يمكننا استخدام قانون تجزء الجهد كما يلي:

$$\bar{V}_1 = \bar{E} \cdot \left(\frac{\bar{Z}_1}{(\bar{Z}_1 + \bar{Z}_2 + \bar{Z}_3)} \right)$$

$$\bar{V}_1 = (110 \text{ V} \angle 0^\circ) \cdot \left(\frac{5 \Omega \angle -20^\circ}{((5 \Omega \angle -20^\circ) + (7 \Omega \angle -10^\circ) + (8 \Omega \angle 15^\circ))} \right)$$

$$\bar{V}_1 = (110 \text{ V} \angle 0^\circ) \cdot \left(\frac{5 \Omega \angle -20^\circ}{((5 \Omega \angle -20^\circ) + (7 \Omega \angle -10^\circ) + (8 \Omega \angle 15^\circ))} \right)$$

$$\bar{V}_1 = (110 \text{ V} \angle 0^\circ) \cdot \left(\frac{5 \Omega \angle -20^\circ}{((4.7 - j1.71)\Omega + (6.9 - j1.22)\Omega + (7.7 + j2.1)\Omega)} \right)$$

$$\bar{V}_1 = (110 \text{ V} \angle 0^\circ) \cdot \left(\frac{5 \Omega \angle -20^\circ}{(19.32 \Omega \angle -2.46^\circ)} \right) = 28.47 \text{ V} \angle -17.54^\circ$$

$$\bar{V}_2 = \bar{E} \cdot \left(\frac{\bar{Z}_2}{(\bar{Z}_1 + \bar{Z}_2 + \bar{Z}_3)} \right) = (110 \text{ V} \angle 0^\circ) \cdot \left(\frac{7 \Omega \angle -10^\circ}{(19.32 \Omega \angle -2.46^\circ)} \right)$$

$$\bar{V}_2 = 39.86 \text{ V} \angle -7.54^\circ$$

$$\bar{V}_3 = \bar{E} \cdot \left(\frac{\bar{Z}_3}{(\bar{Z}_1 + \bar{Z}_2 + \bar{Z}_3)} \right) = (110 \text{ V} \angle 0^\circ) \cdot \left(\frac{8 \Omega \angle 15^\circ}{(19.32 \Omega \angle -2.46^\circ)} \right)$$

$$\bar{V}_3 = 45.55 \text{ V} \angle 17.46^\circ$$

ولتأكيد صحة الحل نجمع الجهد V_1, V_2, V_3 كالتالي:

$$\bar{E} = \bar{V}_1 + \bar{V}_2 + \bar{V}_3 = 28.47 \angle -17.54^\circ + 39.86 \angle -7.54^\circ + 45.55 \angle 17.46^\circ$$

$$\bar{E} = (27.1 - j8.5) \text{ V} + (39.5 - j5.2) + (43.4 + j13.7) = (110 - j0) = 110 \text{ V} \angle 0^\circ$$

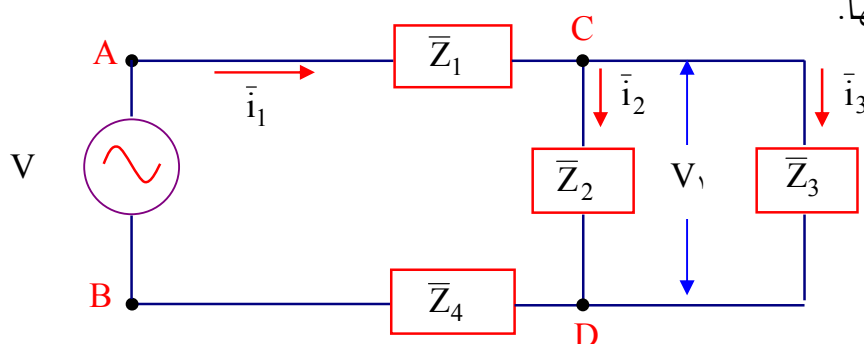
٤-٣- الدوائر المركبة Compound Circuits

بعد استعراض توصيل الدوائر على التوالى وتوصيلها على التوازى، سنتعرض الآن إلى التوصيلات المركبة لدوائر التيار المتردد.

في شكل رقم (٤-٢٠)، تكون الدائرة الكهربائية من مجموعة من المعاوقات بعضها موصولة على التوازى وبعضها موصولة على التوالى، فمثلاً المعاوقة Z_2 موصولة على التوازى (راجع شروط التوازى)، وكذلك المعاوقة Z_1 موصولة على التوالى ومعهما مصدر الجهد أيضاً (راجع شروط التوالى).

وهناك كثير من نظريات الدوائر الكهربائية التي تمكنا من التعامل مع مثل هذه الدوائر، سوف

نستعرض البعض منها.



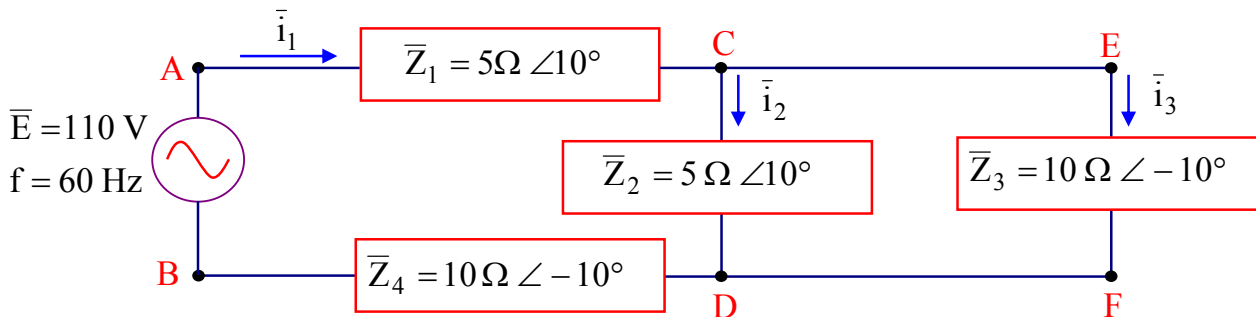
شكل (٤-٢٠) دائرة كهربائية مركبة

٤-٢-١ طريقة الاختزال Simplification Method

وطريقة الاختزال تتلخص في اختزال الدائرة الكهربائية أو تبسيطها إلى أقل عدد من المعاوقات ويحسن أن تختزل إلى معاوقة واحدة ومصدر جهد، وبتطبيق قانون أوم وقوانين كيرشوف يمكن حل الدائرة الكهربائية.

مثال رقم (٤ - ١١)

في شكل رقم (٤ - ٢١) احسب: التيارات \bar{i}_1 , \bar{i}_2 & \bar{i}_3 .



شكل رقم (٤ - ٢١) الدائرة الكهربائية للمثال رقم (٤ - ١١)

الحل:

يمكن حل هذه المسألة عن طريق قوانين كيرشوف ويمكن أيضاً حلها عن طريق الاختزال وسوف نعرض كل طريقة منها.

أولاًً: عن طريق قوانين كيرشوف

لحل هذه المسألة المطلوب إيجاد تيارات الدائرة الثلاثة، أي لدينا ثلاثة مجاهيل وعلى ذلك لابد من تكوين ثلاثة معادلات للحصول على هذه المجاهيل الثلاثة. وهذه المعادلات يمكن تكوينها عن طريق قوانين كيرشوف كما يلي:

- عند العقدة C نستطيع تطبيق قانون كيرشوف للتيارات كما يلي:

$$\bar{i}_1 = \bar{i}_2 + \bar{i}_3$$

- للدائرة المغلقة ACDB يمكن تطبيق قانون كيرشوف للجهود كما يلي:

$$\bar{E} = \bar{i}_1 \bar{Z}_1 + \bar{i}_2 \bar{Z}_2 + \bar{i}_1 \bar{Z}_4 = \bar{i}_1 (\bar{Z}_1 + \bar{Z}_4) + \bar{i}_2 \bar{Z}_2$$

$$\bar{E} = \bar{i}_1 (\bar{Z}_1 + \bar{Z}_4) + (\bar{i}_1 - \bar{i}_3) \bar{Z}_2$$

- للدائرة المغلقة CEFD يمكن تطبيق قانون كيرشوف للجهود كما يلي:

$$\bar{i}_2 \bar{Z}_2 = \bar{i}_3 \bar{Z}_3$$

وهو ما يعني أن المعاوقيتين متوازيتان (الجهد الواقع عليهما واحد)

وبالتالي يمكن حساب التيار \bar{i}_3 كما يلي:

$$\bar{i}_3 = \frac{\bar{i}_2 \bar{Z}_2}{\bar{Z}_3}$$

وبالتعويض في المعادلة الأولى:

$$\bar{i}_1 = \bar{i}_2 + \frac{\bar{i}_2 \bar{Z}_2}{\bar{Z}_3} = \bar{i}_2 \frac{(\bar{Z}_3 + \bar{Z}_2)}{\bar{Z}_3}$$

وهكذا يمكن حساب التيار \bar{i}_2 كما يلي:

$$\bar{i}_2 = \bar{i}_1 \frac{\bar{Z}_3}{(\bar{Z}_3 + \bar{Z}_2)}$$

وبالتعويض في المعادلة الثانية:

$$\bar{E} = \bar{i}_1 (\bar{Z}_1 + \bar{Z}_4) + \bar{i}_1 \left(\frac{\bar{Z}_3 \bar{Z}_2}{(\bar{Z}_3 + \bar{Z}_2)} \right) = \bar{i}_1 \left(\bar{Z}_1 + \bar{Z}_4 + \frac{\bar{Z}_3 \bar{Z}_2}{(\bar{Z}_3 + \bar{Z}_2)} \right)$$

وهكذا يمكن حساب التيار \bar{i}_1 كما يلي:

$$\bar{i}_1 = \frac{\bar{E}}{\bar{Z}_1 + \bar{Z}_4 + \frac{\bar{Z}_3 \bar{Z}_2}{(\bar{Z}_3 + \bar{Z}_2)}}$$

$$\bar{i}_1 = \frac{110 \text{ V} \angle 0^\circ}{\left(5 \Omega \angle 10^\circ + 10 \Omega \angle -10^\circ + \frac{(10 \Omega \angle -10^\circ) \cdot (5 \Omega \angle 10^\circ)}{(10 \Omega \angle -10^\circ) + (5 \Omega \angle 10^\circ)} \right)}$$

$$\bar{i}_1 = \frac{110 \text{ V} \angle 0^\circ}{\left(5 \Omega \angle 10^\circ + 10 \Omega \angle -10^\circ + \frac{(50 \Omega^2 \angle 0^\circ)}{(9.85 - j1.74)\Omega + (4.92 + j0.87)\Omega} \right)}$$

$$\bar{i}_1 = \frac{110 \text{ V} \angle 0^\circ}{\left(5 \Omega \angle 10^\circ + 10 \Omega \angle -10^\circ + \frac{(50 \Omega^2 \angle 0^\circ)}{(14.77 - j0.87)\Omega} \right)}$$

$$\bar{i}_1 = \frac{110 \text{ V} \angle 0^\circ}{\left(5 \Omega \angle 10^\circ + 10 \Omega \angle -10^\circ + \frac{(50 \Omega^2 \angle 0^\circ)}{(14.8 \Omega \angle -3.37^\circ)} \right)}$$

$$\bar{i}_1 = \frac{110 \text{ V} \angle 0^\circ}{(5 \Omega \angle 10^\circ + 10 \Omega \angle -10^\circ + 3.38 \Omega \angle 3.37^\circ)}$$

$$\bar{i}_1 = \frac{110 \text{ V} \angle 0^\circ}{((4.92 + j0.87) \Omega + (9.85 - j1.74) \Omega + (3.37 + j0.2) \Omega)}$$

$$\bar{i}_1 = \frac{110 \text{ V} \angle 0^\circ}{(18.14 - j0.67) \Omega} = \frac{110 \text{ V} \angle 0^\circ}{18.15 \Omega \angle -2.12^\circ} = 6.05 \text{ A} \angle 2.12^\circ$$

ثم بالتعويض في قيمة التيار \bar{i}_2 :

$$\bar{i}_2 = \bar{i}_1 \frac{\bar{Z}_3}{(\bar{Z}_3 + \bar{Z}_2)} = (6.05 \text{ A} \angle 2.12^\circ) \cdot \left(\frac{(10 \Omega \angle -10^\circ)}{((10 \Omega \angle -10^\circ) + (5 \Omega \angle 10^\circ))} \right)$$

$$\bar{i}_2 = (6.05 \text{ A} \angle 2.12^\circ) \cdot \left(\frac{(10 \Omega \angle -10^\circ)}{((9.85 - j1.74) \Omega + (4.92 + j0.87) \Omega)} \right) =$$

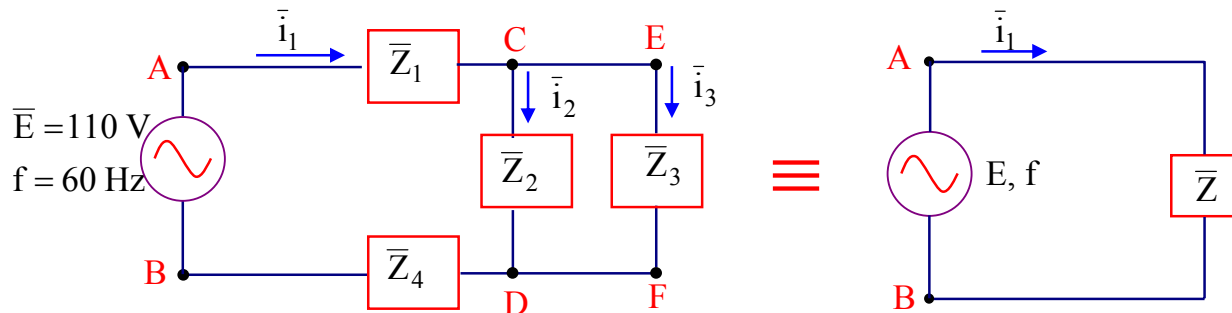
$$\bar{i}_2 = (6.05 \text{ A} \angle 2.12^\circ) \cdot \left(\frac{(10 \Omega \angle -10^\circ)}{(14.77 - j0.87)} \right) =$$

$$\bar{i}_2 = (6.05 \text{ A} \angle 2.12^\circ) \cdot \left(\frac{10 \Omega \angle -10^\circ}{14.8 \Omega \angle -3.4^\circ} \right) = 4.09 \text{ A} \angle -4.5^\circ$$

ثم بالتعويض في قيمة التيار \bar{i}_3 :

$$\bar{i}_3 = \frac{\bar{i}_2 \bar{Z}_2}{\bar{Z}_3} = \frac{(4.09 \text{ A} \angle -4.5^\circ) \cdot (5 \Omega \angle 10^\circ)}{10 \Omega \angle -10^\circ} = 2.05 \text{ A} \angle 15.5^\circ$$

ثانياً: عن طريق الاختزال



شكل رقم (٤ - ٢٢) طريقة الاختزال

يمكن كما هو مبين بالشكل رقم (٤ - ٢٢)، اختزال الدائرة إلى معاوقة واحدة تحتوي على المعاوقتين Z_2 ، Z_3 موصلتين معاً على التوازي وموصلتين على التوالي مع المعاوقتين Z_1 ، Z_4 وهكذا تكون قيمة المعاوقة المكافئة Z كالتالي:

$$\bar{Z} = \bar{Z}_1 + \bar{Z}_4 + \frac{\bar{Z}_2 \bar{Z}_3}{\bar{Z}_2 + \bar{Z}_3}$$

وبالتالي يكون التيار الكلي المار في هذه المعاوقة هو التيار \bar{i}_1 ، الذي يمكن حساب قيمته كالتالي:

$$\bar{i}_1 = \frac{\bar{E}}{\left(\bar{Z}_1 + \bar{Z}_4 + \frac{\bar{Z}_3 \bar{Z}_2}{\bar{Z}_3 + \bar{Z}_2} \right)}$$

ويلاحظ أن هذه المعادلة هي نفس معادلة التيار \bar{i}_1 في طريقة كيرشوف السابقة، وبالتالي تكون قيمة التيار \bar{i}_1 ، كما تم حسابها سابقاً كالتالي:

$$\bar{i}_1 = 6.05 \text{ A} \angle 2.12^\circ$$

وللحصول على قيمة التيار \bar{i}_2 ، نستخدم قانون تقسيم التيار كما يلي:

$$\bar{i}_2 = \bar{i}_1 \frac{\bar{Z}_3}{(\bar{Z}_3 + \bar{Z}_2)}$$

ويلاحظ أن هذه المعادلة هي نفس معادلة التيار \bar{i}_2 في طريقة كيرشوف السابقة، وبالتالي تكون قيمة التيار \bar{i}_2 ، كما تم حسابها سابقاً كالتالي:

$$\bar{i}_2 = 4.09 \text{ A} \angle -4.5^\circ$$

و للحصول على قيمة التيار \bar{i}_3 ، يمكن استخدام عدة طرق لذلك:

- نستخدم قانون تقسيم التيار:

$$\bar{i}_3 = \bar{i}_1 \frac{\bar{Z}_2}{(\bar{Z}_2 + \bar{Z}_3)}$$

$$\bar{i}_3 = (6.05 \text{ A} \angle 2.12) \frac{5 \Omega \angle 10^\circ}{(14.8 \Omega \angle -3.4^\circ)} = 2.05 \text{ A} \angle 15.5^\circ$$

يلاحظ هنا أننا استخدمنا القيمة $\bar{Z}_2 + \bar{Z}_3$ المحسوبة في طريقة كيرشوف

- نستخدم قانون كيرشوف للتيارات:

$$\therefore \bar{i}_1 = \bar{i}_2 + \bar{i}_3$$

$$\therefore \bar{i}_3 = \bar{i}_1 - \bar{i}_2$$

$$\therefore \bar{i}_3 = (6.05 \text{ A} \angle 2.12) - (4.09 \text{ A} \angle -4.5^\circ) =$$

$$\therefore \bar{i}_3 = (6.05 + j0.22) - (4.08 - j0.32) = 1.97 + j0.54 = 2.05 \text{ A} \angle 15.5^\circ$$

- نستخدم قانون مساواة الجهد على المعاوقات الموازية:

$$\bar{i}_3 \bar{Z}_3 = \bar{i}_2 \bar{Z}_2$$

وبقسمة الطرفين على \bar{Z}_3 ، نحصل على:

$$\therefore \bar{i}_3 = \frac{\bar{i}_2 \bar{Z}_2}{\bar{Z}_3}$$

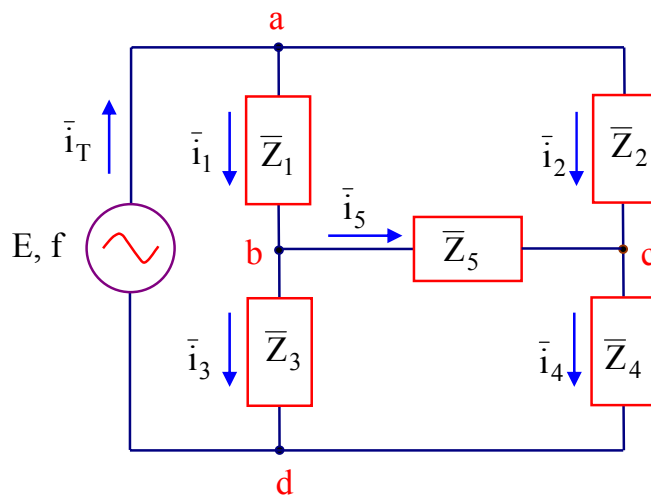
ويلاحظ أن هذا القانون هو نفسه المستخدم في الحل السابق بطريقة كيرشوف حيث كانت النتيجة:

$$\therefore \bar{i}_3 = 2.05 \text{ A} \angle 15.5^\circ$$

يلاحظ أن الطرق الثلاثة أعطت نفس الناتج لقيمة التيار \bar{I}_2 .

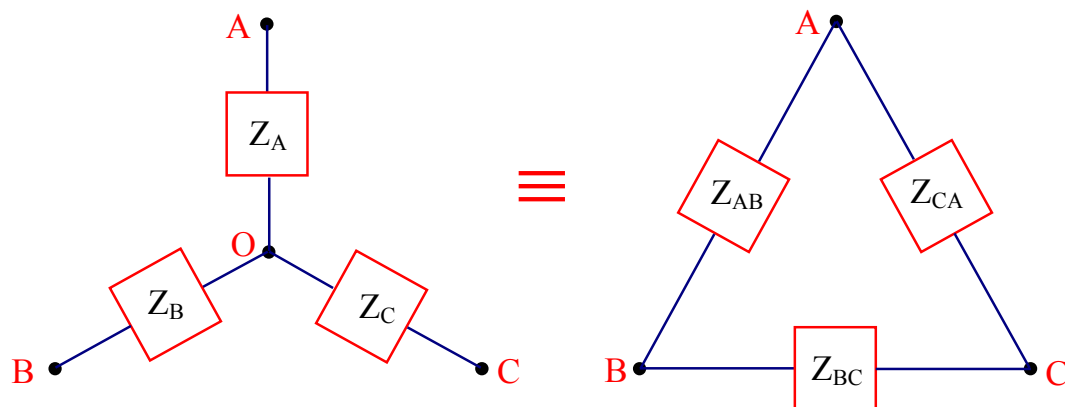
٤ - ٣- ٢- تحويلات الدلتا -نجمة و النجمة - دلتا

لو نظرنا إلى الشكل رقم (٤ - ٢٣)، لوجدنا أن توصيل المعاوقات في الدائرة لا يتبع توصيلات التوالى ولا يتبع أيضاً توصيلات التوازي. وبالتالي فإن الحل عن طريق الاختزال يصبح غير ممكن. وتصبح طريقة الحل المتأحة هي طريقة قوانين كيرشوف، التي كما رأينا تتطلب جهداً كبيراً الذي قد يتطلب وقتاً كبيراً و تتطلب أيضاً حرصاً في الحل لأن مصادر الأخطاء هنا تكون كثيرة.



شكل (٤ - ٢٣) دائرة كهربائية ذات توصيلات مركبة

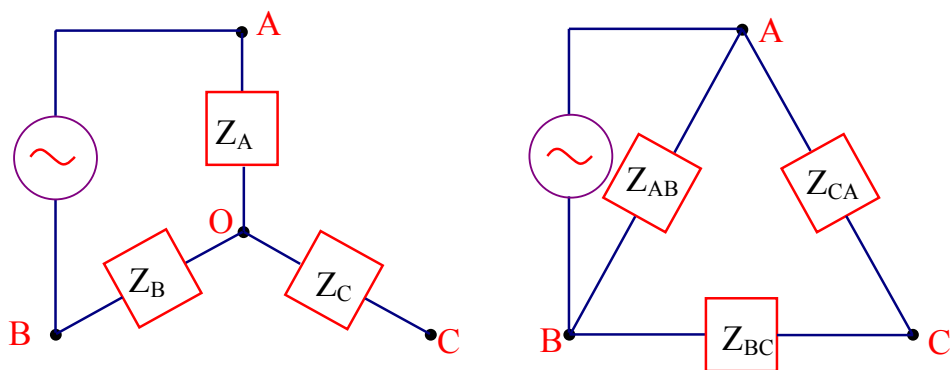
و تحويلات النجمة - دلتا والنجمة هي إحدى الطرق أو النظريات التي تسهل الحل في مثل هذه الدوائر. ولشرح هذه الطريقة أو النظرية، نستعين بشكل رقم (٤ - ٢٤) حيث أن النقاط الرئيسية A, B, C هي النقاط الرئيسية في الدائرة. وتسمى التوصيلة في الرسم الأيمن توصيلة الدلتا ويرمز لها بالرمز (Δ) في حين تسمى التوصيلة في الرسم الأيسر توصيلة النجمة ويرمز لها بالرمز (Y). ويمكن تحويل أي منها إلى الأخرى.



شكل رقم (٤ - ٢٤) توصيلات الدلتا والنجمة

وفي بعض الدوائر الكهربائية نجد أن العائق الأكبر في حل الدائرة بطريقة الاختزال هو وجود توصيلة الدلتا أو وجود توصيلة النجمة ويمكن حل الدائرة بسهولة عن طريق الاختزال إذا تم تحويل التوصيلة الموجودة إلى التوصيلة الأخرى. وسوف نستعرض هنا كيفية تحويل كل منهما إلى الأخرى. تحويل النجمة إلى دلتا

بالرجوع إلى شكل رقم (٤ - ٢٥)، إذا تخيلنا وجود مصدر للجهد بين النقطتين B, A، فتكون المعاوقة الكلية للتوصيلة ما بين النقطتين A, B بالنسبة للتوصيلة Y متساوية مع المعاوقة الكلية للتوصيلة ما بين النقطتين A, B بالنسبة للتوصيلة Z. وعلى ذلك يمكن استنتاج ما يلي:



شكل رقم (٤ - ٢٥) المعاوقات متساوية بين النقطتين A, B

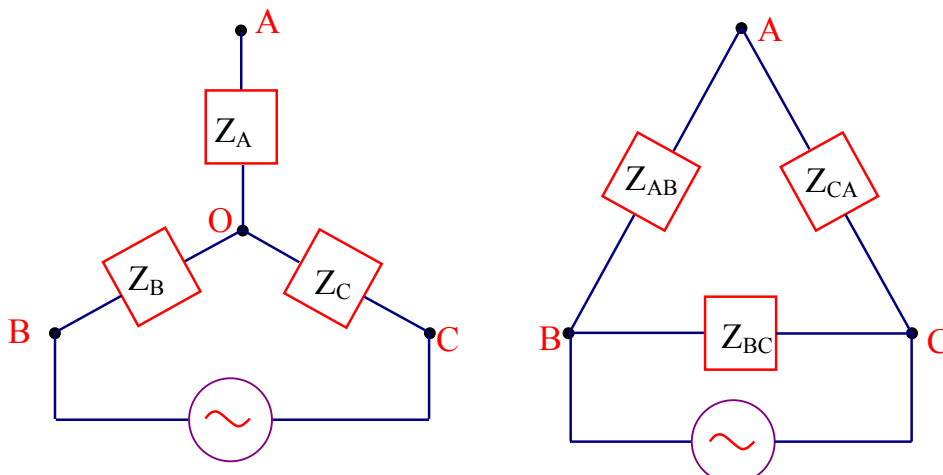
$$(\bar{Z}_A + \bar{Z}_B) = \left(\frac{\bar{Z}_{AB} \cdot (\bar{Z}_{BC} + \bar{Z}_{CA})}{\bar{Z}_{AB} + (\bar{Z}_{BC} + \bar{Z}_{CA})} \right) \quad (٣٤-٤)$$

$$(\bar{Z}_A + \bar{Z}_B) = \left(\frac{\bar{Z}_{AB} \cdot (\bar{Z}_{BC} + \bar{Z}_{CA})}{\bar{Z}_{AB} + (\bar{Z}_{BC} + \bar{Z}_{CA})} \right) = \left(\frac{\bar{Z}_{AB} \bar{Z}_{BC} + \bar{Z}_{AB} \bar{Z}_{CA}}{(\bar{Z}_{AB} + \bar{Z}_{BC} + \bar{Z}_{CA})} \right) \quad (35-4)$$

و بالرجوع إلى شكل رقم (٤-٢٦)، نجد أنه بالمثل إذا تخيلنا وجود مصدر للجهد بين النقطتين C, B, C فتكون المعاوقة الكلية للتوصيلة ما بين النقطتين C, B بالنسبة للتوصيلة Δ متساوية مع المعاوقة الكلية للتوصيلة ما بين النقطتين C, B بالنسبة للتوصيلة Y. وعلى ذلك يمكن استنتاج ما يلي:

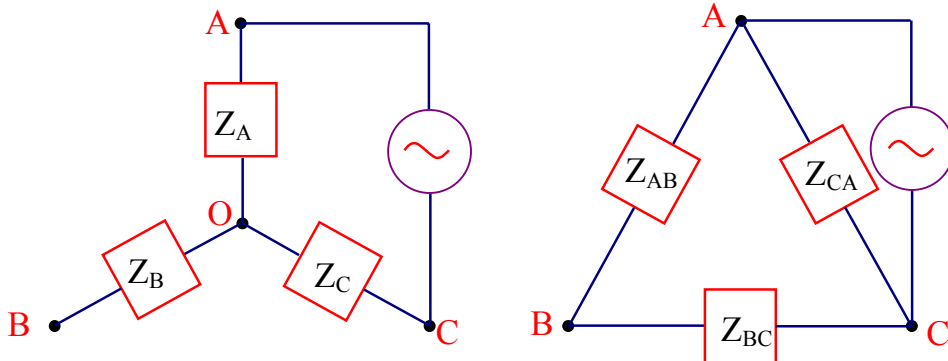
$$(\bar{Z}_B + \bar{Z}_C) = \left(\frac{\bar{Z}_{BC} \cdot (\bar{Z}_{AB} + \bar{Z}_{CA})}{\bar{Z}_{BC} + (\bar{Z}_{AB} + \bar{Z}_{CA})} \right) \quad (36-4)$$

$$(\bar{Z}_B + \bar{Z}_C) = \left(\frac{\bar{Z}_{BC} \cdot (\bar{Z}_{AB} + \bar{Z}_{CA})}{\bar{Z}_{BC} + (\bar{Z}_{AB} + \bar{Z}_{CA})} \right) = \frac{\bar{Z}_{BC} \bar{Z}_{AB} + \bar{Z}_{BC} \bar{Z}_{CA}}{(\bar{Z}_{AB} + \bar{Z}_{BC} + \bar{Z}_{CA})} \quad (37-4)$$



شكل رقم (٤-٢٦) المعاوقات متساوية بين النقطتين C, B, C

و بالرجوع إلى شكل رقم (٤-٢٧)، نجد أنه أيضاً بالمثل إذا تخيلنا وجود مصدر للجهد بين النقطتين A, C فتكون المعاوقة الكلية للتوصيلة ما بين النقطتين A, C بالنسبة للتوصيلة Δ متساوية مع المعاوقة الكلية للتوصيلة ما بين النقطتين C, A بالنسبة للتوصيلة Y. وعلى ذلك يمكن استنتاج ما يلي:



شكل رقم (٤ - ٢٧) المعاوقيات متساوية بين النقطتين C, A

$$(\bar{Z}_C + \bar{Z}_A) = \left(\frac{\bar{Z}_{CA} \cdot (\bar{Z}_{AB} + \bar{Z}_{BC})}{\bar{Z}_{CA} + (\bar{Z}_{AB} + \bar{Z}_{BC})} \right) \quad (٣٨-٤)$$

$$(\bar{Z}_C + \bar{Z}_A) = \left(\frac{\bar{Z}_{CA} \bar{Z}_{AB} + \bar{Z}_{CA} \bar{Z}_{BC}}{\bar{Z}_{CA} + \bar{Z}_{AB} + \bar{Z}_{BC}} \right) \quad (٣٩-٤)$$

وهكذا من المعادلات رقم (٤ - ٣٥) و (٤ - ٣٧) و (٤ - ٣٩) يمكن استنتاج أن:

$$\bar{Z}_A = \left(\frac{\bar{Z}_{CA} \cdot \bar{Z}_{AB}}{\bar{Z}_{CA} + \bar{Z}_{AB} + \bar{Z}_{BC}} \right) \quad (٤٠-٤)$$

$$\bar{Z}_B = \left(\frac{\bar{Z}_{BC} \cdot \bar{Z}_{AB}}{\bar{Z}_{AB} + \bar{Z}_{BC} + \bar{Z}_{CA}} \right) \quad (٤١-٤)$$

$$\bar{Z}_C = \left(\frac{\bar{Z}_{CA} \cdot \bar{Z}_{AB}}{\bar{Z}_{CA} + \bar{Z}_{AB} + \bar{Z}_{BC}} \right) \quad (٤٢-٤)$$

ويمكن أيضاً استنتاج أن:

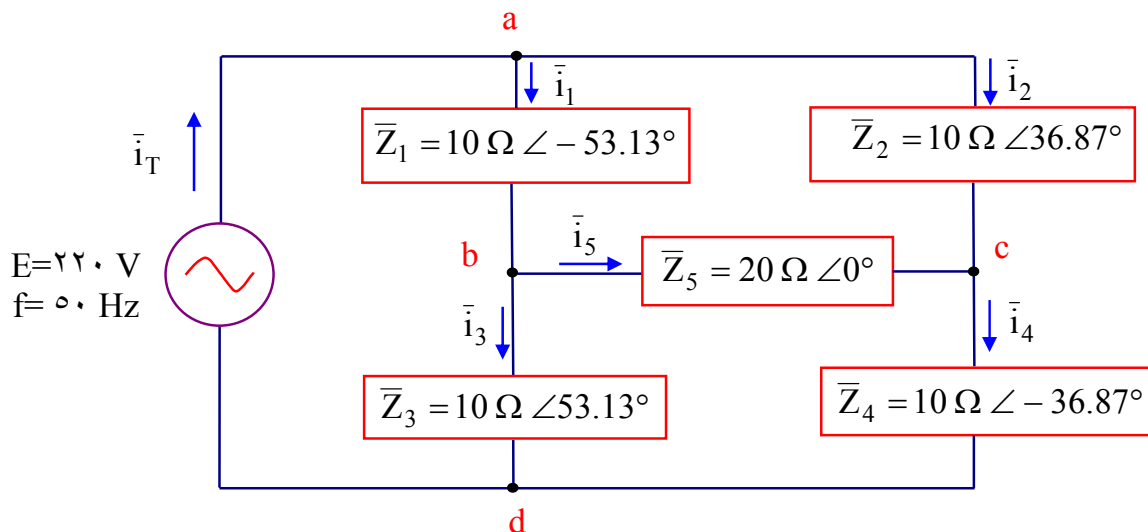
$$\bar{Z}_{AB} = \bar{Z}_A + \bar{Z}_B + \frac{\bar{Z}_A \cdot \bar{Z}_B}{\bar{Z}_C} \quad (٤٣-٤)$$

$$\bar{Z}_{BC} = \bar{Z}_B + \bar{Z}_C + \frac{\bar{Z}_B \cdot \bar{Z}_C}{\bar{Z}_A} \quad (٤٤-٤)$$

$$\bar{Z}_{CA} = \bar{Z}_C + \bar{Z}_A + \frac{\bar{Z}_C \cdot \bar{Z}_A}{\bar{Z}_B} \quad (4-4)$$

مثال رقم (٤ - ٢٨) :

للدائرة الكهربائية المبينة بشكل رقم (٤ - ٢٨)، احسب التيار المسحوب من المصدر باستخدام تحويلات (Y-Δ) أو تحويلات (Δ-Y).



شكل رقم (٤ - ٢٨) الدائرة الكهربائية للمثال رقم (٤ - ٢٨)

الحل

نلاحظ أن التوصيلات في الدائرة ليست على التوالي ولا على التوازي ونلاحظ أيضاً أن بين الثلاث نقاط a, b, c توجد توصيلة على شكل Δ ، وأيضاً بين النقاط b, c, d توجد توصيلة أخرى على شكل Δ ، كما توجد بين الثلاث نقاط a, c, d توصيلة على شكل Y مرکزها نقطة b، كما توجد بين الثلاث نقاط a, b, d توصيلة على شكل Y مرکزها نقطة c. والفكرة الآن هي تحويل أي توصيلة من التوصيلات المذكورة بالتوصيلة الأخرى المكافئة لها. وسنأخذ كمثال التوصيلة التي على هيئة Δ الموجودة بين النقاط a, b, c ونحوّلها إلى توصيلة Y المكافئة.

ولحساب معاوقيات توصيلة النجمة المكافئة، نستخدم المعادلات من رقم (٤ - ٤٠) إلى رقم (٤ - ٤٢)، كالتالي:

$$\bar{Z}_A = \left(\frac{\bar{Z}_1 \cdot \bar{Z}_2}{\bar{Z}_1 + \bar{Z}_2 + \bar{Z}_5} \right) = \left(\frac{(10 \Omega \angle -53.13^\circ) \cdot (10 \Omega \angle 36.87^\circ)}{10 \Omega \angle -53.13^\circ + 10 \Omega \angle 36.87^\circ + 20 \Omega \angle 0^\circ} \right)$$



(٢٩- ٤) شكل رقم

$$\bar{Z}_A = \left(\frac{(100 \Omega^2 \angle -16.26^\circ)}{(6 - j8)\Omega + (8 + j6)\Omega + (20 + j0)\Omega} \right) = \frac{(100 \Omega^2 \angle -16.26^\circ)}{(34 - j2)\Omega}$$

$$\bar{Z}_A = \frac{(100 \Omega^2 \angle -16.26^\circ)}{(34 \Omega \angle -3.4^\circ)} = 2.94 \Omega \angle -12.86^\circ$$

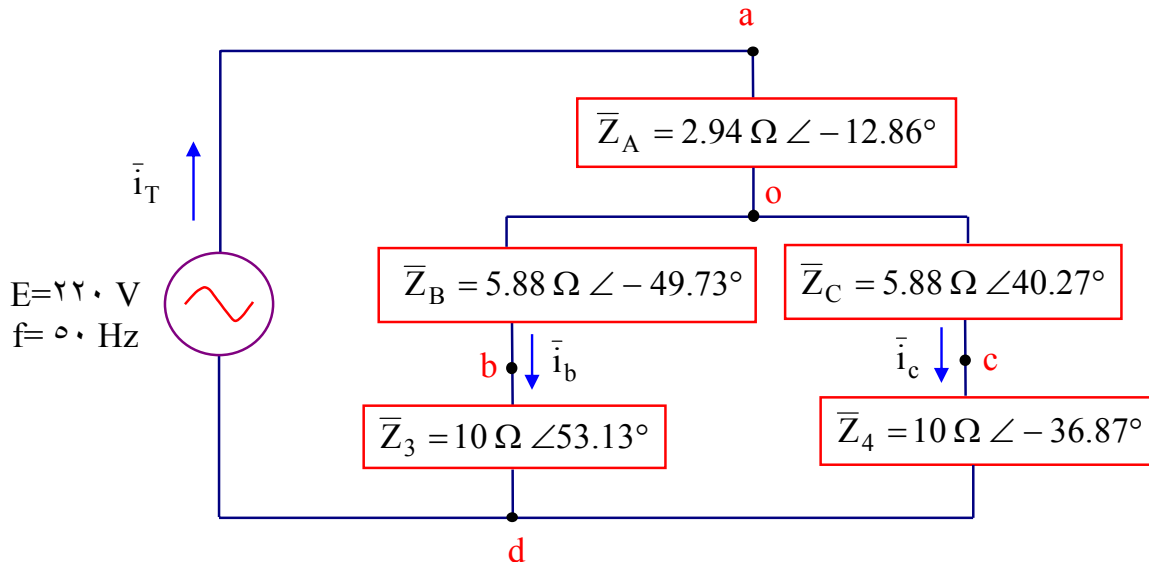
$$\bar{Z}_B = \left(\frac{\bar{Z}_1 \cdot \bar{Z}_5}{\bar{Z}_1 + \bar{Z}_2 + \bar{Z}_5} \right) = \frac{(10 \Omega \angle -53.13^\circ) \cdot (20 \Omega \angle 0^\circ)}{(34 \Omega \angle -3.4^\circ)}$$

$$\bar{Z}_B = \frac{(200 \Omega^2 \angle -53.13^\circ)}{(34 \Omega \angle -3.4^\circ)} = 5.88 \Omega \angle -49.73^\circ$$

$$\bar{Z}_C = \left(\frac{\bar{Z}_2 \cdot \bar{Z}_5}{\bar{Z}_1 + \bar{Z}_2 + \bar{Z}_5} \right) = \frac{(10 \Omega \angle 36.87^\circ) \cdot (20 \Omega \angle 0^\circ)}{(34 \Omega \angle -3.4^\circ)}$$

$$\bar{Z}_C = \frac{200 \Omega \angle 36.87^\circ}{34 \Omega \angle -3.4^\circ} = 5.88 \Omega \angle 40.27^\circ$$

وهكذا يمكننا إعادة رسم الدائرة باستبدال التوصيلة الدلتا المختارة بالتوصيلة النجمة المكافئة لها كما هو موضح بشكل رقم (٣٠- ٤).



شكل رقم (٤ - ٣٠)

ويلاحظ من شكل رقم (٤ - ٣٠) أن المعاوقتين Z_B , Z_C موصلتان على التوالي مكونتان مجموعة أولى، وكذلك المعاوقتان Z_B , Z_C موصلتان على التوالي مكونتان مجموعة ثانية، والمجموعتان موصلتان على التوازي مكونتان مجموعة ثلاثة موصلة على التوالي مع المعاوقة Z_A . ولكي نستطيع حساب التيار المسحوب من المصدر لابد من حساب المعاوقة المكافئة للدائرة Z_{eq} ، كما يلي:

$$\bar{Z}_{eq} = \left(\frac{(\bar{Z}_3 + \bar{Z}_B) \cdot (\bar{Z}_4 + \bar{Z}_C)}{(\bar{Z}_3 + \bar{Z}_B) + (\bar{Z}_4 + \bar{Z}_C)} \right) + \bar{Z}_A$$

$$(\bar{Z}_3 + \bar{Z}_B) = ((10 \Omega \angle 53.13^\circ) + (5.88 \Omega \angle -49.73^\circ)) = (6 + j8) + (3.8 - j4.5)$$

$$(\bar{Z}_3 + \bar{Z}_B) = 9.8 + j3.5 = 10.41 \Omega \angle 19.65^\circ$$

$$(\bar{Z}_4 + \bar{Z}_C) = ((10 \Omega \angle -36.87^\circ) + (5.88 \Omega \angle 40.27^\circ)) = (8 - j6) + (4.5 + j3.8)$$

$$(\bar{Z}_4 + \bar{Z}_C) = 12.5 - j2.2 = 12.7 \Omega \angle -10^\circ$$

$$(\bar{Z}_3 + \bar{Z}_B) + (\bar{Z}_4 + \bar{Z}_C) = (9.8 + j3.5) + (12.5 - j2.2)$$

$$(\bar{Z}_3 + \bar{Z}_B) + (\bar{Z}_4 + \bar{Z}_C) = 22.3 + j1.3 = 22.34 \Omega \angle 3.34^\circ$$

$$\bar{Z}_{eq} = \left(\frac{(10.41 \Omega \angle 19.65^\circ) \cdot (12.7 \Omega \angle -10^\circ)}{(22.34 \Omega \angle 3.34^\circ)} \right) + (2.94 \Omega \angle -12.86^\circ)$$

$$\bar{Z}_{eq} = (5.92 \Omega \angle 6.31^\circ) + (2.94 \Omega \angle -12.86^\circ)$$

$$\bar{Z}_{eq} = (5.88 + j0.65) \Omega + (2.87 - j0.65) \Omega = (8.75 + j0) \Omega = 8.75 \Omega \angle 0^\circ$$

ويلاحظ في قيمة المعاوقة المكافئة Z_{eq} ، اختفاء الجزء التخييلي بما يعني أنها تكافئ مقاومة أومية خالصة. ولحساب قيمة التيار المنسوب من المصدر نطبق قانون أوم في صورته الاتجاهية كالتالي:

$$\bar{i}_T = \frac{220 \text{ V} \angle 0^\circ}{8.75 \Omega \angle 0^\circ} = 25.1 \text{ A} \angle 0^\circ$$

مثال رقم (٤ - ١٣)

في المثال السابق رقم (٤ - ١٢)، احسب التيار \bar{i}_5 باستخدام تحويلات (Y-Δ) أو تحويلات (Δ-Y).
الحل

بالرجوع إلى شكل (٤ - ٢٨)، لحساب قيمة التيار \bar{i}_5 يتم حساب فرق الجهد بين النقطتين c, b ثم بقسمة فرق الجهد المنسوب V_{bc} على المعاوقة \bar{Z}_5 نحصل على التيار المطلوب \bar{i}_5 .

ونرجع إلى شكل رقم (٤ - ٣٠) لحساب فرق الجهد V_{bc} بين النقطتين c, b نطبق قانون كيرشوف للجهود في الدائرة obc كما في شكل رقم (٤ - ٣١) كالتالي:

$$\bar{V}_{ob} + \bar{V}_{bc} + \bar{V}_{co} = 0$$

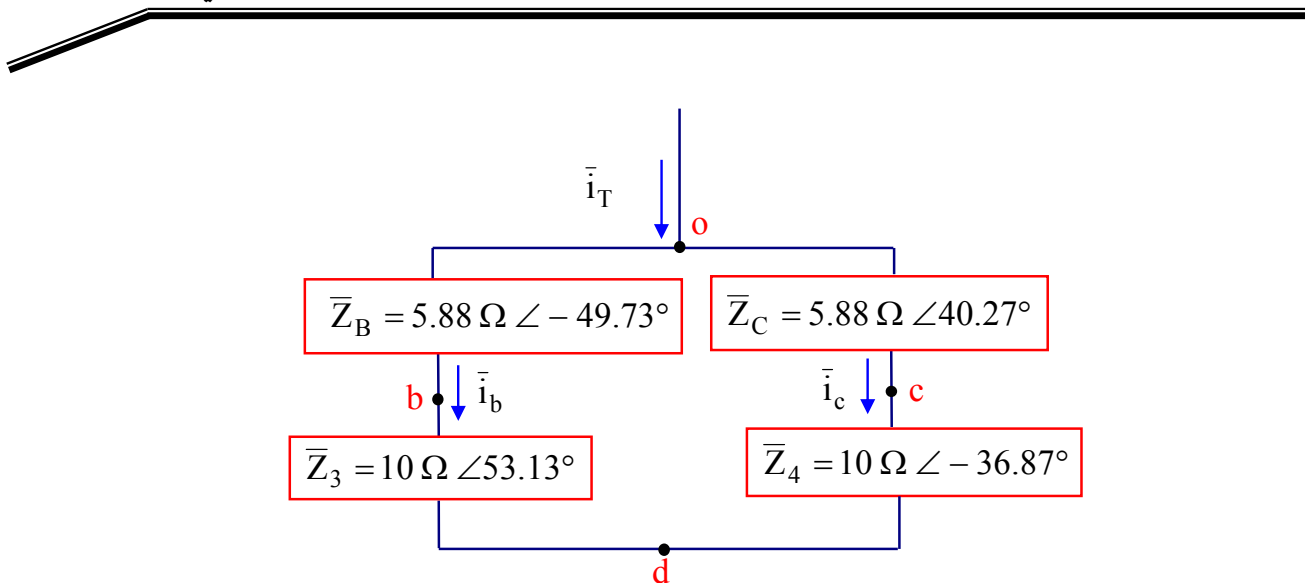
وبالدوران في اتجاه دوري واحد obc نجد أن اتجاه التيار بين النقطتين b, o في اتجاه معاكس للتيار ما بين النقطتين c, o ، إذن الجهد V_{ob} ، والجهد V_{co} في اتجاهين متضادين ، وبافتراض الجهد V_{bc} في اتجاه أحدهما ول يكن في اتجاه الجهد V_{ob} ، إذن يمكن إعادة كتابة المعادلة كالتالي:

$$\bar{V}_{bc} - \bar{V}_{co} + \bar{V}_{ob} = 0$$

أو كتابتها على الصورة الآتية:

$$\bar{V}_{bc} = \bar{V}_{co} - \bar{V}_{ob}$$

$$\bar{V}_{bc} = \bar{i}_c \cdot \bar{Z}_C - \bar{i}_b \cdot \bar{Z}_B$$



شكل رقم (٤)

وبالتالي لابد أولاً من حساب قيم التيارات i_b ، i_c ، وذلك عن طريق قانون تقسيم التيار كالآتي:

$$\bar{i}_b = \bar{i}_T \cdot \left(\frac{(\bar{Z}_C + \bar{Z}_4)}{(\bar{Z}_C + \bar{Z}_4) + (\bar{Z}_B + \bar{Z}_3)} \right)$$

$$\bar{i}_b = (25.14 \text{ A} \angle 0^\circ) \cdot \left(\frac{(12.7 \Omega \angle -10^\circ)}{(22.34 \Omega \angle 3.34^\circ)} \right) = 14.29 \text{ A} \angle -13.34^\circ$$

وبالمثل:

$$\bar{i}_c = \bar{i}_T \cdot \left(\frac{(\bar{Z}_B + \bar{Z}_3)}{(\bar{Z}_C + \bar{Z}_4) + (\bar{Z}_B + \bar{Z}_3)} \right)$$

$$\bar{i}_c = (25.14 \text{ A} \angle 0^\circ) \cdot \left(\frac{(10.41 \Omega \angle 19.65^\circ)}{(22.34 \Omega \angle 3.34^\circ)} \right) = 11.72 \text{ A} \angle 16.31^\circ$$

ثم نحسب قيمة فرق الجهد \bar{V}_{bc} كالآتي:

$$\bar{V}_{bc} = \bar{i}_c \cdot \bar{Z}_C - \bar{i}_b \cdot \bar{Z}_B$$

$$\bar{V}_{bc} = (11.72 \text{ A} \angle 16.31^\circ) \cdot (5.88 \Omega \angle 40.27^\circ) - (14.29 \text{ A} \angle -13.34^\circ) \cdot (5.88 \Omega \angle -49.73^\circ)$$

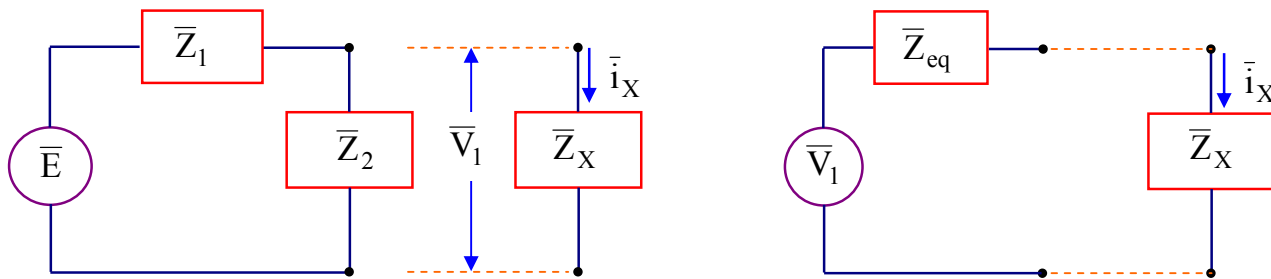
$$\bar{V}_{bc} = (68.91 \text{ V} \angle 56.58^\circ) - (84.03 \text{ V} \angle -63.1^\circ)$$

$$\bar{V}_{bc} = (38 + j57.5) - V(38 - j75) \text{ V} = 0 + j132.5 \text{ V} = 132.5 \text{ V} \angle 90^\circ$$

$$\bar{i}_5 = \frac{\bar{V}_{bc}}{\bar{Z}_5} = \frac{132.5 \text{ V} \angle 90^\circ}{20 \Omega \angle 0^\circ} = 6.63 \text{ A} \angle 90^\circ$$

٤ - ٣ - ٣ نظرية ثفنن Thevenin's Theorem

تهدف نظرية ثفنن إلى إيجاد التيار في أحد أفرع الدائرة الكهربائية بطريقة مبسطة ومحضرة. وتعتمد هذه الطريقة على أنه في حالة إضافة فرع جديد \bar{Z}_X للدائرة الكهربائية المبسطة (كما في شكل رقم (٤ - ٣٢)), يمكن حساب التيار المار في هذا الفرع الجديد \bar{i}_X باعتبار أن تأثير الدائرة الأصلية على الفرع الجديد هو الجهد الكهربائي \bar{V}_1 ومواقة مكافئة للدائرة الأصلية \bar{Z}_{eq} تحسب من منظور الفرع الجديد للدائرة الأصلية (باعتبار معاوقة مصدر الجهد تساوي صفرًا).



شكل رقم (٤ - ٣٢)

وهكذا تعتمد نظرية ثفنن لحساب التيار الكهربائي في أحد أفرع الدائرة الكهربائية على الطريقة العكسية لما سبق شرحه. حيث تتم الخطوات التالية:

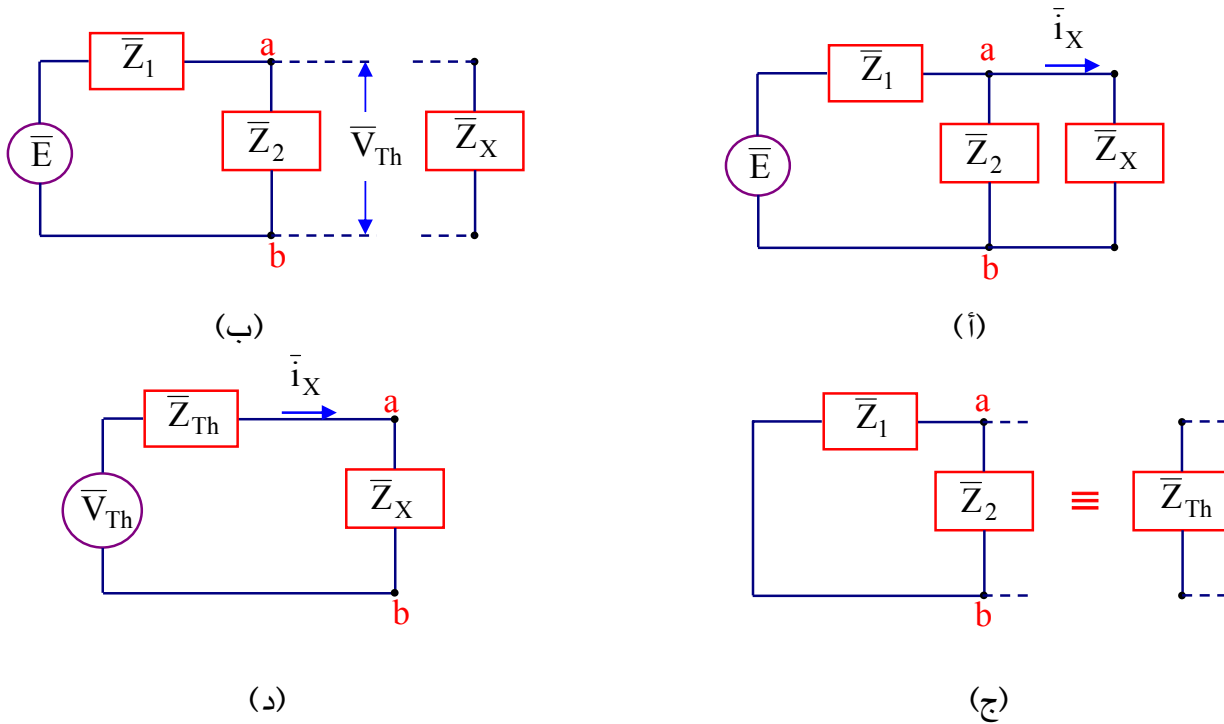
- يتم نزع الفرع المطلوب إيجاد التيار فيه من الدائرة الكهربائية الكاملة الموجودة في شكل رقم (٤ - ٣٢ - أ)، واعتبار الدائرة الكهربائية بدون هذا الفرع هي الدائرة الأصلية كما هو مبين في شكل رقم (٤ - ٣٢ - ب).

- على الوضع الجديد يتم حساب فرق الجهد في الدائرة الكهربائية ما بين النقطتين اللتين تمثلان طرفي الفرع المنزوع (a, b) ويسمى هذا الجهد \bar{V}_{Th} كما هو مبين في شكل رقم (٤ - ٣٢ - ب).
- على هذا الوضع أيضاً يتم نزع مصدر الجهد من الدائرة وعمل دائرة قصر بين أطرافها (مكان مصدر الجهد المنزوع) كما هو مبين في شكل رقم (٤ - ٣٢ - ج)،

- يتم حساب المعاوقة المكافئة للدائرة ما بين طرفي الفرع المنزوع (a, b) وتسمى المعاوقة المكافئة \bar{Z}_{Th} .

- يتم حساب التيار المطلوب \bar{i}_X من الدائرة المبينة في شكل رقم (٤-٣٣-د)، باعتبار الدائرة مكونة من الفرع المنزوع \bar{Z}_X على التوالي مع مصدر الجهد \bar{V}_{Th} والمعاوقة \bar{Z}_{Th} بتطبيق قانون أوم كما يلي:

$$\bar{i}_X = \frac{\bar{V}_{Th}}{(\bar{Z}_{Th} + \bar{Z}_X)} \quad (4-4)$$



شكل رقم (٤-٣٣)

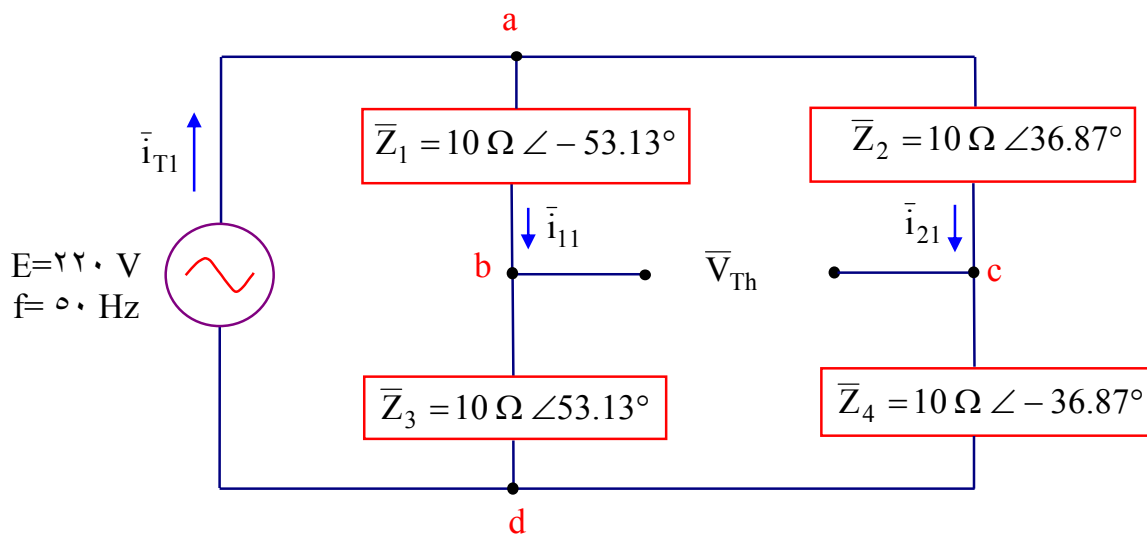
مثال رقم (٤-١٤)

في مثال رقم (٤-١٢) احسب قيمة التيار \bar{i}_A باستخدام نظرية ثفنن.

الحل

بالرجوع إلى شكل رقم (٤-٢٨)، نجد أنه يمكن تطبيق نظرية ثفنن للحصول على التيار \bar{i}_A كما يلي:

- أولاً: يتم نزع المعاوقة \bar{Z}_5 وهي تمثل الفرع المطلوب لإيجاد التيار فيه، فتصبح الدائرة كما هي مبينة في شكل رقم (٤ - ٣٤).



(٤ - ٣٤) شكل رقم

- ثانياً: يتم حساب الجهد \bar{V}_{Th} كما هو مبين من شكل رقم (٤ - ٣٤)، بتطبيق قانون كيرشوف للجهود كما يلي:

$$\bar{V}_{ab} + \bar{V}_{Th} + \bar{V}_{ca} = 0$$

$$\bar{V}_{ab} = \bar{i}_{11} \cdot \bar{Z}_1$$

$$\bar{V}_{ca} = -\bar{i}_{21} \cdot \bar{Z}_2$$

$$\bar{V}_{Th} + \bar{i}_{11} \cdot \bar{Z}_1 - \bar{i}_{21} \cdot \bar{Z}_2 = 0$$

$$\bar{V}_{Th} = \bar{i}_{21} \cdot \bar{Z}_2 - \bar{i}_{11} \cdot \bar{Z}_1$$

ولهذا يجب أولاً حساب التيارين \bar{i}_{11} , \bar{i}_{21} كما يلي:

$$\bar{i}_{11} = \frac{\bar{E}}{(\bar{Z}_1 + \bar{Z}_3)} = \frac{220 \text{ V} \angle 0^\circ}{(10 \Omega \angle -53.13^\circ) + (10 \Omega \angle 53.13^\circ)}$$

$$\bar{i}_{11} = \frac{220 \text{ V} \angle 0^\circ}{(6 - j8)\Omega + (6 + j8)\Omega} = \frac{220 \text{ V} \angle 0^\circ}{(12 + j0)\Omega} = \frac{220 \text{ V} \angle 0^\circ}{12\Omega \angle 0^\circ} = 18.33 \text{ A} \angle 0^\circ$$

$$\bar{i}_{21} = \frac{\bar{E}}{(\bar{Z}_2 + \bar{Z}_4)} = \frac{220 \text{ V} \angle 0^\circ}{(10 \Omega \angle 36.87^\circ) + (10 \Omega \angle -36.87^\circ)}$$

$$\bar{i}_{21} = \frac{220 \text{ V} \angle 0^\circ}{(8 + j6)\Omega + (8 - j6)\Omega} = \frac{220 \text{ V} \angle 0^\circ}{(16 + j0)\Omega} = \frac{220 \text{ V} \angle 0^\circ}{16\Omega \angle 0^\circ} = 13.75 \text{ A} \angle 0^\circ$$

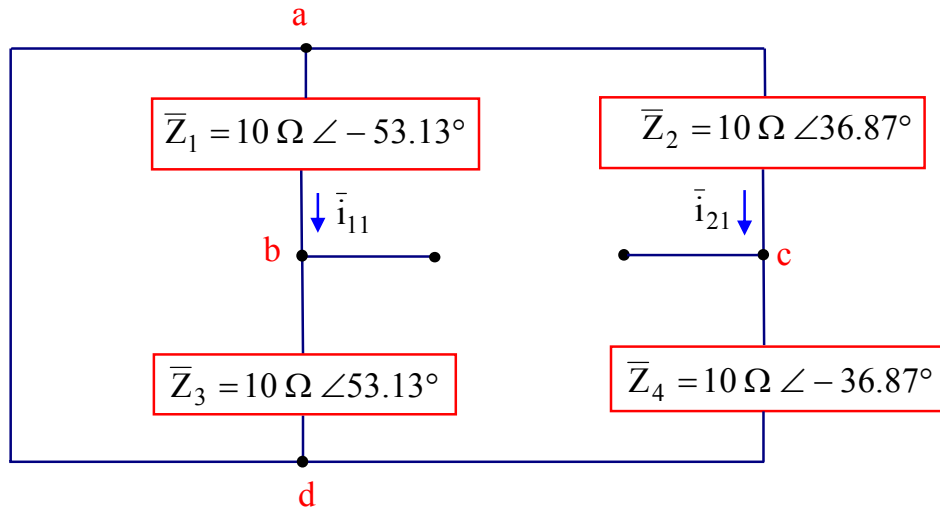
$$\bar{V}_{Th} = (13.75 \text{ A} \angle 0^\circ) \cdot (10 \Omega \angle 36.87^\circ) - (18.33 \text{ A} \angle 0^\circ) \cdot (10 \Omega \angle -53.13^\circ)$$

$$\bar{V}_{Th} = (137.5 \text{ V} \angle 36.87^\circ) - (183.3 \text{ V} \angle -53.13^\circ)$$

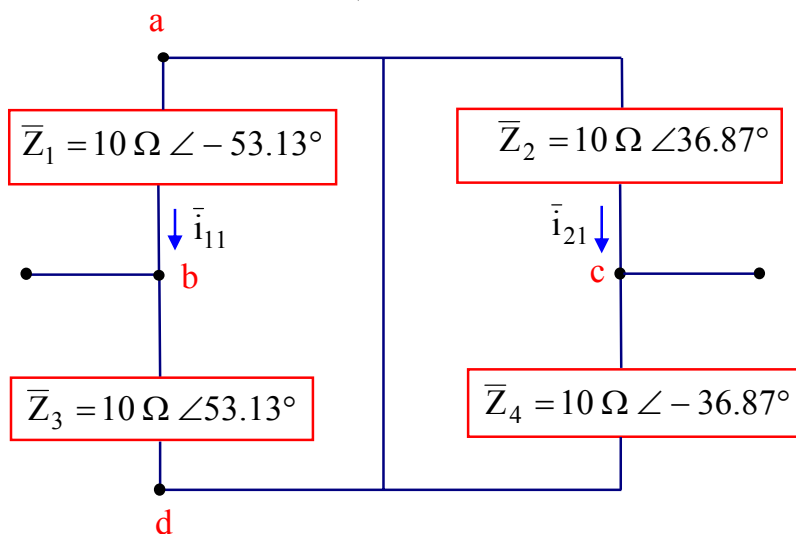
$$\bar{V}_{Th} = (110 + j82.5) \text{ V} - (110 - j146.64) \text{ V}$$

$$\bar{V}_{Th} = (0 + j229.14) \text{ V} = 229.14 \text{ V} \angle 90^\circ$$

- لحساب المعاوقة المكافئة \bar{Z}_{Th} نقوم بنزع مصدر الجهد من الدائرة وعمل دائرة قصر بين أطرافها (مكان مصدر الجهد المنزوع) ثم نحسب المعاوقة المكافئة للدائرة بين الطرفين c, b، كما هو مبين بالشكل رقم (٤ - ٣٥). وشكل رقم (٤ - ٣٦) وشكل رقم (٤ - ٣٧) يوضحان تبسيط هذه الدائرة حيث قصر الدائرة بين النقطتين d, a، يؤدي إلى أن المعاوقتان \bar{Z}_1, \bar{Z}_3 ، \bar{Z}_2, \bar{Z}_4 موصلتان على التوازي ويكونان مجموعة أولى، كذلك المعاوقتين \bar{Z}_1, \bar{Z}_3 موصلتان على التوازي ويكونان مجموعة ثانية، والمجموعتان الأولى والثانية موصلتان على التوازي.



شكل رقم (٣٥- ٤)



شكل رقم (٣٦- ٤)



شكل رقم (٤)

إذن يمكن حساب المعاوقة المكافئة \bar{Z}_{Th} كما يلي:

$$\bar{Z}_{Th} = \left(\frac{\bar{Z}_1 \cdot \bar{Z}_3}{\bar{Z}_1 + \bar{Z}_3} \right) + \left(\frac{\bar{Z}_2 \cdot \bar{Z}_4}{\bar{Z}_2 + \bar{Z}_4} \right) =$$

$$\bar{Z}_{Th} = \left(\frac{(10 \Omega \angle -53.13^\circ) \cdot (10 \angle 53.13^\circ)}{(10 \Omega \angle -53.13^\circ) + (10 \angle 53.13^\circ)} \right) + \left(\frac{(10 \Omega \angle 36.87^\circ) \cdot (10 \angle -36.87^\circ)}{(10 \Omega \angle 36.87^\circ) + (10 \angle -36.87^\circ)} \right)$$

$$\bar{Z}_{Th} = \left(\frac{100 \Omega^2 \angle 0^\circ}{(6 - j8)\Omega + (6 + j8)\Omega} \right) + \left(\frac{100 \Omega^2 \angle 0^\circ}{(8 + j6)\Omega + (8 - j6)\Omega} \right)$$

$$\bar{Z}_{Th} = \left(\frac{100 \Omega^2 \angle 0^\circ}{(12 - j0)\Omega} \right) + \left(\frac{100 \Omega^2 \angle 0^\circ}{(16 + j0)\Omega} \right) = \left(\frac{100 \Omega^2 \angle 0^\circ}{(12 \Omega \angle 0^\circ)} \right) + \left(\frac{100 \Omega^2 \angle 0^\circ}{(16 \Omega \angle 0^\circ)} \right)$$

$$\bar{Z}_{Th} = (8.33 \Omega \angle 0^\circ) \Omega + (6.25 \Omega \angle 0^\circ) \Omega$$

$$\bar{Z}_{Th} = (8.33 + j0) \Omega + (6.25 + j0) \Omega = 14.583 \Omega \angle 0^\circ$$

• يمكن الآن حساب قيمة التيار \bar{i}_5 كالتالي:

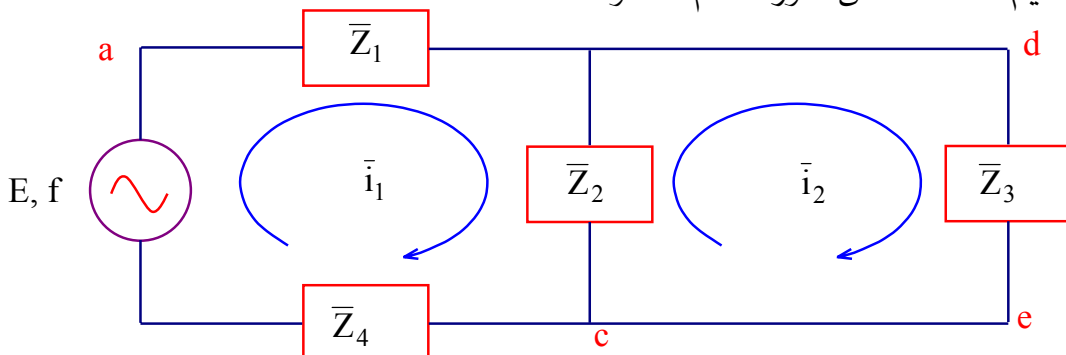
$$\bar{i}_5 = \frac{\bar{V}_{Th}}{\bar{Z}_{Th} + \bar{Z}_5} = \frac{229.14 \text{ V} \angle 90^\circ}{(14.583 \Omega \angle 0^\circ) + (20 \Omega \angle 0^\circ)} = \frac{229.14 \text{ V} \angle 90^\circ}{(14.583 + j0)\Omega + (20 + j0)\Omega}$$

$$\bar{i}_5 = \frac{229.14 \text{ V} \angle 90^\circ}{(34.583 + j0)\Omega} = \frac{229.14 \text{ V} \angle 90^\circ}{34.583 \Omega \angle 0^\circ} = 6.63 \text{ A} \angle 90^\circ$$

ونلاحظ أن قيمة التيار \bar{i}_5 المحسوبة بطريقة ثفنن هي نفس قيمتها المحسوبة عن طريق التحويلات (Y-Δ) أو تحويلات (Δ-Y) في المثال السابق.

٤-٣-٤ طريقة الحلقة المغلقة (طريقة ماكسويل)

تعتمد طريقة الحلقة المغلقة على قانون كيرشوف للتيارات وللجهود، حيث اقترح ماكسويل هذه الطريقة بترتيب قانون كيرشوف في نظام معادلات خطية على طريقة المصفوفات. حيث اقترح ماكسويل تياراً دواراً لكل دائرة كهربائية مغلقة، وبنطبيق قوانين كيرشوف يمكن تنظيم المعادلات على صورة نظام مصفوفات.



شكل (٤-٣٨)

من شكل رقم (٤-٣٨) يمكن اعتبار التيار الدوار \bar{i}_1 هو التيار الخاص بالدائرة المغلقة abc (أو الدائرة رقم ١) وكذلك يمكن اعتبار التيار \bar{i}_2 هو التيار الخاص بالدائرة المغلقة bdec (أو الدائرة رقم ٢). ويكون وبالتالي التيار المار في كل من المعاوقيات \bar{Z}_1, \bar{Z}_4 هو التيار \bar{i}_1 والتيار المار في المعاوقة \bar{Z}_3 هو التيار \bar{i}_2 أما المعاوقة \bar{Z}_2 فيمر فيها التيار $\bar{i}_2 - \bar{i}_1$ ويمكن وبالتالي كتابة قوانين كيرشوف كالتالي:

- بالنسبة للدائرة abc (أو الدائرة رقم ١):

$$\bar{E} = \bar{i}_1 \cdot (\bar{Z}_1 + \bar{Z}_4) + (\bar{i}_1 - \bar{i}_2) \cdot \bar{Z}_2 \quad (٤٧-٤)$$

$$\bar{E} = \bar{i}_1 \cdot (\bar{Z}_1 + \bar{Z}_4 + \bar{Z}_2) - \bar{i}_2 \cdot \bar{Z}_2 \quad (٤٨-٤)$$

- بالنسبة للدائرة bdec (أو الدائرة رقم ٢):

$$0 = \bar{i}_2 \cdot \bar{Z}_3 - (\bar{i}_1 - \bar{i}_2) \cdot \bar{Z}_2 \quad (٤٩-٤)$$

$$0 = -\bar{i}_1 \cdot \bar{Z}_2 + \bar{i}_2 \cdot (\bar{Z}_2 + \bar{Z}_3) \quad (٥٠-٤)$$

• ويمكن ترتيب المعادلات على صورة نظام معادلات خطية من الدرجة الأولى كالتالي:

$$\begin{bmatrix} (\bar{Z}_1 + \bar{Z}_4 + \bar{Z}_2) & -\bar{Z}_2 \\ -\bar{Z}_2 & (\bar{Z}_2 + \bar{Z}_3) \end{bmatrix} \begin{bmatrix} \bar{i}_1 \\ \bar{i}_2 \end{bmatrix} = \begin{bmatrix} \bar{E} \\ 0 \end{bmatrix} \quad (٥١-٤)$$

ويلاحظ في هذا النظام ما يلي:

١. يمكن التعبير عن هذا النظام بأنه نظام المعادلات الخطية لقانون أوم لدوائر التيار المتردد

على الصورة $[\bar{V}] = [\bar{Z}] [\bar{I}]$ حيث تسمى $[\bar{Z}]$ بمصفوفة المعاوقيات ويسمى $[\bar{I}]$ بمتوجه التيارات ويسمى $[\bar{V}]$ بمتوجه الجهد.

٢. يكون متوجه التيارات $[\bar{I}]$ في الغالب هو المجهول وهو يمثل التيارات الدوارة في الدائرة الكهربائية المكونة من مجموعة k من الدوائر الكهربائية المغلقة.

٣. يمكن بناء مصفوفة المعاوقيات بداية من القطر حيث تكون هذه المصفوفة مربعة ومتتماثلة

$(k \times k)$ وتكون مكونات القطر موجبة أما باقي المكونات تكون سالبة. وتكون مفردات مكونات القطر وهي \bar{Z}_{11} و \bar{Z}_{22} ، ... حتى \bar{Z}_{kk} هي مجموع معاوقيات الدائرة المغلقة رقم ١ و ٢ حتى رقم k ، ويمكن التعبير عن ذلك رياضياً لشكل رقم (٤ - ٣٨)

كما يلي:

$$\bar{Z}_{11} = (\bar{Z}_1 + \bar{Z}_4 + \bar{Z}_2) \quad (٥٢-٤)$$

$$\bar{Z}_{22} = (\bar{Z}_2 + \bar{Z}_3) \quad (٥٣-٤)$$

حيث $k = ٢$ في هذه الحالة.

أما المكونات التي هي خارج القطر فتكون سالبة وهي على الصورة العامة \bar{Z}_{mn} حيث هي المعاوقة المشتركة بين الدائرة رقم m والدائرة رقم n ، ويلاحظ أن $\bar{Z}_{nm} = \bar{Z}_{mn}$ حيث أن المعاوقة المشتركة بين الدائرة رقم n والدائرة رقم m هي نفسها المعاوقة المشتركة بين الدائرة رقم m والدائرة رقم n .

٤. يمكن بناء متوجه الجهد $[\bar{V}]$ بأنه مجموعة من مفردات الجهد $\bar{V}_x = \bar{V}_1, \bar{V}_2, \dots, \bar{V}_k$ حيث يمثل \bar{V}_x مجموع مصادر الجهد في الدائرة رقم x ، حيث: \bar{V}_1 هو مجموع مصادر الجهد في الدائرة المغلقة رقم ١، و \bar{V}_2 هو مجموع مصادر الجهد في الدائرة المغلقة رقم ٢ و

\bar{V}_k هو مجموع مصادر الجهد في الدائرة المغلقة رقم k. ويكون الاتجاه الموجب للجهد \bar{V}_x هو اتجاه سريان التيار \bar{i}_x .

٥. ويكون حل هذا النظام الخطي للمعادلات بالطرق القياسية المعروفة في رياضيات المصفوفات، حيث يكون الحل العام على الصورة: $\begin{bmatrix} \bar{i} \end{bmatrix} = [\bar{Z}]^{-1} [\bar{V}]$ ، وهناك العديد من طرق حل هذا النظام الخطي لمعادلات الدرجة الأولى التي تعتمد في مجللها على كيفية إيجاد معكوس المصفوفة $[\bar{Z}]$ على صورة $[\bar{Z}]^{-1}$. وسوف نوجز هنا إحدى الطرق التي تعتمد على المحددات في حل هذا النظام. وفي هذه الطريقة يتم الآتي:

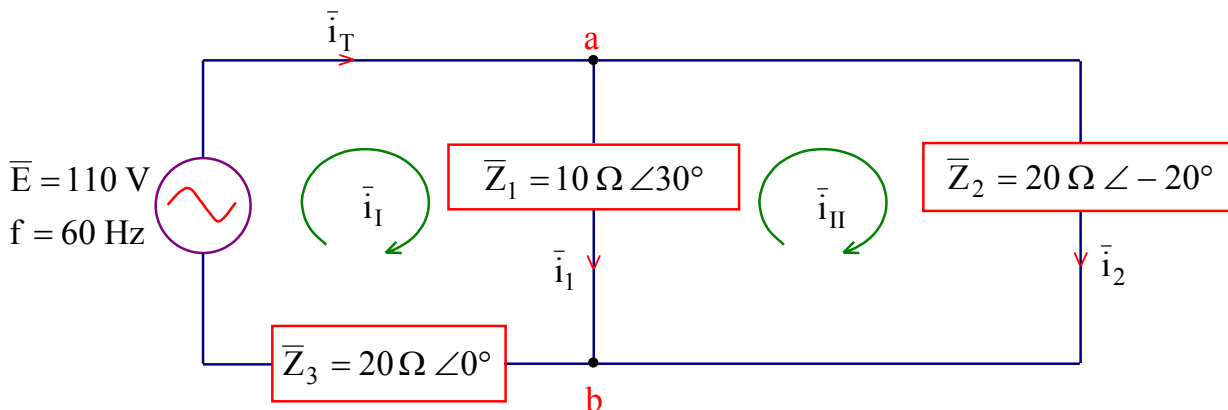
- حساب المحددة الرئيسية للمصفوفة $[\bar{Z}]$ على شكل $|\bar{Z}|$
- حساب المحددة رقم X للمصفوفة $[\bar{Z}]$ على صورة $|\bar{Z}_x|$ وذلك بحساب محددة المصفوفة بعد استبدال العمود رقم X للمصفوفة بمتجه الجهد $[\bar{V}]$.
- حساب التيار رقم X كالتالي:

$$\bar{i}_x = \frac{|\bar{Z}|_x}{|\bar{Z}|} \quad (٥٤-٤)$$

- حساب التيارات الخاصة بكل جزء من أجزاء الدائرة مع الأخذ في الاعتبار أجزاء الدائرة التي يسري فيها أكثر من تيار باعتبار محصلة هذه التيارات.

مثال رقم (٤-١٥)

في الدائرة المبينة بشكل رقم (٤-٣٩) احسب التيار في الفرع ab بطريقة الحلقة المغلقة (ماكسويل).



شكل رقم (٤ - ٣٩)

الحل

نلاحظ أن الدائرة الكهربائية تتكون من دائرتين كهربائيتين مغلقتين، وبالتالي نفترض وجود تيارين دوارين \bar{I}_I & \bar{I}_{II} كما هو مبين بشكل رقم (٤ - ٣٩). حل الدائرة الكهربائية يعتمد بطريقة أساسية على إيجاد هذين التيارين.

خطوات الحل:

- نبدأ أولاً ببناء مصفوفة المعاوقات وهي مصفوفة مربعة (٢×٢) متماثلة حول قطرها كال التالي:

$$[\bar{Z}] = \begin{bmatrix} (\bar{Z}_1 + \bar{Z}_3) & (-\bar{Z}_1) \\ (-\bar{Z}_1) & (\bar{Z}_1 + \bar{Z}_2) \end{bmatrix}$$

ونحسب بالتالي مكونات القطر كالتالي:

$$(\bar{Z}_1 + \bar{Z}_3) = (10 \Omega \angle 30^\circ) + (20 \Omega \angle 0^\circ) = 28.66 + j5 = 29.09 \Omega \angle 9.9^\circ$$

$$(\bar{Z}_1 + \bar{Z}_2) = (10 \Omega \angle 30^\circ) + 20 \Omega \angle -20^\circ = 27.45 - j1.84 = 27.51 \Omega \angle -3.84^\circ$$

$$\therefore |\bar{Z}| = \begin{bmatrix} 29.09 \angle 9.9^\circ & -10 \angle 30^\circ \\ -10 \angle 30^\circ & 27.51 \Omega \angle -3.84^\circ \end{bmatrix}$$

- ونبني بالتالي أيضاً متوجه التيارات كالتالي:

$$[\bar{i}] = \begin{bmatrix} \bar{i}_I \\ \bar{i}_{II} \end{bmatrix}$$

- ونبني أيضاً متوجه الجهد كالتالي:

$$[\bar{V}] = \begin{bmatrix} 110 \angle 0^\circ \\ 0 \angle 0^\circ \end{bmatrix}$$

وهكذا يمكن كتابة النظام الكامل للمعادلات الخاصة بالدائرة الكهربائية، كالتالي:

$$\begin{bmatrix} 29.09 \angle 9.9^\circ & -10 \angle 30^\circ \\ -10 \angle 30^\circ & 27.51 \Omega \angle -3.84^\circ \end{bmatrix} \begin{bmatrix} \bar{i}_I \\ \bar{i}_{II} \end{bmatrix} = \begin{bmatrix} 110 \angle 0^\circ \\ 0 \angle 0^\circ \end{bmatrix}$$

ويكون الحل الرياضي لهذا النظام على الصورة الرياضية الآتية:

$$\begin{bmatrix} \bar{i}_I \\ \bar{i}_{II} \end{bmatrix} = \begin{bmatrix} 29.09 \angle 9.9^\circ & -10 \angle 30^\circ \\ -10 \angle 30^\circ & 27.51 \Omega \angle -3.84^\circ \end{bmatrix}^{-1} \begin{bmatrix} 110 \angle 0^\circ \\ 0 \angle 0^\circ \end{bmatrix}$$

حساب المحددة الرئيسية للمصفوفة:

$$\begin{aligned} |\bar{Z}| &= \begin{vmatrix} 29.09 \angle 9.9^\circ & -10 \angle 30^\circ \\ -10 \angle 30^\circ & 27.51 \Omega \angle -3.84^\circ \end{vmatrix} \\ &= ((29.09 \angle 9.9^\circ) \cdot (27.51 \Omega \angle -3.84^\circ)) - ((-10 \angle 30^\circ) \cdot (-10 \angle 30^\circ)) \\ &= 800.27 \angle 6.06^\circ - 100 \angle 60^\circ = 745.8 - j2.12 = 745.8 \angle 0.2^\circ \end{aligned}$$

حساب المحددات الفرعية للمصفوفة:

$$\begin{aligned} |Z|_1 &= \begin{vmatrix} 110 \angle 0^\circ & -10 \angle 30^\circ \\ 0 \angle 0^\circ & 27.51 \angle -3.84^\circ \end{vmatrix} = (110 \angle 0^\circ) \cdot (27.51 \angle -3.84^\circ) - 0 \angle 0^\circ \\ &= 3026.1 \angle -3.84^\circ \end{aligned}$$

$$|Z|_2 = \begin{vmatrix} 29.09 \angle 9.9^\circ & 110 \angle 0^\circ \\ -10 \angle 30^\circ & 0 \angle 0^\circ \end{vmatrix} = -(110 \angle 0^\circ) \cdot (-10 \angle 30^\circ) - 0 \angle 0^\circ = 1100 \angle 30^\circ$$

نحسب التيارات الدوارة، كما يلي:

$$\bar{i}_I = \frac{|\bar{Z}|_1}{|\bar{Z}|} = \frac{3026.1 \angle -3.84^\circ}{745.8 \angle 0.2^\circ} = 4.06 A \angle -4.04^\circ$$

$$\bar{i}_{II} = \frac{|\bar{Z}|_2}{|\bar{Z}|} = \frac{1100 \angle 30^\circ}{745.8 \angle 0.2^\circ} = 1.475 A \angle 29.8^\circ$$

نحسب التيار \bar{i}_1 كما يلي:

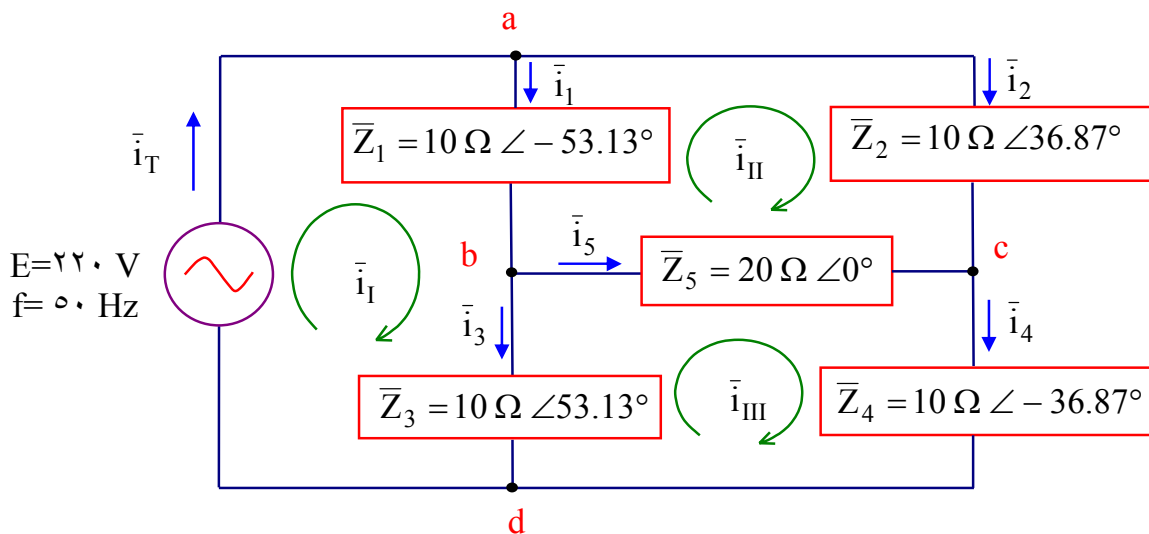
$$\begin{aligned} \bar{i}_1 &= (\bar{i}_I - \bar{i}_{II}) = (4.06 A \angle -4.04^\circ) - (1.475 A \angle 29.8^\circ) \\ &= 2.77 - j1.02 = 2.95 A \angle -20.2^\circ \end{aligned}$$

مثال رقم (٤ - ١٦)

في مثال رقم (٤ - ١٢) احسب قيمة التيار \bar{i}_5 باستخدام طريقة الحلقة المغلقة (ماكسويل).

الحل

نلاحظ أن الدائرة الكهربائية تتكون من ثلاثة دوائر كهربائية مغلقة، وبالتالي نفترض وجود ثلاثة تيارات دوارة $\bar{i}_{\text{I}}, \bar{i}_{\text{II}}, \bar{i}_{\text{III}}$ كما هو مبين بشكل رقم (٤ - ٤٠). وحل الدائرة الكهربائية يعتمد بطريقة أساسية على إيجاد هذه التيارات الثلاثة.



شكل رقم (٤ - ٤٠)

فلالاحظ أن:

$$\text{تيار: } \bar{i}_T = \bar{i}_{\text{I}}$$

$$\text{تيار: } \bar{i}_1 = \bar{i}_{\text{I}} - \bar{i}_{\text{II}}$$

$$\text{تيار: } \bar{i}_2 = \bar{i}_{\text{II}}$$

$$\text{تيار: } \bar{i}_3 = \bar{i}_{\text{I}} - \bar{i}_{\text{III}}$$

$$\text{تيار: } \bar{i}_4 = \bar{i}_{\text{III}}$$

$$\text{تيار: } \bar{i}_5 = \bar{i}_{\text{III}} - \bar{i}_{\text{II}}$$

وبالتالي تؤدي هذه الطريقة بالإضافة إلى تنظيم الحل بطريقة روتينية، إلى اختصار عدد المجاهيل. نبدأ ببناء مصفوفة المعاوقيات، وهي مصفوفة مربعة متماثلة (3×3) حيث عدد الدوائر $= k = 3$ ، ونببدأ بمكونات القطر كالتالي:

$$\bar{Z}_{11} = \bar{Z}_1 + \bar{Z}_3 = (12 \Omega \angle 0^\circ)$$

$$\bar{Z}_{22} = \bar{Z}_1 + \bar{Z}_2 + \bar{Z}_5 = (34 \Omega \angle -3.4^\circ)$$

$$\bar{Z}_{33} = \bar{Z}_3 + \bar{Z}_4 + \bar{Z}_5 = (10 \Omega \angle 53.13^\circ) + (10 \Omega \angle -36.87^\circ) + (20 \Omega \angle 0^\circ)$$

$$\bar{Z}_{33} = (34 + j2) \Omega = 34.06 \Omega \angle 3.8^\circ$$

وبالتالي يمكن كتابة مصفوفة المعاوقات كالتالي:

$$[\bar{Z}] = \begin{bmatrix} 12 \angle 0^\circ & -10 \angle -53.13^\circ & -10 \angle 53.13^\circ \\ -10 \angle -53.13^\circ & 34.06 \angle -3.4^\circ & -20 \angle 0^\circ \\ -10 \angle 53.13^\circ & -20 \angle 0^\circ & 34.06 \angle 3.4^\circ \end{bmatrix}$$

ويتمكن كتابة متوجه التيارات كالتالي:

$$[\bar{i}] = \begin{bmatrix} \bar{i}_I \\ \bar{i}_{II} \\ \bar{i}_{III} \end{bmatrix}$$

ويتمكن كتابة متوجه الجهد كالتالي:

$$[\bar{V}] = \begin{bmatrix} 220 \angle 0^\circ \\ 0 \angle 0^\circ \\ 0 \angle 0^\circ \end{bmatrix}$$

وهكذا يمكن كتابة النظام الكامل للمعادلات الخاصة بالدائرة الكهربائية،

كالتالي:

$$\begin{bmatrix} 12 \angle 0^\circ & -10 \angle -53.13^\circ & -10 \angle 53.13^\circ \\ -10 \angle -53.13^\circ & 34.06 \angle -3.4^\circ & -20 \angle 0^\circ \\ -10 \angle 53.13^\circ & -20 \angle 0^\circ & 34.06 \angle 3.4^\circ \end{bmatrix} \begin{bmatrix} \bar{i}_I \\ \bar{i}_{II} \\ \bar{i}_{III} \end{bmatrix} = \begin{bmatrix} 220 \angle 0^\circ \\ 0 \angle 0^\circ \\ 0 \angle 0^\circ \end{bmatrix}$$

ويكون الحل الرياضي لهذا النظام على الصورة الرياضية الآتية:

$$\begin{bmatrix} \bar{i}_I \\ \bar{i}_{II} \\ \bar{i}_{III} \end{bmatrix} = \begin{bmatrix} 12 \angle 0^\circ & -10 \angle -53.13^\circ & -10 \angle 53.13^\circ \\ -10 \angle -53.13^\circ & 34.06 \angle -3.4^\circ & -20 \angle 0^\circ \\ -10 \angle 53.13^\circ & -20 \angle 0^\circ & 34.06 \angle 3.4^\circ \end{bmatrix}^{-1} \begin{bmatrix} 220 \angle 0^\circ \\ 0 \angle 0^\circ \\ 0 \angle 0^\circ \end{bmatrix}$$

وأحد الحلول لهذا النظام وهي طريقة المحددات، كالتالي:

$$\bar{i}_I = \frac{\begin{vmatrix} 220 \angle 0^\circ & -10 \angle -53.13^\circ & -10 \angle 53.13^\circ \\ 0 \angle 0^\circ & 34.06 \angle -3.4^\circ & -20 \angle 0^\circ \\ 0 \angle 0^\circ & -20 \angle 0^\circ & 34.06 \angle 3.4^\circ \end{vmatrix}}{\begin{vmatrix} 12 \angle 0^\circ & -10 \angle -53.13^\circ & -10 \angle 53.13^\circ \\ -10 \angle -53.13^\circ & 34.06 \angle -3.4^\circ & -20 \angle 0^\circ \\ -10 \angle 53.13^\circ & -20 \angle 0^\circ & 34.06 \angle 3.4^\circ \end{vmatrix}}$$

$$\bar{i}_{II} = \frac{\begin{vmatrix} 12 \angle 0^\circ & 220 \angle 0^\circ & -10 \angle 53.13^\circ \\ -10 \angle -53.13^\circ & 0 \angle 0^\circ & -20 \angle 0^\circ \\ -10 \angle 53.13^\circ & 0 \angle 0^\circ & 34.06 \angle 3.4^\circ \end{vmatrix}}{\begin{vmatrix} 12 \angle 0^\circ & -10 \angle -53.13^\circ & -10 \angle 53.13^\circ \\ -10 \angle -53.13^\circ & 34.06 \angle -3.4^\circ & -20 \angle 0^\circ \\ -10 \angle 53.13^\circ & -20 \angle 0^\circ & 34.06 \angle 3.4^\circ \end{vmatrix}}$$

$$\bar{i}_{III} = \frac{\begin{vmatrix} 12 \angle 0^\circ & -10 \angle -53.13^\circ & 220 \angle 0^\circ \\ -10 \angle -53.13^\circ & 34.06 \angle -3.4^\circ & 0 \angle 0^\circ \\ -10 \angle 53.13^\circ & -20 \angle 0^\circ & 0 \angle 0^\circ \end{vmatrix}}{\begin{vmatrix} 12 \angle 0^\circ & -10 \angle -53.13^\circ & -10 \angle 53.13^\circ \\ -10 \angle -53.13^\circ & 34.06 \angle -3.4^\circ & -20 \angle 0^\circ \\ -10 \angle 53.13^\circ & -20 \angle 0^\circ & 34.06 \angle 3.4^\circ \end{vmatrix}}$$

• ونبدأ بحساب المحددات، كالتالي:

i. المحددة الرئيسية للمصفوفة:

$$|\bar{Z}| = \begin{vmatrix} 12 \angle 0^\circ & -10 \angle -53.13^\circ & -10 \angle 53.13^\circ \\ -10 \angle -53.13^\circ & 34.06 \angle -3.4^\circ & -20 \angle 0^\circ \\ -10 \angle 53.13^\circ & -20 \angle 0^\circ & 34.06 \angle 3.4^\circ \end{vmatrix}$$

$$\begin{aligned} |\bar{Z}| &= (12 \angle 0^\circ)((34.06 \angle -3.4^\circ)(34.06 \angle 3.4^\circ) - (-20 \angle 0^\circ)(-20 \angle 0^\circ)) \\ &\quad + (10 \angle -53.13^\circ)((-10 \angle -53.13^\circ)(34.06 \angle 3.4^\circ) - (10 \angle 53.13^\circ)(20 \angle 0^\circ)) \\ &\quad + (-10 \angle 53.13^\circ)((10 \angle -53.13^\circ)(20 \angle 0^\circ) + (10 \angle 53.13^\circ)(34.06 \angle -3.4^\circ)) \end{aligned}$$

$$\begin{aligned} |\bar{Z}| &= (12 \angle 0^\circ)((1160 \angle 0^\circ) - (400 \angle 0^\circ)) \\ &\quad + (10 \angle -53.13^\circ)((-340.6 \angle -49.73^\circ) - (200 \angle 53.13^\circ)) \\ &\quad - (10 \angle 53.13^\circ)((200 \angle -53.13^\circ) + (340.6 \angle 49.73^\circ)) \\ &= (12 \angle 0^\circ)(760 + j0) + (10 \angle -53.13^\circ)(-340.16 + j99.88) \\ &\quad - (10 \angle 53.13^\circ)(340.16 + j99.88) \\ &= (12 \angle 0^\circ)(760 \angle 0^\circ) + (10 \angle -53.13^\circ)(354.52 \angle 163.63^\circ) \\ &\quad - (10 \angle 53.13^\circ)(354.5 \angle 16.4^\circ) \\ &= (9120 \angle 0^\circ) + (3545.2 \angle 110.5^\circ) - (3545 \angle 69.53^\circ) = 6638.7 - j0.5 \\ &= 6638.7 \angle 0^\circ \end{aligned}$$

.ii. المحددة الأولى للمصفوفة:

$$|\bar{Z}|_1 = \begin{vmatrix} 220 \angle 0^\circ & -10 \angle -53.13^\circ & -10 \angle 53.13^\circ \\ 0 \angle 0^\circ & 34.06 \angle -3.4^\circ & -20 \angle 0^\circ \\ 0 \angle 0^\circ & -20 \angle 0^\circ & 34.06 \angle 3.4^\circ \end{vmatrix}$$

و واضح أنه من الأيسير أن نفك المحددة من العمود الأول كالتالي:

$$\begin{aligned} |\bar{Z}|_1 &= (220 \angle 0^\circ)((34.06 \angle -3.4^\circ)(34.06 \angle 3.4^\circ) - (-20 \angle 0^\circ)(-20 \angle 0^\circ)) \\ &= (220 \angle 0^\circ)((1160 \angle 0^\circ) - (400 \angle 0^\circ)) = (220 \angle 0^\circ)(760 + j0) \\ &= (220 \angle 0^\circ)(760 \angle 0^\circ) = 167200 \angle 0^\circ \end{aligned}$$

.iii. المحددة الثانية للمصفوفة:

$$|\bar{Z}|_2 = \begin{vmatrix} 12 \angle 0^\circ & 220 \angle 0^\circ & -10 \angle 53.13^\circ \\ -10 \angle -53.13^\circ & 0 \angle 0^\circ & -20 \angle 0^\circ \\ -10 \angle 53.13^\circ & 0 \angle 0^\circ & 34.06 \angle 3.4^\circ \end{vmatrix}$$

و واضح أنه من الأيسير أن نفك المحددة من العمود الثاني كالتالي:

$$\begin{aligned}
 |\bar{Z}|_2 &= (-220 \angle 0^\circ)((-10 \angle -53.13^\circ)(34.06 \angle 3.4^\circ) - (-10 \angle 53.13^\circ)(-20 \angle 0^\circ)) \\
 &= (-220 \angle 0^\circ)((-340.6 \angle -49.73^\circ) - (200 \angle 53.13^\circ)) \\
 &= (-220 \angle 0^\circ)(-340.16 + j99.88) = (-220 \angle 0^\circ)(340.16 - j99.88) \\
 &= (-220 \angle 0^\circ)(354.52 \angle 163.64^\circ) = -77994.53 \angle 163.64^\circ = 77994.53 \angle -163.64^\circ
 \end{aligned}$$

iv. المحددة الثانية للمصفوفة:

$$|\bar{Z}|_3 = \begin{vmatrix} 12 \angle 0^\circ & -10 \angle -53.13^\circ & 220 \angle 0^\circ \\ -10 \angle -53.13^\circ & 34.06 \angle -3.4^\circ & 0 \angle 0^\circ \\ -10 \angle 53.13^\circ & -20 \angle 0^\circ & 0 \angle 0^\circ \end{vmatrix}$$

وواضح أنه من الأيسر أن نفك المحددة من العمود الثالث كالتالي:

$$\begin{aligned}
 |\bar{Z}|_3 &= (220 \angle 0^\circ)((-10 \angle -53.13^\circ)(-20 \angle 0^\circ) - (-10 \angle 53.13^\circ)(34.06 \angle -3.4^\circ)) \\
 &= (220 \angle 0^\circ)((200 \angle -53.13^\circ) + (340.6 \angle 49.73^\circ)) = (220 \angle 0^\circ)(340.16 + j99.88) \\
 &= (220 \angle 0^\circ)(354.5 \angle 16.36^\circ) = 77994.55 \angle 16.36^\circ
 \end{aligned}$$

• ثم نحسب التيارات كالتالي:

$$\bar{i}_I = \frac{|\bar{Z}|_1}{|\bar{Z}|} = \frac{167200 \angle 0^\circ}{6638.7 \angle 0^\circ} = 25.16 \text{ A} \angle 0^\circ$$

$$\bar{i}_{II} = \frac{|\bar{Z}|_2}{|\bar{Z}|} = \frac{77994.53 \angle -163.64^\circ}{6638.7 \angle 0^\circ} = 11.75 \text{ A} \angle -163.64^\circ$$

$$\bar{i}_{III} = \frac{|\bar{Z}|_3}{|\bar{Z}|} = \frac{77994.55 \angle 16.4^\circ}{6638.7 \angle 0^\circ} = 11.75 \text{ A} \angle 16.4^\circ$$

• ثم نحسب التيارات المطلوبة:

$$\bar{i}_T = \bar{i}_I = 25.16 \text{ A} \angle 0^\circ$$

$$\bar{i}_1 = \bar{i}_I - \bar{i}_{II} = (25.16 \angle 0^\circ) - (11.75 \angle -163.64^\circ) = 13.89 + j3.31 = 14.3 \text{ A} \angle 13.4^\circ$$

$$\bar{i}_2 = \bar{i}_{II} = 11.75 \text{ A} \angle -163.64^\circ$$

$$\bar{i}_3 = \bar{i}_I - \bar{i}_{III} = 25.16 \text{ A} \angle 0^\circ - 11.75 \text{ A} \angle 16.4^\circ = 13.89 - j3.32 = 14.3 \text{ A} \angle -13.4^\circ$$

$$\bar{i}_4 = \bar{i}_{\text{III}} = 11.75 \text{ A} \angle 16.4^\circ$$

$$\bar{i}_5 = \bar{i}_{\text{III}} - \bar{i}_{\text{II}} = 11.75 \text{ A} \angle 16.4^\circ - (11.75 \text{ A} \angle -163.64^\circ)$$

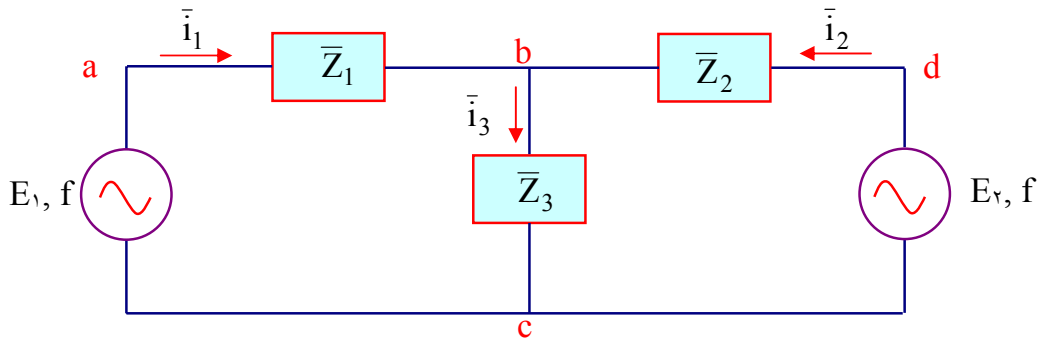
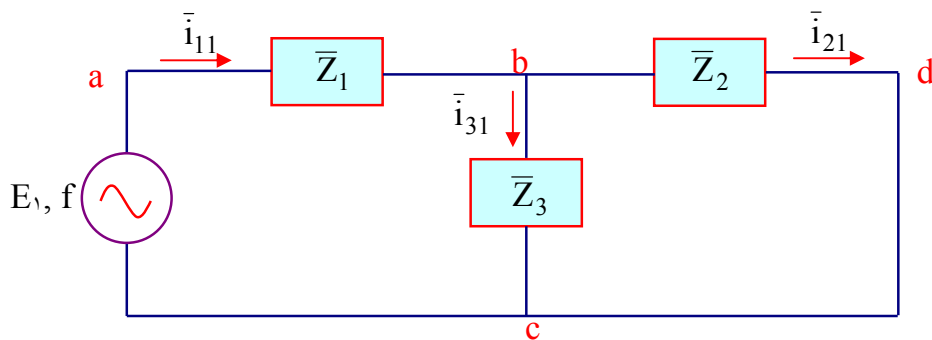
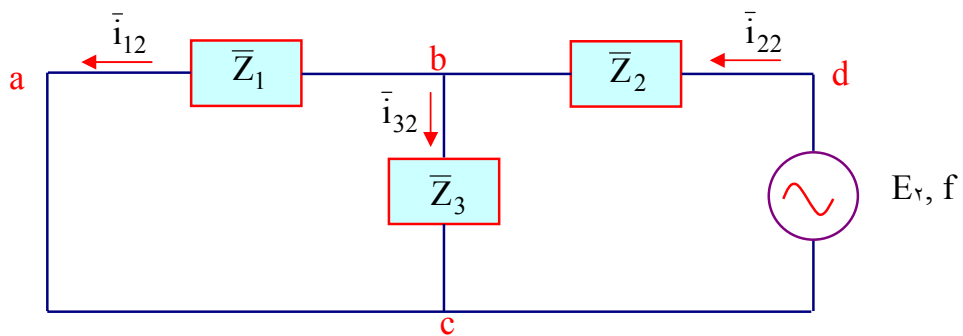
$$\bar{i}_5 = 11.75 \text{ A} \angle 16.4^\circ + 11.75 \text{ A} \angle 163.64^\circ = 0 + j 6.63 = 6.63 \text{ A} \angle 90^\circ$$

ويلاحظ اتفاق قيمة التيار \bar{i}_5 المحسوبة بهذه الطريقة مع قيمته المحسوبة في المثال رقم (٤ - ١٢) وكذلك اتفاق قيمة التيار \bar{i}_5 مع قيمته المحسوبة في المثالين رقم (٤ - ١٣) ورقم (٤ - ١٤).

٤ - ٣ - ٥ نظرية التركيب Superposition Theorem

كما درسنا في منهاج هندسة كهربائية - ١ ، تعتمد نظرية التركيب أو التجميع على الحقيقة العلمية التي تنص على أن التأثير الكهربائي في أي فرع من أفرع الدائرة الكهربائية التي تحتوي على أكثر من مصدر هو مجموع تأثيرات كل مصدر على حده في هذا الفرع.

كمثال على ذلك، الدائرة الكهربائية في شكل رقم (٤ - ٤١) التي تحتوي على مصدري الجهد \bar{E}_1, \bar{E}_2 معاً، فإن التيارات $\bar{i}_1, \bar{i}_2, \bar{i}_3$ هي محصلة للتأثيرات الفردية لكل من \bar{E}_1, \bar{E}_2 على حدة كما هو مبين بالشكلين رقم (٤ - ٤٢) و (٤ - ٤٣).

شكل رقم (٤ - ٤١) محصلة تأثيرات المصادرين \bar{E}_1, \bar{E}_2 شكل رقم (٤ - ٤٢) تأثير المصدر E_1 فقطشكل رقم (٤ - ٤٣) تأثير المصدر E_2 فقط

وعلى ذلك يكون:

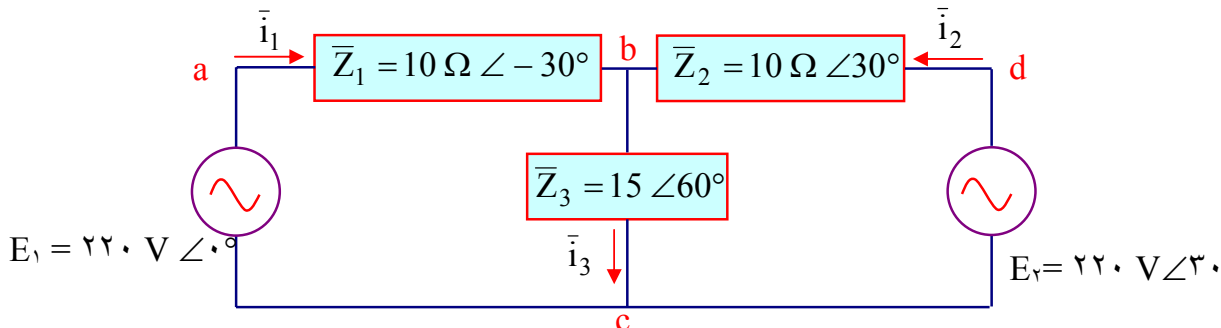
$$\bar{i}_1 = \bar{i}_{11} - \bar{i}_{12} \quad (٥٥-٤)$$

$$\bar{i}_2 = \bar{i}_{22} - \bar{i}_{21} \quad (٥٦-٤)$$

$$\bar{i}_3 = \bar{i}_{31} + \bar{i}_{32} \quad (٥٧-٤)$$

مثال رقم (٤ - ١٧)

باستخدام نظرية التركيب، احسب تيارات الدائرة الكهربائية المبينة في شكل رقم (٤ - ٤٤).

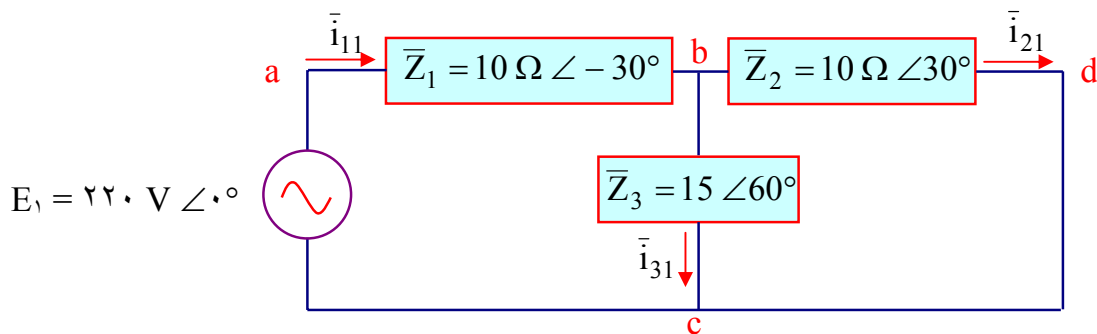


شكل رقم (٤ - ٤٣) الدائرة الكهربائية للمثال رقم (٤ - ١٧)

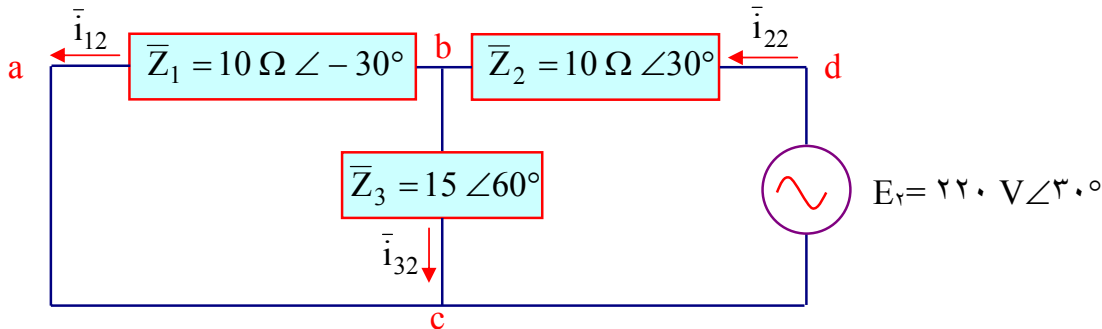
الحل

يمكن اعتبار الدائرة الكهربائية في شكل رقم (٤ - ٤٣) هي محصلة الدائرتين الموضعتين في الشكلين رقم (٤ - ٤٤) و (٤ - ٤٥)، أي محصلة أو مجموع تأثير كل مصدر على حده في الدائرة الكهربائية، وعلى ذلك يمكن حساب التيارات كالتالي:

$$\bar{i}_{11} = \frac{\bar{E}_1}{\bar{Z}_1 + \frac{\bar{Z}_2 \bar{Z}_3}{\bar{Z}_2 + \bar{Z}_3}} = \frac{\bar{E}_1 \cdot (\bar{Z}_2 + \bar{Z}_3)}{(\bar{Z}_1 \bar{Z}_2 + \bar{Z}_1 \bar{Z}_3 + \bar{Z}_2 \bar{Z}_3)}$$



شكل رقم (٤ - ٤٤) تأثير E1 فقط

شكل رقم (٤) تأثير E_r فقط

$$\bar{i}_{11} = \frac{220 \text{ V} \angle 0^\circ \cdot (10 \Omega \angle 30^\circ + 15 \Omega \angle 60^\circ)}{(10 \Omega \angle -30^\circ \cdot 10 \Omega \angle 30^\circ + 10 \Omega \angle -30^\circ \cdot 15 \Omega \angle 60^\circ + 10 \Omega \angle 30^\circ \cdot 15 \Omega \angle 60^\circ)}$$

$$\bar{i}_{11} = \frac{220 \text{ V} \angle 0^\circ \cdot (23.15 + j18) \Omega}{(100 \Omega^2 \angle 0^\circ + 150 \Omega^2 \angle 30^\circ + 150 \Omega^2 \angle 90^\circ)} = \frac{220 \text{ V} \angle 0^\circ \cdot 29.32 \Omega \angle 37.85^\circ}{230 + j225}$$

$$\bar{i}_{11} = \frac{220 \text{ V} \angle 0^\circ \cdot 29.32 \Omega \angle 37.85^\circ}{321.75 \Omega^2 \angle 44.4^\circ} = 20.05 \text{ A} \angle -6.55^\circ$$

ثم من قانون تقسيم التيارات:

$$\bar{i}_{21} = \bar{i}_{11} \frac{\bar{Z}_2}{\bar{Z}_2 + \bar{Z}_3} = (20.05 \text{ A} \angle -6.55^\circ) \cdot \frac{10 \Omega \angle 30^\circ}{29.32 \Omega \angle 37.85^\circ} = 8.84 \text{ A} \angle -14.4^\circ$$

$$\bar{i}_{31} = \bar{i}_{11} \frac{\bar{Z}_3}{\bar{Z}_2 + \bar{Z}_3} = (20.05 \text{ A} \angle -6.55^\circ) \cdot \frac{15 \Omega \angle 60^\circ}{29.32 \Omega \angle 37.85^\circ} = 10.26 \text{ A} \angle -15.6^\circ$$

$$\bar{i}_{22} = \frac{\bar{E}_2}{\bar{Z}_2 + \frac{\bar{Z}_1 \bar{Z}_3}{\bar{Z}_1 + \bar{Z}_3}} = \frac{\bar{E}_2 \cdot (\bar{Z}_1 + \bar{Z}_3)}{(\bar{Z}_1 \bar{Z}_2 + \bar{Z}_1 \bar{Z}_3 + \bar{Z}_2 \bar{Z}_3)}$$

$$\bar{i}_{22} = \frac{220 \text{ V} \angle 30^\circ \cdot (10 \Omega \angle -30^\circ + 15 \Omega \angle 60^\circ)}{321.75 \Omega^2 \angle 44.4^\circ} = \frac{220 \text{ V} \angle 30^\circ \cdot (16.16 + j8)}{321.75 \Omega^2 \angle 44.4^\circ}$$

$$\bar{i}_{22} = \frac{(220 \text{ V} \angle 30^\circ) \cdot (18.03 \Omega \angle 26.31^\circ)}{321.75 \Omega^2 \angle 44.4^\circ} = 12.33 \text{ A} \angle 12^\circ$$

$$\bar{i}_{12} = \bar{i}_{22} \frac{\bar{Z}_3}{\bar{Z}_1 + \bar{Z}_3} = \cdot \frac{(12.33 \text{ A} \angle 12^\circ) \cdot (15 \Omega \angle 60^\circ)}{18.03 \Omega \angle 26.31^\circ} = 10.25 \text{ A} \angle 45.6^\circ$$

$$\bar{i}_{32} = \bar{i}_{22} \frac{\bar{Z}_1}{\bar{Z}_1 + \bar{Z}_3} = \cdot \frac{(12.33 \text{ A} \angle 12^\circ) \cdot (10 \Omega \angle -30^\circ)}{18.03 \Omega \angle 26.31^\circ} = 6.84 \text{ A} \angle -44.4^\circ$$

ثم تجمع التيارات:

$$\bar{i}_1 = \bar{i}_{11} - \bar{i}_{12} = (20.05 \text{ A} \angle -6.55^\circ) - (10.25 \text{ A} \angle 45.6^\circ) = 12.75 - j9.6$$

$$\bar{i}_1 = 15.97 \text{ A} \angle -37^\circ$$

$$\bar{i}_2 = \bar{i}_{22} - \bar{i}_{21} = (12.33 \text{ A} \angle 12^\circ) - (8.84 \text{ A} \angle -14.4^\circ) = 2.18 - j0.217$$

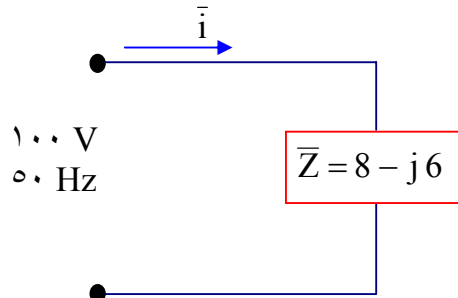
$$\bar{i}_2 = 2.2 \text{ A} \angle -5.7^\circ$$

$$\bar{i}_3 = \bar{i}_{31} + \bar{i}_{32} = (10.26 \text{ A} \angle -15.6^\circ) + (6.84 \text{ A} \angle -44.4^\circ) = 14.77 - j2.03$$

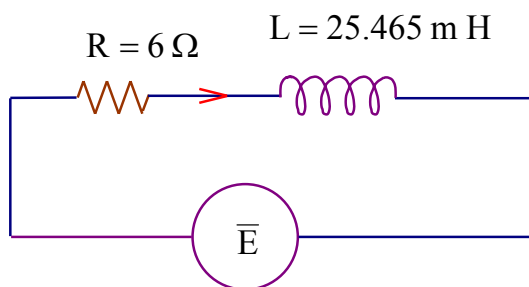
$$\bar{i}_3 = 14.9 \text{ A} \angle -7.8^\circ$$

تدريبات على الوحدة الرابعة

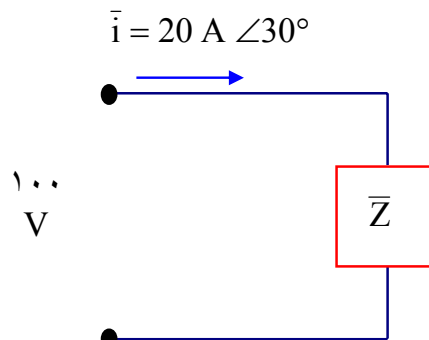
١. احسب قيمة التيار المسحوب من المصدر للشكل التالي، واحسب مكونات المعاوقة \bar{Z} .



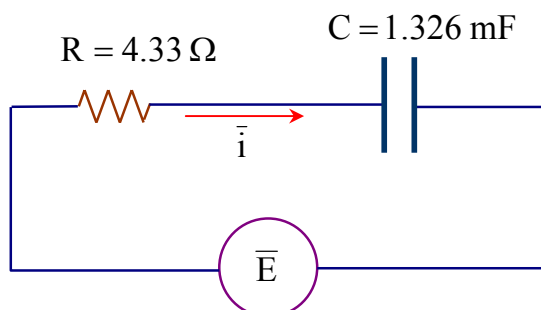
٢. احسب قيمة التيار المسحوب من المصدر للشكل التالي، إذا كانت قيمة جهد المصدر $\bar{E} = 110 \text{ V} \angle 0^\circ$ ، علمًا بأن قيمة التردد تساوي 60 Hz .



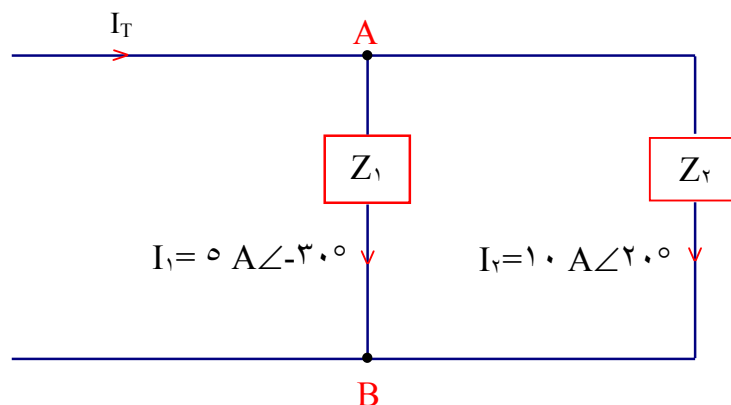
٣. احسب قيمة المعاوقة \bar{Z} للشكل التالي واحسب مكوناتها.



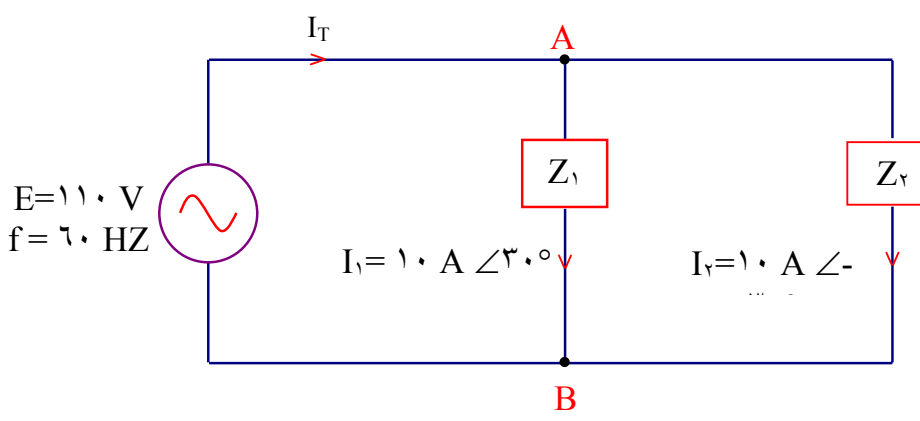
٤. للشكل التالي، احسب قيمة التيار المسحوب من المصدر \bar{I} ، إذا كانت قيمة جهد المصدر $\bar{E} = 110 \text{ V} \angle 0^\circ$ ، علماً بأن قيمة تردد المصدر يساوي 50 Hz .



٥. للشكل التالي، احسب قيمة التيار الكلي I_T .



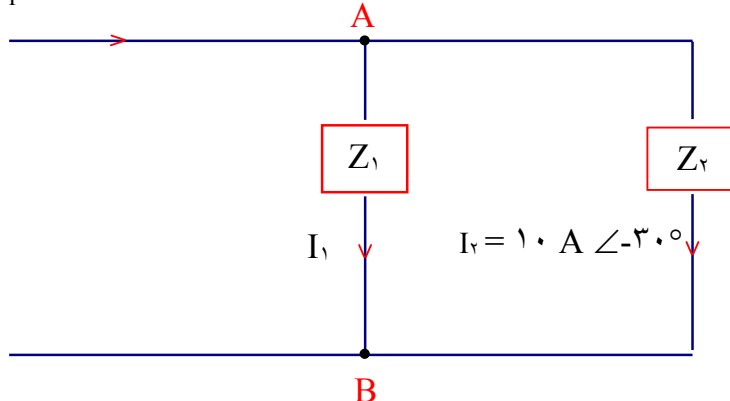
٦. للشكل التالي، احسب قيم ومكونات المعاوقيات Z_1 , Z_2 ، إذا كان مصدر الجهد: $E=110 \text{ V}$, $f=60 \text{ Hz}$



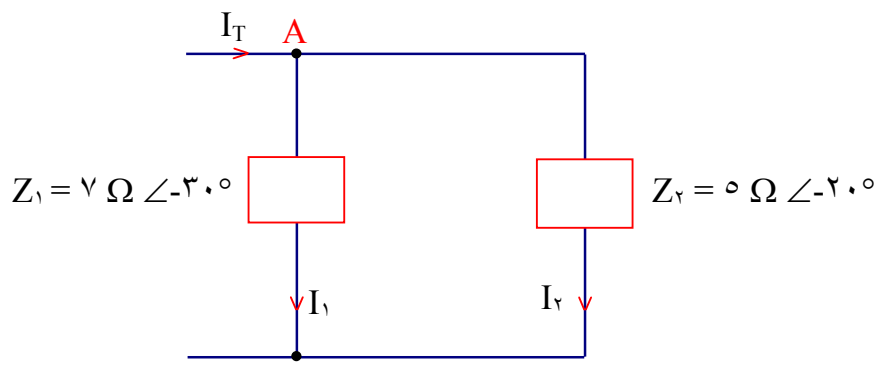


.٧. في الشكل التالي، احسب قيمة التيار الفرعى I_1 .

$$I_T = 40 \text{ A} \angle -60^\circ$$

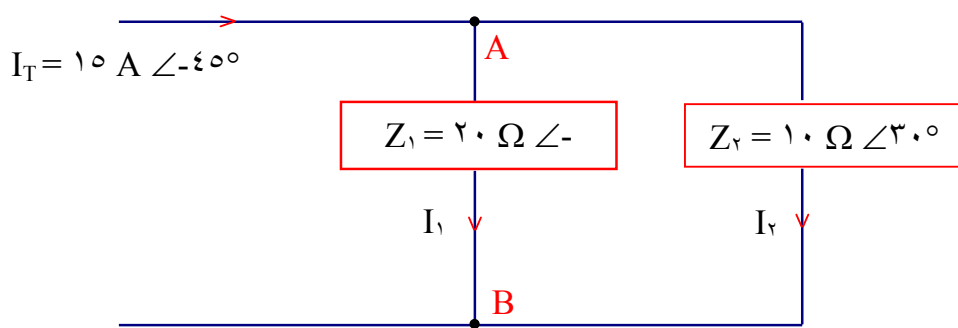


.٨. احسب قيمة المعاوقة المكافئة للشكل التالي.

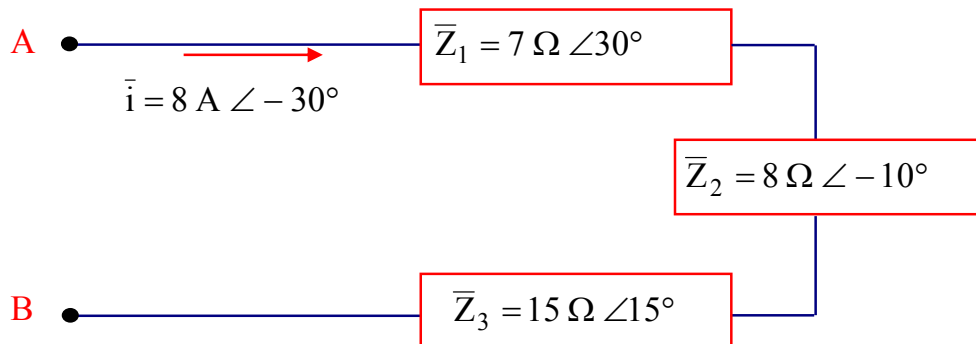


.٩. للسؤال رقم (٦)، احسب المعاوقة المكافئة.

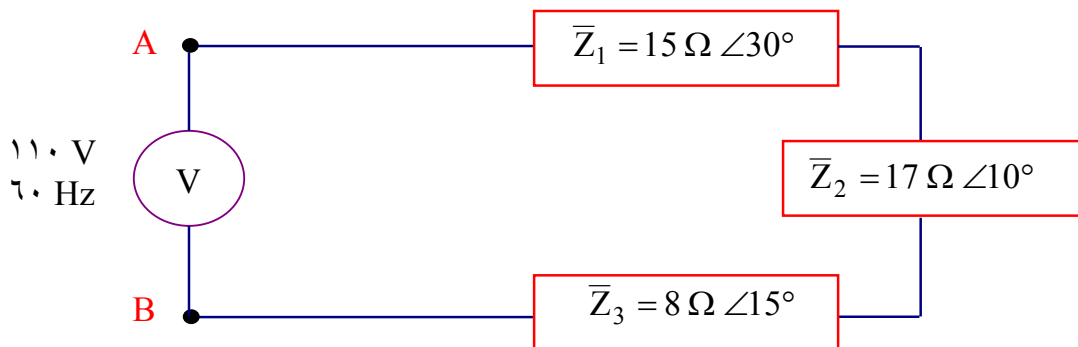
.١٠. في الشكل المقابل رقم (٤ - ١٣)، احسب التيارات الفرعية I_1 , I_2 ، باستخدام قانون تجزء التيار.



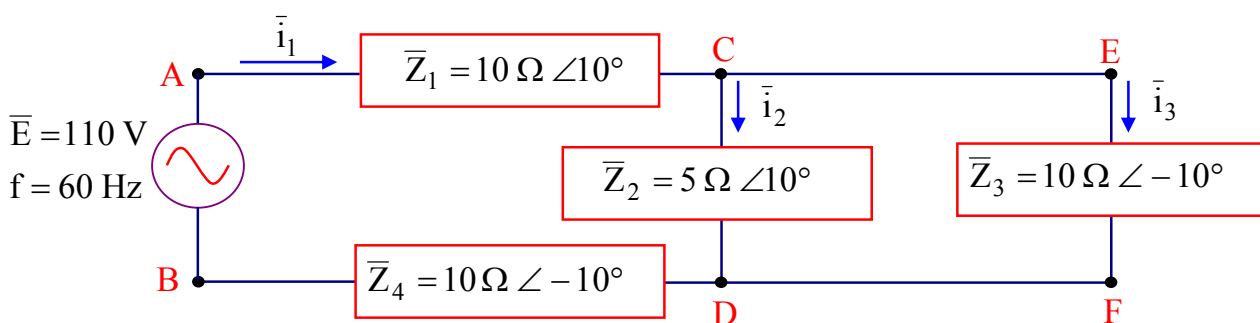
١١. في الشكل رقم المقابل، احسب الجهد بين النقاطين A, B، واحسب كذلك المعاوقة المكافئة.



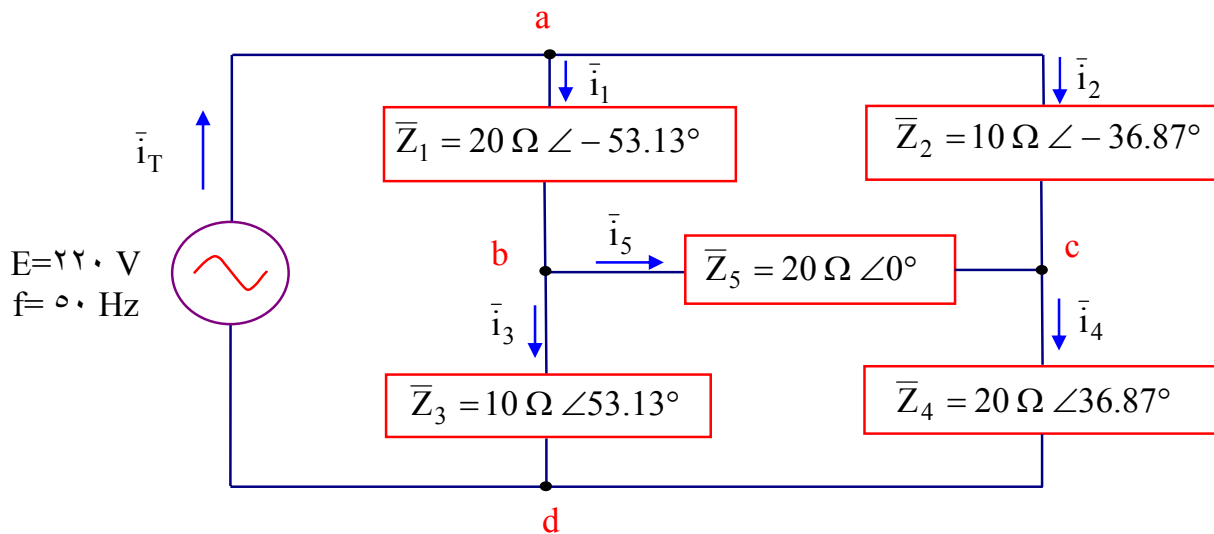
١٢. في الشكل المقابل، احسب تيار الدائرة، ثم احسب الجهد على كل معاوقة من المعاوقيات الثلاثة باستخدام قانون تقسيم الجهد.



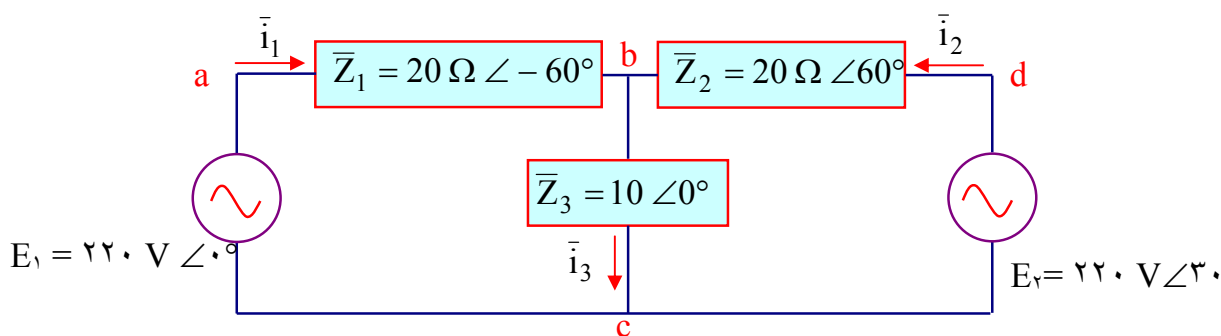
١٣. في شكل المقابل، احسب التيارات \bar{i}_1 , \bar{i}_2 & \bar{i}_3 ، باستخدام طريقة الاختزال.



١٤. في السؤال رقم (١٢)، احسب التيار \bar{i}_2 باستخدام نظرية ثفنن.
١٥. للدائرة الكهربائية المبينة بشكل رقم (٤ - ٢٨)، احسب التيار المسحوب من المصدر باستخدام تحويلات (Δ -Y) أو تحويلات (Y- Δ).



١٦. في السؤال رقم (١٥)، احسب التيار \bar{i}_5 ، باستخدام نظرية ثفنن.
١٧. في السؤال رقم (١٥)، احسب التيار \bar{i}_5 ، باستخدام نظرية الحلقة المغلقة.
١٨. باستخدام نظرية التركيب، احسب تيارات الدائرة الكهربائية المبينة في الشكل المقابل.



١٩. في السؤال رقم (١٨)، احسب التيار i_3 باستخدام تحويلات (Δ -Y).



هندسة كهربائية - ٢

دوائر الارتباط المغناطيسية والحقن المتبادل

الأهداف العامة للوحدة الخامسة

بعد الانتهاء من دراسة هذه الوحدة، يكون الطالب قادرًا على معرفة:

- المحث المغناطيسي من محث ذاتي ومحث متبدال بين ملفين.
- كيفية حساب معامل المحث الذاتي المحث المتبدال بين ملفين.
- العلاقات بين القوة الدافعة الكهربائية المستحثة والتيار المار في الملف ومعامل المحث الذاتي ومعامل المحث المتبدال بين ملفين.
- نظرية عمل المحول الكهربائي.
- تركيب المحول الكهربائي.
- العلاقات الكهربائية بين الجهد والتيار لملفي المحول الكهربائي.
- كفاءة المحول الكهربائي.
- تطبيقات عملية على المحول الكهربائي.

٥ - مقدمة Introduction

سبق أن تحدثنا في الوحدة الثانية والوحدة الثالثة عن الارتباط الوثيق بين المجال المغناطيسيي و التيار الكهربائي المتعدد حيث إنهما ظاهرتان فيزيائيتان متلازمتان، أي لتوليد التيار الكهربائي المتعدد لابد من وجود مجال مغناطيسيي وفي المقابل فإن سريان التيار الكهربائي المتعدد في دائرة كهربائية ينتج عنه بالضرورة مجال مغناطيسيي. وتحدثنا أيضاً عن التأثير المغناطيسيي للتيار المتعدد في الملف وكيفية توليد قوة دافعة كهربائية في الملف نتيجة قطع المجال المغناطيسيي للملف أو قطع الملف للمجال المغناطيسيي. وفي هذا الباب سوف نتطرق إلى بعض التفصيلات الخاصة بهذه الظاهرة الفيزيائية الهامة.

٥-٢- الحث المغناطيسي Magnetic Induction

٥-٢-١- الحث الذاتي للملف Self Inductance of a Coil

سبق الحديث في الوحدة الثالثة بصورة عامة عن معامل الحث الذاتي للملف (L) من حيث كونه أحد العناصر الهامة في دوائر التيار المتعدد، وسوف نوجز هنا بعض التفصيلات الخاصة به.

تعريف الحث الذاتي للملف

الحث الذاتي للملف هو التأثير الكهرومغناطيسيي الحادث في الملف عند تغير شدة التيار المار به.

تعريف ملف الحث

هو الملف الذي تتولد بين أطرافه قوة دافعة كهربائية مستحبة عند تغير شدة التيار المار به.

٥-٢-١- العوامل التي يتوقف عليها معامل الحث الذاتي للملف

Factors that Affect the Self Inductance

يتوقف معامل الحث الذاتي للملف على العوامل التالية

١. عدد لفات الملف
٢. طول الملف (وبما أن الملف يتكون من عدد N من اللفات المتطابقة، إذن طول الملف يتاسب مع عدد اللفات (N)).
٣. الصفات المغناطيسية للوسط المار به المجال المغناطيسيي في قلب الملف (النفاذية المغناطيسية للقلب).
٤. هندسة شكل الملف.

٥ - ٢ - ١ - حساب الحث الذاتي للملف Calculation of Self Inductance

طبقاً للمعادلة رقم (٣ - ١٠) التي تصف العلاقة الرياضية بين القوة الدافعة الكهربائية المتولدة نتيجة الحث الكهرومغناطيسي على الملف والمتباعدة نتيجة تغير التيار i وبين معامل الحث الذاتي للملف L

ومعدل تغير التيار بالنسبة للزمن $\frac{di}{dt}$ ، والتي على الصورة الآتية:

$$E = -N \frac{d\phi}{dt} = -L \frac{di}{dt} \quad (١-٥)$$

يمكن حساب معامل الحث الذاتي للملف L كما يأتي:

$$L = \frac{-E}{(di/dt)} \quad (٢-٥)$$

$$L = N \frac{d\phi}{di} \quad (٣-٥)$$

وبالتالي يمكن تعريف معامل الحث الذاتي للملف كالتالي:

تعريف معامل الحث الذاتي للملف (L)

يعرف معامل الحث الذاتي للملف بأنه القوة الدافعة الكهربائية المتولدة في الملف نتيجة الحث الكهرومغناطيسي بين الملف ونفسه (الذاتي) عندما يكون المعدل الزمني لتغير التيار فيه واحد أمبير لكل ثانية.

وتسمى وحدة قياس معامل الحث الذاتي بالهنري (Henry) ، وتعرف بأنها (فولت . ثانية/أمبير).

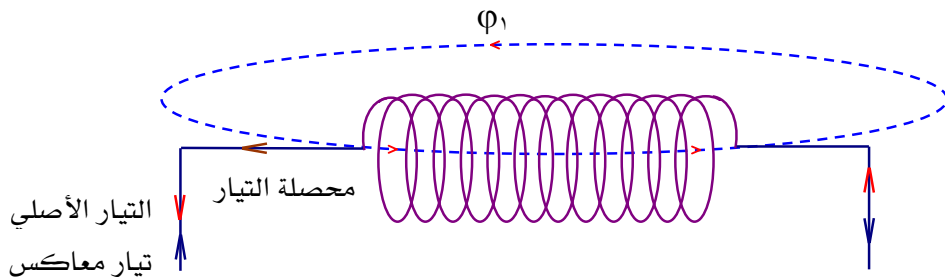
تعريف وحدة الهنري

يعرف الهنري أنه معامل الحث الذاتي للملف الذي يتولد بين أطرافه قوة دافعة كهربائية نتيجة الحث الكهرومغناطيسي بين الملف ونفسه تساوي فولتاً واحداً عندما يكون المعدل الزمني لتغير التيار فيه أمبيراً واحداً لكل ثانية.

وبالرجوع إلى المعادلة رقم (٥ - ٢) ، يلاحظ أن الإشارة السالبة تعني أن القوة الدافعة الكهربائية الناتجة نتيجة الحث الكهرومغناطيسي بين الملف ونفسه نتيجة تغير التيار المار في الملف يكون في اتجاه معاكس لاتجاه التيار المسبب لهذه القوة وذلك مطابق لقاعدة لنز.

٥-٢-٣- أثر المحث الذاتي على العلاقة بين القوة الدافعة الكهربائية والتيار في الملف

Effect of Self Inductance on the Relation between induced emf & Current



شكل رقم (٥ - ١) تأثير المحث الذاتي على التيار في الملف

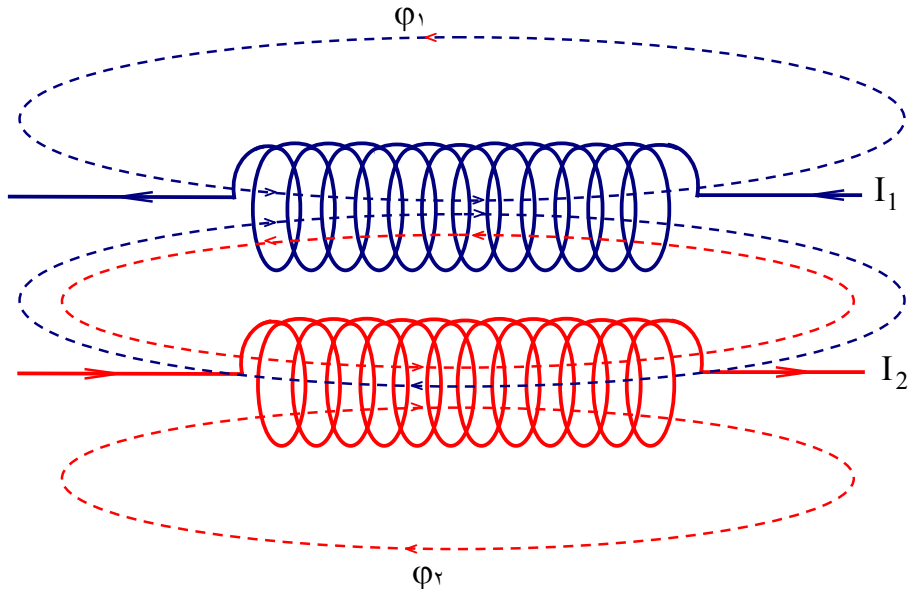
في حالة مرور تيار متغير القيمة في الملف يتولد مجال مغناطيسي متغير من الملف يعاود قطعه فتتولد قوة دافعة كهربائية عكssية تسبب سريان تيار مستحث ذاتياً عكssي في الملف يقاوم التيار الأصلي (كما هو مبين بشكل رقم (٥ - ١)) يجعل نموه بطئاً وهذا هو السبب الفيزيائي لما هو معروف عن تأثير التيار عن الجهد في الملف.

٥-٢- المحث المتبادل Mutual Inductance

في حالة مرور تيار متغير القيمة في ملف ما (الملف الابتدائي) يتولد مجال مغناطيسي متغير القيمة، وفي حالة قطع هذا المجال المغناطيسي لملف آخر مجاور للملف الأول (الملف الثانوي)، تتولد في الملف الثانوي قوة دافعة كهربائية مستحثة وتيار مستحث، وينشأ عن التيار المستحث في الملف الثانوي مجال مغناطيسي يعمل على مقاومة التغير في المجال المغناطيسي الأصلي الناشئ عن تيار الملف الابتدائي كما هو مبين بشكل رقم (٥ - ٢). أي أن كلّاً من الملفين الابتدائي والثانوي يؤثر على الآخر ولذلك يسمى المحث في هذه الحالة بالمحث المتبادل.

تعريف المحث المتبادل بين ملفين:

المحث المتبادل بين ملفين هو التأثير الكهرومغناطيسي الحادث بين ملفين متقاربين يمر ب أحدهما تيار كهربائي متغير الشدة.



شكل رقم (٥-٢) المحث المتبدال بين ملفين

٥-٢-١- معامل المحث المتبدال بين ملفين Mutual Inductance Coefficient

♦ عند مرور تيار شدته I_1 في الملف الابتدائي يتولد حوله فيض مغناطيسي يتاسب مع معدل تغيره تناصباً طردياً مع معدل التغير في شدة التيار، أي أن:

$$\frac{\Delta\phi}{\Delta t} \propto \frac{\Delta I_1}{\Delta t} \quad (4-5)$$

♦ تبعاً لتغير الفيض المغناطيسي الذي يقطع الملف الثانوي يتولد فيه قوة دافعة كهربائية مستحثة بحسب تتناسب مع معدل التغير في الفيض المغناطيسي طبقاً لقانون فارادي، أي أن:

$$\mathcal{E}_2 \propto \frac{\Delta\phi}{\Delta t} \quad (5-5)$$

♦ من المعادلة رقم (٤-٥) و المعادلة رقم (٥-٥) نجد أن:

$$\mathcal{E}_2 \propto \frac{\Delta I_1}{\Delta t} \quad (6-5)$$

♦ ويمكن وضع المعادلة رقم (٦-٥) على الصورة:

$$\mathcal{E}_2 = -M \frac{\Delta I_1}{\Delta t} \quad (7-5)$$

♦ يسمى المعامل M في المعادلة رقم (٥ -٧) بمعامل الحث المتبادل بين ملفين.

♦ يلاحظ الإشارة السالبة التي تدل على أن اتجاه القوة الدافعة الكهربائية المستحثة أو التيار المستحث يكون في اتجاه بحيث يقاوم التغير المسبب له حسب قاعدة لنز.

تعريف معامل الحث المتبادل بين ملفين

يلاحظ من المعادلة رقم (٥ -٧) أن معامل الحث المتبادل M يمكن أن تكتب على الصورة الآتية:

$$-M = \frac{\xi_2}{\left(\frac{\Delta I_1}{\Delta t} \right)} = \xi_2 \frac{\Delta t}{\Delta I_1} \quad (٨-٥)$$

يعرف معامل الحث المتبادل بين ملفين بأنه القوة الدافعة الكهربائية المستحثة المتولدة في أحد ملفي الحث عند تغير شدة التيار في الملف الآخر بمعدل ١ أمبير في الثانية.

وحدة قياس معامل الحث المتبادل

يلاحظ من المعادلة رقم (٥ -٨) أن أبعاد معامل الحث المتبادل هي أبعاد (جهد \times زمن \div تيار).

وتسمى وحدة قياس معامل الحث المتبادل بالهنري (Henry)، وتعرف بأنها (فولت . ثانية/أمير).

مثال رقم (٥ - ١)

احسب معامل الحث المتبادل بين ملفين، إذا كان معدل تغير التيار في أحدهما قدره 5 mA/sec قد تسبب في نشوء جهد مستحث بين طرفي الملف الآخر قدره 0.5 V

الحل

بتطبيق المعادلة رقم (٥ -٨)، نجد الآتي:

$$-M = \frac{\xi_2}{\left(\frac{\Delta I_1}{\Delta t} \right)} = \frac{0.5 \text{ V}}{5 \times 10^{-3} \text{ A/sec}} = 100 \text{ V} \cdot \text{sec/A}$$

٥ - ٣ المحول الكهربائي Transformer

٥ - ٣ - ١ وظيفة المحول الكهربائي Function of Transformer

رفع أو خفض القوة الدافعة الكهربائية المترددة. وتبني نظرية عمله على الحث المتبادل بين ملفين.

٥ - ٣ - ٢ تطبيقات المحول الكهربائي Transformer Applications

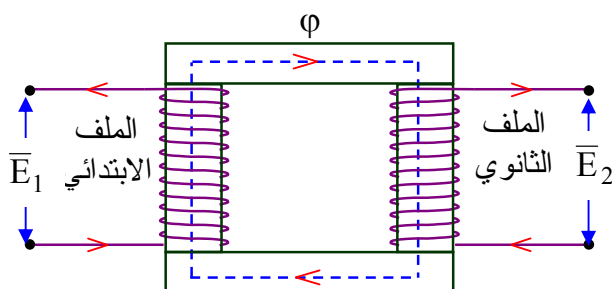
- ♦ يستخدم لإمداد معظم الأجهزة الإلكترونية بالطاقة الكهربائية.

- ♦ يستخدم لتشغيل كثير من الأجهزة المنزلية.

- ♦ يستخدم لنقل الطاقة الكهربائية من محطات توليد الكهرباء (كما ذكر في الوحدة الأولى) إلى مناطق الاستخدام البعيدة.

٥ - ٣ - ٣ تركيب المحول Construction of Transformer

لمعرفة تركيب المحول نعود إلى الوحدة الثانية شكل رقم (٢ - ٥) حيث الملف المعزول ملفوف على قلب حديدي مغلق، ويسمى هذا الملف في هذه الحالة بالملف الابتدائي عند توصيله بمصدر للقوة الدافعة الكهربائية \bar{E}_1 المراد رفعها أو خفضها، ويلف ملف معزول آخر على نفس القلب الحديدي ويسمى بالملف الثانوي يتولد على أطرافه قوة دافعة كهربائية مستحثة ثانية \bar{E}_2 كما هو مبين بشكل رقم (٥ - ٣).



شكل رقم (٥ - ٣) الفكرة الأساسية للمحول الكهربائي

ويلاحظ أن القلب الحديدي مكون من عدة شرائح رقيقة من الحديد السيليكوني معزولة عن بعضها لإنقاص من التيار الإعصارية ولإنقاص من فقد الطاقة.

٥ - ٣ - ٤ نظرية عمل المحول Transformer Operation

يمكن شرح عمل المحول الكهربائي طبقاً للخطوات التالية:

١. يوصل طرفاً الملف الابتدائي بمصدر الجهد المتردد المراد تغييره، بينما يوصل طرفاً الملف الثانوي بالدائرة المراد إمدادها بالجهد الآخر.
٢. يمر تيار متردد في الملف الابتدائي ويسبب تدفقاً لفيض المغناطيسي في القلب الحديدي.
٣. يعمل القلب الحديدي على تجميع خطوط الفيض المغناطيسي فيقطع وبالتالي الملف الثانوي فيتولد بين طرفيه قوة دافعة كهربائية مترددة مستحثة.
٤. عند غلق دائرة الملف الثانوي يمر تيار متردد في الدائرة ويكون تردد هذا التيار مساوياً لتردد التيار المار في الملف الابتدائي.
٥. يتولد عن تيار الملف الثانوي فيض مغناطيسي يعاكس الفيض المغناطيسي الناشئ عن الملف الابتدائي.

٥ - ٣ - ٥ العلاقة بين القوتين الدافعتين الكهربائيتين في ملفي المحول emf Relationship

يمكن إيجاد العلاقة بين القوتين الدافعتين الكهربائيتين في ملفي المحول طبقاً للخطوات التالية:

١. نفترض أن عدد لفات الملف الابتدائي N_1 وأن عدد لفات الملف الثانوي N_2 .
٢. عند مرور التيار المتردد في الملف الابتدائي وغلق دائرة الملف الثانوي، يتولد في الملف الثانوي قوة دافعة كهربائية مستحثة \bar{E}_2 يمكن حساب قيمتها كالتالي:

$$\bar{E}_2 = N_2 \frac{\Delta\Phi}{\Delta t} \quad (9-5)$$

٣. عند فتح دائرة الملف الثانوي مع البقاء على اتصال الملف الابتدائي بالمصدر الكهربائي، فإن تيار الملف الابتدائي يكاد ينعدم وذلك لأن الحث الذاتي للملف الابتدائي يعمل على توليد قوة دافعة كهربائية مستحثة تتزن مع القوة الدافعة الكهربائية للمصدر فتمنع مرور التيار وتكون القوة الدافعة الكهربائية المستحثة المترولة بالحث الذاتي في الملف الابتدائي كالتالي:

$$\bar{E}_1 = N_1 \frac{\Delta\Phi}{\Delta t} \quad (10-5)$$

٤. بقسمة المعادلة رقم (9-5) على المعادلة رقم (10-5) نحصل على الآتي:

$$\frac{\bar{E}_2}{\bar{E}_1} = \frac{\left(N_2 \frac{\Delta\phi}{\Delta t} \right)}{\left(N_1 \frac{\Delta\phi}{\Delta t} \right)} \quad (11-5)$$

$$\frac{\bar{E}_2}{\bar{E}_1} = \frac{N_2}{N_1} \quad (12-5)$$

٥. من المعادلة رقم (١٢-٥) يمكن حساب القوة الدافعة الكهربائية المولدة في الملف الثانوي كالآتي:

$$\bar{E}_2 = \bar{E}_1 \cdot \frac{N_2}{N_1} \quad (13-5)$$

٦. يلاحظ أنه بضبط النسبة بين عدد لفات الملف الثانوي إلى عدد لفات الملف الابتدائي يمكن رفع الجهد في الملف الثانوي أو خفضه بالنسبة لجهد الملف الابتدائي.

٥-٣-٦ العلاقة بين شدتي التيارين في ملفي المحول Currents Relationship

على اعتبار أن المحول جهاز وسيط مثالى، بمعنى أنه يقوم بنقل القدرة الكهربائية كاملة من الملف الابتدائي إلى الملف الثانوي، يمكن كتابة المعادلة الرياضية الآتية:

$$P_1 = P_2 \quad (14-5)$$

وهذا يعني أن:

$$\bar{E}_1 \cdot \bar{i}_1 = \bar{E}_2 \cdot \bar{i}_2 \quad (15-5)$$

ويمكن إعادة كتابة هذه المعادلة كالآتي:

$$\frac{\bar{i}_1}{\bar{i}_2} = \frac{\bar{E}_2}{\bar{E}_1} \quad (16-5)$$

وبالتعويض في المعادلة رقم (١٢-٥)، نحصل على الآتى:

$$\frac{\bar{i}_1}{\bar{i}_2} = \frac{\bar{E}_2}{\bar{E}_1} = \frac{N_2}{N_1} \quad (17-5)$$

أى أن تيار الملف الثانوى يمكن حسابه كالآتى:

$$\bar{I}_2 = \bar{I}_1 \cdot \frac{N_1}{N_2} \quad (18-5)$$

ويلاحظ أن نسبة تحويل التيار هي عكس نسبة تحويل الجهد وهذا يعني أن رفع الجهد في الملف الثانوي يعني خفض التيار والعكس صحيح أن خفض الجهد يعني رفع للتيار.

مثال رقم (٥ - ٢)

إذا كانت النسبة بين عدد لفات الملف الابتدائي إلى عدد لفات الملف الثانوي هي $\frac{1}{20}$ ، احسب الجهد المترول على أطراف الملف الثانوي والتيار المار فيه إذا كان الجهد على أطراف الملف الابتدائي ٥٠ V والتيار المار فيه ١ A .

الحل

من المعادلة رقم (٥ - ١٣)، يمكن حساب الجهد على أطراف الملف الثانوي كالتالي:

$$\bar{E}_2 = \bar{E}_1 \cdot \frac{N_2}{N_1} = 50 \text{ V} \cdot (20) = 1000 \text{ V}$$

ومن المعادلة رقم (٥ - ١٨)، يمكن حساب التيار في الملف الثانوي كالتالي:

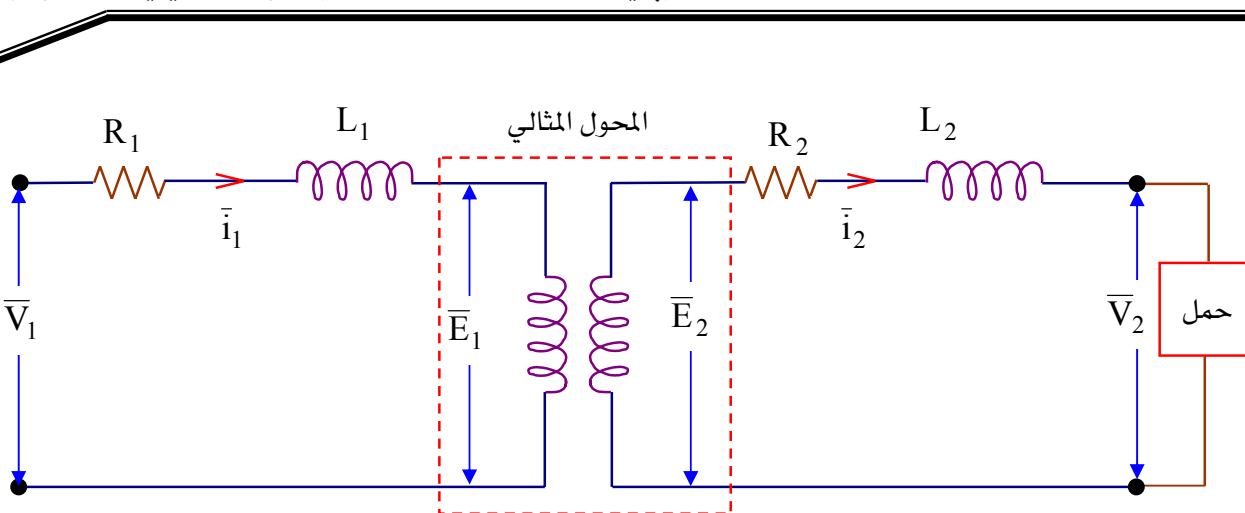
$$\bar{I}_2 = \bar{I}_1 \cdot \frac{N_1}{N_2} = 1 \text{ A} \cdot \left(\frac{1}{20} \right) = 0.05 \text{ A} = 50 \text{ mA}$$

٥ - ٣- ٧- كفاءة المحول الكهربائي Transformer Efficiency

لأن المحول الكهربائي في حقيقة الأمر جهاز حقيقي واقعي وليس جهازاً مثالياً، يمكن تصور كفاءة المحول الكهربائي كالتالي:

كفاءة المحول الكهربائي تعني ببساطة النسبة المئوية من القدرة المنقوله من الملف الابتدائي إلى الملف الثانوي، وذلك لأن المحول الكهربائي ليس مثالياً وأن ذلك يعني فقداً في القدرة المنقوله بين الملفين. وعلى ذلك يمكن تعريف كفاءة المحول // رياضياً كالتالي:

$$\eta = \frac{\bar{V}_2 \cdot \bar{I}_2}{\bar{V}_1 \cdot \bar{I}_1} \quad (19-5)$$



شكل رقم (٥ - ٤) الدائرة المكافئة للمحول

حيث الدائرة المكافئة للمحول الحقيقي مبينة في شكل رقم (٥ - ٤). ومن هذه الدائرة يمكن تصور الفقد في القدرة $Losses_T$ على أنه الفقد في القدرة $Losses_R$ في المقاومة R بالإضافة إلى الفقد في القدرة $Losses_L$ في المقاومة R . ويمكن تعريف الفقد في المقاومتين رياضياً كالتالي:

$$Losses_1 = \bar{i}_1^2 \cdot R_1 \quad (٢٠-٥)$$

$$Losses_2 = \bar{i}_2^2 \cdot R_2 \quad (٢١-٥)$$

$$Losses_T = Losses_1 + Losses_2 = \bar{i}_1^2 \cdot R_1 + \bar{i}_2^2 \cdot R_2 \quad (٢٢-٥)$$

وذلك بالإضافة إلى الفقد في القدرة نتيجة مغناطبة القلب الحديدي والفقد في القدرة نتيجة التيارات الإعصارية.

٣- ٨- استخدام المحولات في نقل القدرة الكهربائية **Transformers in Power Networks**

تستخدم المحولات في نقل القدرة الكهربائية من محطة التوليد الكهربائي إلى أماكن استخدامها دون فقد كبير في القدرة الكهربائية باستخدام محول رفع عند بداية خط نقل القدرة الكهربائية لرفع الجهد الكهربائي (القوة الدافعة الكهربائية) بمقدار كبير فتقل وبالتالي شدة التيار بمقدار كبير ويقل وبالتالي الفقد في القدرة في الأسلام مستخدمة لنقل هذه القدرة. ثم يستخدم محول خفض في نهاية الخط وتزداد وبالتالي شدة التيار لتصل إلى المستهلك، كما هو مبين بشكل رقم (٥ - ٥).

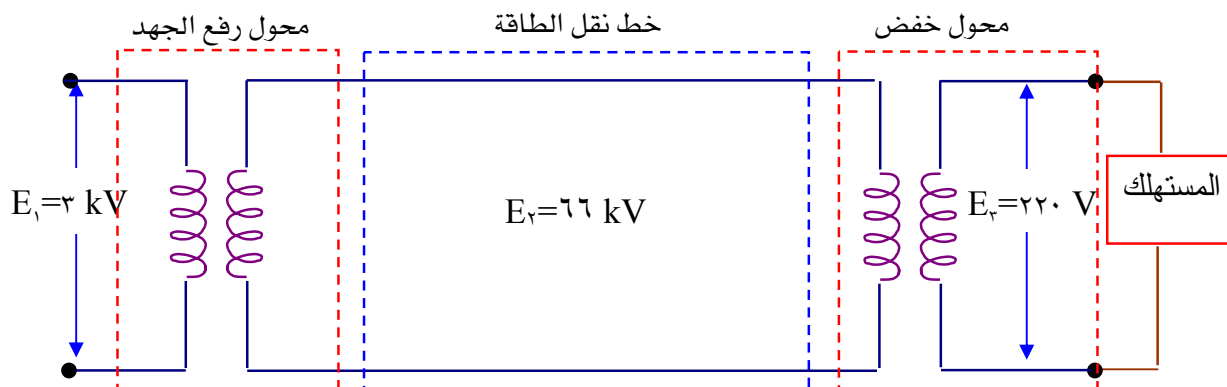


شكل رقم (٥ - ٥) نظام نقل الطاقة الكهربائية من محطة التوليد إلى المستهلك

مثال رقم (٣ - ٥)

إذا كان الجهد المولد في محطة توليد الكهرباء 3 kV ، والمطلوب إمداد المستهلك بالطاقة الكهربائية بجهد 220 V عبر خط نقل الطاقة الكهربائية بجهد 66 kV ، احسب نسبة التحويل $\frac{N_1}{N_2}$ في كل من محولي الرفع والخفض.

الحل



شكل رقم (٥ - ٦) نظام نقل الطاقة الكهربائية للمثال رقم (٣ - ٥)

الحل

لحساب نسبة التحويل $\frac{N_1}{N_2}$ لمحول الرفع، نستخدم المعادلة رقم (٥-١٢) كما يلي:

$$\frac{\bar{E}_2}{\bar{E}_1} = \frac{N_{12}}{N_{11}} = \frac{66000}{3000} = 22$$

$$\frac{N_{11}}{N_{12}} = \frac{1}{22}$$

لحساب نسبة التحويل $\frac{N_1}{N_2}$ لمحول الخفض، نستخدم نفس التعبير الرياضي كما يلي:

$$\frac{\bar{E}_3}{\bar{E}_2} = \frac{N_{22}}{N_{12}} = \frac{220 \text{ V}}{66000 \text{ V}} = \frac{1}{300}$$

تدريبات على الوحدة الخامسة

١. عرف المحث الذاتي للملف.
٢. عرف ملف المحث.
٣. عرف معامل المحث الذاتي للملف (L).
٤. عرف وحدة الهنري.
٥. اذكر العوامل التي يتوقف عليها معامل المحث الذاتي للملف.
٦. عرف معامل المحث المتبدال بين ملفين.
٧. عرف المحث المتبدال للملف.
٨. أشرح وظيفة المحول الكهربائي.
٩. اذكر بعض التطبيقات للمحول الكهربائي.
١٠. استنتج العلاقة بين القوتين الدافعتين الكهربائيتين في ملفي المحول.
١١. استنتاج العلاقة بين شدتي التياريين في ملفي المحول.
١٢. اشرح استخدام المحولات في نقل القدرة الكهربائية.
١٣. احسب معامل المحث المتبدال بين ملفين، إذا كان معدل تغير التيار في أحدهما قدره 1mA/sec قد تسبب في نشوء جهد مستحسن بين طرفي الملف الآخر قدره 0.8V .
١٤. احسب معامل المحث المتبدال بين ملفين، إذا كان معدل تغير التيار في أحدهما قدره 2mA/sec قد تسبب في نشوء جهد مستحسن بين طرفي الملف الآخر قدره 1.5V .
١٥. إذا كانت النسبة بين عدد لفات الملف الابتدائي إلى عدد لفات الملف الثانوي هي $\frac{1}{200}$ ، احسب الجهد المترولد على أطراف الملف الثانوي والتيار المار فيه إذا كان الجهد على أطراف الملف الابتدائي 100V والتيار المار فيه 1A .
١٦. إذا كانت النسبة بين عدد لفات الملف الابتدائي إلى عدد لفات الملف الثانوي هي 200 ، احسب الجهد المترولد على أطراف الملف الثانوي والتيار المار فيه إذا كان الجهد على أطراف الملف الابتدائي 100V والتيار المار فيه 1A .
١٧. إذا كانت النسبة بين عدد لفات الملف الابتدائي إلى عدد لفات الملف الثانوي هي 20 ، احسب الجهد المترولد على أطراف الملف الثانوي والتيار المار فيه إذا كان الجهد على أطراف الملف الابتدائي 100V والتيار المار فيه 1A .

١٨. إذا كان الجهد المولى في محطة توليد الكهرباء 1 kV ، والمطلوب إمداد المستهلك بالطاقة الكهربائية بجهد 110 V عبر خط نقل الطاقة الكهربائية بجهد 33 kV ، احسب نسبة التحويل

N_2/N_1 في كل من محولي الرفع والخفض.

١٩. إذا كان الجهد المولى في محطة توليد الكهرباء 3 kV ، والمطلوب إمداد المستهلك بالطاقة الكهربائية بجهد 220 V عبر خط نقل الطاقة الكهربائية بجهد 66 kV ، احسب نسبة التحويل

N_2/N_1 في كل من محولي الرفع والخفض.

المراجع (References)

- [١] Thomas L. Floyed, Electrical Engineering Fundamentals, Prentice, Inc, sixth edition, ٢٠٠٠.
- [٢] B. L. Theraja, A. K. Theraja, " Electrical Technology", published by Ninja Construction development Co. Ltd. Ram Nagar, New Delhi, ११००५, १९९०.
- [٣] M. A. PAI, "Introduction to Electric Circuits and Machines", Affiliated east west presses private limited, १९७५.

الصفحة**المحتويات****مقدمة****الوحدة الأولى : تحويل الطاقة وتوليد الطاقة الكهربائية**

١	الأهداف العامة للوحدة الأولى
٢	١- مقدمة
٢	٢- تحويل الطاقة
٢	١- ١- مصادر الطاقة الابتدائية
٢	١- ٢- المصادر الأحفورية للطاقة
٤	١- ٢- ١- الطاقة النووية
٤	١- ٢- ٢- الطاقة المتجددة
٦	١- ٣- توليد الطاقة الكهربائية
٦	١- ٣- ١- محطات توليد الكهرباء بواسطة التربينات المائية
٨	١- ٣- ٢- المحطات الحرارية لتوليد الكهرباء
١٠	١- ٣- ٣- محطات توليد الكهرباء بواسطة التربينات الغازية
١١	١- ٣- ٤- محطات توليد الكهرباء بواسطة ماكينات дизيل
١١	١- ٣- ٥- محطات توليد الكهرباء من الطاقة المتجددة
١٤	تدريبات على الوحدة الأولى

الوحدة الثانية : مبادئ وأسس توليد التيار المتردد

١٥	الأهداف العامة للوحدة الثانية
١٦	٢- مقدمة
١٦	٢- التأثير المغناطيسي للتيار الكهربائي
١٦	٢- ١- توليد وتركيز المجال المغناطيسي
١٩	٢- ٢- قانون فارادي
١٩	٢- ٣- نظرية عمل المولد الكهربائي
٢١	٢- ٣- ١- توليد الموجة الجيبية

٢٢	٢- ٣- التحليل الرياضي للموجة الجيبية
٢٤	٢- ٣- القيمة الحسابية للموجة الجيبية
٢٤	٢- ٣- ١- القيمة المتوسطة للموجة الجيبية
٢٥	٢- ٣- ٢- القيمة الفعالة للموجة الجيبية
٢٧	٢- ٣- ٤- زاوية الطور
٢٩	٢- ٣- ٥- التمثيل الاتجاهي للموجة الجيبية
٢٩	٢- ٣- ٥- ١- التمثيل الرياضي للمتجهات:
٣٢	٢- ٣- ٥- ٢- بعض المبادئ البسيطة لرياضيات المتجهات
٣٤	تدريبات على الوحدة الثانية
الوحدة الثالثة: عناصر ودوائر التيار المتردد	
٣٧	الأهداف العامة للوحدة الثالثة
٣٨	٣- ١- مقدمة
٣٨	٣- ٢- عناصر التيار المتردد
٣٨	٣- ٢- ١- عنصر المقاومة الأومية
٣٩	٣- ٢- ٢- عنصر المفاعة الحيثية للملف
٤٠	٣- ٢- ٣- عنصر المفاعة السعوية للمكثف
٤١	٣- ٢- ٣- ١- شحن المكثف
٤٢	٣- ٢- ٣- ٢- تفريغ المكثف
٤٤	٣- ٢- ٣- ٣- المكثف كعنصر فعال في دوائر التيار المتردد
٤٥	٣- دوائر التيار المتردد
٤٥	٣- ٣- ١- استخدام المعامل Z في الدائرة الكهربائية
٤٧	٣- ٣- ٢- التوصيل على التوالى
٤٧	٣- ٣- ٢- ١- توصيل الملفات على التوالى
٤٧	٣- ٣- ٢- ٢- توصيل المكثفات على التوالى
٤٩	٣- ٣- ٢- ٣- مقاومة موصله على التوالى مع مفاعة حيثية
٥١	٣- ٣- ٢- ٤- مقاومة موصله على التوالى مع مفاعة سعوية
٥٥	٣- ٣- ٢- ٥- مقاومة موصله على التوالى مع مفاعة حيثية وعلى التوالى مع مفاعة

٥٩	٣- ٣- التوصيل على التوازي	سعوية
٥٩	٣- ٣- توصيل الملفات على التوازي	٣
٦٠	٣- ٣- توصيل المكثفات على التوازي	٣
٦١	٣- ٣- مقاومة موصلية على التوازي مع مفاعة حثية	٣
٦٤	٣- ٣- مقاومة موصلية على التوازي مع مفاعة سعوية	٣
٦٧	٣- ٣- مقاومة موصلية على التوازي مع مفاعة حثية وعلى التوازي مع مفاعة سعوية	٣
٤- القدرة في التيار المتردد		٣
٧١	٤- ١- مثل القدرة	٣
٧٢	٤- ٢- معامل القدرة	٣
٧٣	٤- ٣- تحسين معامل القدرة	٣
٧٦	تدريبات على الوحدة الثالثة	
الوحدة الرابعة: النظريات الأساسية لدوائر التيار المتردد		
٧٩	الأهداف العامة للوحدة الرابعة	
٨٠	٤- ١- مقدمة	
٨٠	٤- ٢- النظريات الأساسية لدوائر التيار المتردد	
٨٠	٤- ٢- ١- قانون أوم	٤
٨٣	٤- ٢- ٢- قانون كيرشوف	٤
٨٣	٤- ٢- ٢- ١- قانون كيرشوف للتيار	٤
٨٧	٤- ٢- ٢- ١- توصيل المعاوقات على التوازي	٤
٨٩	٤- ٢- ٢- ١- قانون تجزؤ التيار	٤
٩١	٤- ٢- ٢- ٢- قانون كيرشوف للجهود	٤
٩٤	٤- ٢- ٢- ١- توصيل المعاوقات على التوازي	٤
٩٥	٤- ٢- ٢- ٢- قانون تجزؤ الجهد	٤
٩٩	٤- ٢- ٣- الدوائر المركبة	٤
٩٩	٤- ٢- ٣- ١- طريقة الاختزال	٤

١٠٥	٤- ٣- تحويلات الدلتا -نجمة و النجمة - دلتا
١١٤	٤- ٢- ٣- نظرية ثفنن
١٢٠	٤- ٢- ٣- طريقة الحلقة المغلقة (طريقة ماكسويل)
١٣٠	٤- ٢- ٣- ٥- نظرية التركيب
١٣٥	٤- تدريبات على الوحدة الرابعة
الوحدة الخامسة: دوائر الارتباط المغناطيسية والحق المتبادل	
١٤٠	٤- الأهداف العامة للوحدة الخامسة
١٤١	٥- ١- مقدمة
١٤١	٥- ١٢- الحق المغناطيسي
١٤١	٥- ٢- الحق الذاتي للملف
١٤١	٥- ٢- ١- العوامل التي يتوقف عليها معامل الحق الذاتي للملف
١٤٢	٥- ٢- ٢- حساب الحق الذاتي للملف
١٤٣	٥- ٢- ٣- أثر الحق الذاتي على العلاقة بين القوة الدافعة الكهربائية والتيار
١٤٣	٥- ٢- ٤- الحق المتبادل
١٤٤	٥- ٢- ٥- معامل الحق المتبادل بين ملفين
١٤٦	٥- ٦- المحول الكهربائي
١٤٦	٥- ٣- وظيفة المحول الكهربائي
١٤٦	٥- ٤- تطبيقات المحول الكهربائي
١٤٦	٥- ٥- تركيب المحول
١٤٧	٥- ٦- نظرية عمل المحول
١٤٧	٥- ٧- العلاقة بين القوتين الدافعتين الكهربائيتين في ملفي المحول
١٤٨	٥- ٨- العلاقة بين شدتي التيارين في ملفي المحول
١٤٩	٥- ٩- كفاءة المحول الكهربائي
١٥٠	٥- ١٠- استخدام المحولات في نقل القدرة الكهربائية
١٥٣	٥- تدريبات على الوحدة الخامسة

تقدر المؤسسة العامة للتعليم الفني والتدريب المهني الدعم

المالي المقدم من شركة بي آيه إيه سيستمز (العمليات) المحدودة

GOTEVOT appreciates the financial support provided by BAE SYSTEMS

